UNIVERSIDAD NACIONAL DE HUANCAVELICA

(Creada por Ley N° 25265)



FACULTAD DE CIENCIAS AGRARIAS

ESCUELA PROFESIONAL DE INGENIERIA AGROINDUSTRIAL

TESIS

"ESTUDIO DEL CONTENIDO DE ANTOCIANINAS Y CAPACIDAD ANTIOXIDANTE DEL FRUTO DE MACHA MACHA (Vaccinium floribundum Kunth) DURANTE LA MADURACION"

LÍNEA DE INVESTIGACIÓN:

CIENCIA Y TECNOLOGIA DE PROYECTOS AGROINDUSTRIALES

PARA OPTAR EL TITULO PROFESIONAL DE:

INGENIERO AGROINDUSTRIAL

PRESENTADO POR

LLIMPE PEREZ, PETER

HUANCAVELICA, 2017

UNIVERSIDAD NACIONAL DE HUANCAVELICA

(Creada por Ley N° 25265)



FACULTAD DE CIENCIAS AGRARIAS

ESCUELA PROFESIONAL DE INGENIERIA AGROINDUSTRIAL

TESIS

"ESTUDIO DEL CONTENIDO DE ANTOCIANINAS Y CAPACIDAD ANTIOXIDANTE DEL FRUTO DE MACHA MACHA (Vaccinium floribundum Kunth) DURANTE LA MADURACION"

LÍNEA DE INVESTIGACIÓN:

CIENCIA Y TECNOLOGIA DE PROYECTOS AGROINDUSTRIALES

PARA OPTAR EL TITULO PROFESIONAL DE:

INGENIERO AGROINDUSTRIAL

PRESENTADO POR

LLIMPE PEREZ, PETER

HUANCAVELICA, 2017

UNIVERSIDAD NACIONAL HUANCAVELICA FACULTAD DE CIENCIAS AGRARIAS ESCUELA PROFESIONAL DE INGENIERIA AGROINDUSTRIAL

ACTA DE SUSTENTACION O APROBACION DE UNA DE LAS MODALIDADES DE TITULACION

En la Ciudad Universitaria "Común Era"; auditorio de la Facultad de Ciencias Agrarias, a los .1.6 días del mes de Magae... del año 2017, a horas .3:30.6% se reunieron; el Jurado Calificador, conformado de la siguiente manera:

Presidente: M. Sc. Roberto Carlos CHUQUILIN GOICOCHEA

Secretario: Ing. Jimmy Pablo ECHEVARRIA VICTORIO

Vocal: Ing. Perfecto CHAGUA RODRIGUEZ

Designados con resolución N° 052-2017; del: proyecto de investigación. Titulado:

"ESTUDIO DEL CONTENIDO DE ANTOCIANINAS Y CAPACIDAD ANTIOXIDANTE DEL FRUTO DE

MACHA MACHA (Vaccinium floribundum Kunth) DURANTE LA MADURACION"

Cuyo autor es el graduado:

BACHILLER: Peter Llimpe Pérez.

Asesorado por. Mtro. Alfonso RUIZ RODRIGUEZ

Co-Asesor Ing. Franklin ORE ARECHE.

A fin de proceder con la evaluación y calificación de la sustentación del: proyecto de investigación.

Finalizado la evaluación; se invitó al público presente y al sustentante abandonar el recinto; y, luego de una amplia deliberación por parte del jurado, se llegó al siguiente el resultado:

APROBADO

Y

POR MAYORIA

DESAPROBADO ___

DEGAI NOBADO ___

En conformidad a lo actuado firmamos al pie.

M. Sc. Roberto Carlos CHUQUILIN GOICOCHEA

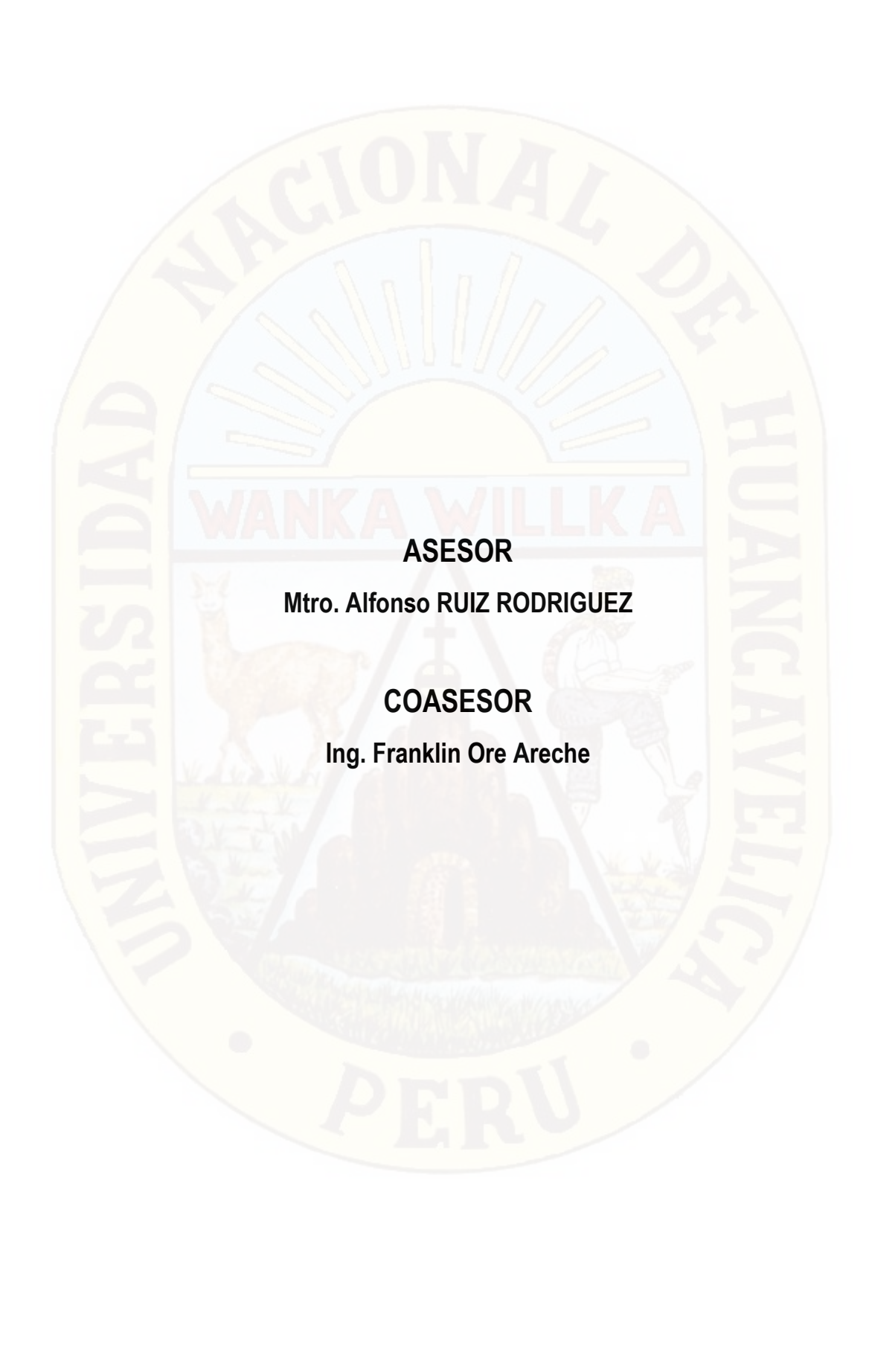
PRESIDENTE

Ing. Jimmy Pablo ECHEVARRIA VICTORIO

SECRETARIO

Ing. Perfecto CHAGUA RODRIGUEZ

VOCAL



DEDICATORIA

Lo dedicó este presente trabajo de investigación (TESIS), a mi familia y a mis amigos que gracias a sus apoyos he podido realizar la planificación y ejecución del presente informe...

AGRADECIMIENTOS

- A Dios y a mis padres por el apoyo que me brindaron en mi formación profesional.
- Mi eterna gratitud a mi Alma Mater, la Universidad Nacional de Huancavelica, en cuyas aulas guardo mis más secretos recuerdos y fue testigo de mí. Formación profesional
- A los docentes de la Escuela Académico Profesional de Agroindustrias de la Facultad de Ciencias Agrarias, por sus enseñanzas y consejos que forjaron en mí, que fueron pilares fuertes en mí desarrollo profesionales.



RESUMEN

El presente trabajo de investigación tuvo como objetivo evaluar el contenido de antocianinas y la capacidad antioxidante del fruto de Macha macha (*Vaccinium floribundum Kunth*) en tres estados de maduración, una especie silvestre del Perú, cuyas potencialidades hasta ahora se desconocían. Se analizó el contenido de antocianinas totales por el método pH diferencial, y se halló: 0.519, 4.242 y 10.532 mg de Cianidina/g de muestra en estado verde, pintón y maduro, respectivamente. En estado maduro se presentó mayor contenido.

La actividad antioxidante fue evaluada por el método radical DPPH, y se obtuvo valores de 569.3637, 550.1427 y 323.9630 Umol TE/g muestra en estado verde, pintón y maduro, respectivamente. El verde presentó una mayor capacidad antioxidante.

El análisis de características fisicoquímicas del fruto de macha macha en estado maduro presento: pH 4.67, humedad 84.760%, acidez (expresado como ácido cítrico) 0,028, grasa 0.536%, proteína 0.897%, cenizas 0.478%, carbohidratos totales 13.329%.

Estos resultados revelan al fruto de macha macha como promisorio, para su aprovechamiento agroindustrial como fuente importante de antocianinas y antioxidantes.

Palabras claves: Macha macha, antocianinas, antioxidantes.

ABSTRACT

The objective of this research was to evaluate the anthocyanin content and the antioxidant capacity of Macha macha fruit (Vaccinium floribundum Kunth) in three stages of maturation, a wild species from Peru, whose potentialities were unknown until now. The content of total anthocyanins was analyzed by the differential pH method, and it was found: 0.519, 4.242 and 10.532 mg of Cyanidin / g of sample in green, pinton and mature state, respectively. In mature state there was more content.

The antioxidant activity was evaluated by the DPPH radical method, and values of 569.3637, 550.1427 and 323.9630 Umol TE / g were obtained in the green, pinton and mature state, respectively. The green presented a greater antioxidant capacity.

The analysis of physicochemical characteristics of the macha fruit in mature state presented: pH 4.67, humidity 84.760%, acidity (expressed as citric acid) 0.028, fat 0.536%, protein 0.897%, ash 0.478%, total carbohydrates 13.329%.

These results reveal the fruit of macha macha as promising, for its agroindustrial use as an important source of anthocyanins.

Key words: Macha macha, anthocyanins, antioxidants.

INDICE

DEDICATORIA	i
AGRADECIMIENTO	
CAPITULO I: PROBLEMA	1
1.1. PLANTEAMIENTO DEL PROBLEMA	
1.2. FORMULACIÓN DEL PROBLEMA.	2
1.3. OBJETIVO: GENERAL Y ESPECÍFICOS	
1.3.1. Objetivo general	
1.3.2. Objetivo específico.	
1.4. JUSTIFICACIÓN	3
1.4.1. Científico	3
1.4.2. Social	3
1.4.3. Económico	3
CAPITULO II: MARCO TEÓRICO	
2.1. ANTECEDENTES	
2.2. BASES TEÓRICAS.	
2.2.1. Macha macha (Vaccinium floribundum Kunth)	7
2.2.1.1. Origen y distribución	7
2.2.1.2. Taxonomía y morfología de la Macha macha	
2.2.1.3. Descripción botánica	
2.2.1.4. Requerimientos para su producción	
2.2.1.5. Morfología del fruto	<mark></mark> .
2.2.2. Antioxidante	
2.2.2.1. Mecanismos de acción antioxidante	
2.2.3. Generalidades de la Antocianina	10
2.2.3.1. Estructura química y color de las antocianinas	12
2.2.3.2. Distribución	14
2.2.3.3. Biosíntesis	
2.3. HIPÓTESIS	16
2.4. VARIABLES DE ESTUDIO.	16
2.4.1. Variables independientes:	16

	2.4.2. Variables dependientes:	
	ITULO III: METODOLOGÍA DE LA INVESTIGACIÓN	
3.1.	ÁMBITO DE ESTUDIO	. 17
	3.1.1. Ubicación Política	
	3.1.2. Ubicación Geográfica	
	3.1.3. Factores Climáticos	
3.2.	TIPO DE INVESTIGACIÓN	. 17
	NIVEL DE INVESTIGACIÓN	
	MÉTODO DE INVESTIGACIÓN.	
	DISEÑO DE INVESTIGACIÓN	
3.6.	POBLACIÓN, MUESTRA, MUESTREO.	. 19
	3.6.1. Población.	. 19
	3.6.2. Muestra.	
	3.6.3. Muestreo.	
3.7.	TÉCNICAS E INSTRUMENTOS DE RECOLECCIÓN DE DATOS	. 19
3.8.	PROCEDIMIENTO DE RECOLECCIÓN DE DATOS	20
3.9.	TÉCNICAS DE PROCESAMIENTO Y ANÁLISIS DE DATOS	20
	3.9.1. Estudios a realizar	20
	ITULO IV: RESULTADOS	
4.1.	PRESENTACIÓN DE RESULTADO	22
	4.1.1. Análisis fisicoquímico del fruto de macha macha en estado maduro	. 22
	4.1.2. Determinación de antocianinas del fruto de macha macha por el méto	odo
	pH diferencial.	23
	4.1.3. Determinación de capacidad antioxidante por el método DPPH del fr	uto
	de macha macha	24
4.2.	DISCUSIONES	24
	4.2.1. Cuantificación de características fisicoquímicas en el fruto de mac	cha
	macha.	24
	4.2.2. Comparación del contenido de antocianinas totales del fruto de mad	cha
	macha con otras frutas del genero vaccinium	25

	comparación de la capacidad antioxidante	
f	rutos de otras especies	26
	ONES	
	DACIONES	
REFERENC	IAS BIBLIOGRÁFICAS	30
ARTICULO	CIENTIFICO	42
ANEXOS		50

INDICE DE TABLAS

Tabla 1. Sustituyentes de las antocianinas
Tabla 2. Técnicas e instrumentos de recolección de datos. 19
Tabla 3. Procedimiento de recolección de datos
Tabla 4. Características fisicoquímicos del fruto de macha macha en estado maduro 22
Tabla 5. Identificación de la muestra
Tabla 6. Determinación de antocianinas del fruto de macha macha por el método ph
diferencial
Tabla 7. Determinación de capacidad antioxidante del fruto de macha macha por e método DPPH
Tabla 8. Comparación de características fisicoquímicas de macha macha con otras frutas 24
Tabla 9. Comparación de características fisicoquímicas de macha macha con otras frutas 25
Tabla 10. Comparación del contenido de antocianinas del fruto de macha macha con otras
frutas del genero vaccinium. 26
Tabla 11. Comparación de la capacidad antioxidante del fruto de macha macha con frutos
de otras especies.
Tabla 12. Mezcla de reacción para la Curva de Calibración TROLOX
Tabla 13. Mezcla de reacción para las muestras
Tabla 14. Concentración del Trolox y sus respectivas Absorbancias 59
Tabla 15. Resultados de las Absorbancias de las muestras 60
Tabla 16. Resultados de Humedad de las muestras (Secado a 40°C, 2 semanas) 60
Tabla 17. Resultados de las curvas espectofotometricas de las muestras M1, M2 y M3 er
el rango de 400 a 700 nm

INDICE DE FIGURAS

Figura 1. Reacciones químicas de las antocianinas en diferente pH
Figura 2. Estructura general de la antocianina, núcleo flaván
Figura 3. Estructura de antocianina, catión flavilio
Figura 4. Estructura de las antocianinas.
Figura 5. Estructura de las diferentes antocianidinas
Figura 6. Ruta general de biosíntesis de las antocianinas
Figura 7. Pasos de diseño de investigación realizada
Figura 8. Diagrama de procesos para la preparación de muestra
Figura 9. Diagrama de procesos para la cuantificación de antocianinas
Figura 10. Diagramas de procesos para la preparación de la curva de calibración de
TROLOX57
Figura 11. Diagramas de procesos para la preparación de la curva de calibración de
TROLOX58
Figura 12. Curva de Calibración de Trolox-DPPH
Figura 13. Barrido espectral Muestra M1-Repetición 1 (M1.1) (Curva superior: pH 1, Curva
inferior: pH 4.5)76
Figura 14. Barrido espectral Muestra M1-Repetición 2 (M1.2) (Curva superior: pH 1, Curva
inferior: pH 4.5)
Figura 15. Barrido espectral Muestra M1-Repetición 3 (M1.3)(Curva superior: pH 1, Curva
inferior: pH 4.5)
Figura 16. Barrido espectral Muestra M2-Repetición 1 (M2.1) (Curva superior: pH 1, Curva
inferior: pH 4.5)
Figura 17. Barrido espectral Muestra M2-Repetición 2 (M2.2) (Curva superior: pH 1, Curva
inferior: pH 4.5)
Figura 18. Barrido espectral Muestra M2-Repetición 3 (M2.3) (Curva superior: pH 1, Curva
inferior: pH 4.5)
Figura 19. Barrido espectral Muestra M3-Repetición 1 (M3.1) (Curva superior: pH 1, Curva
inferior: pH 4.5)

Figura 20. Barrido espectral Muestra M3-Repetición 2 (M3.2) (Curva superior: pH 1, Curva inferior: pH 4.5)
Figura 21. Barrido espectral Muestra M3-Repetición 3 (M3.3) (Curva superior: pH 1, Curva
inferior: pH 4.5)80
Figura 22. Barrido espectral comparativo de las muestrasM1, M2 y M3 a pH 1 (Curva
superior: M3, Curva intermedia: M2, Curva inferior: M1)
Figura 23. Barrido espectral comparativo de las muestras M1, M2 y M3 a pH 4.5 (Curva
superior: M3, Curva intermedia: M2, Curva inferior: M1)

INDICE DE ANEXOS

ANEXO 1. INFORME TECNICO N° 1020 - 16 – LAB.12
ANEXO 2. INFORME TECNICO N° 1020 – A - 16 – LAB.12
ANEXO 3. Procedimiento de determinacion del contenido de antocianinas en el fruto de
macha macha54
ANEXO 4. Cuantificacion de antocianinas por pH diferencial
ANEXO 5. Capacidad antioxidante por DPPH
ANEXO 6. Tabla deresultados de las curvas espectofotometricas de las Muestras M1, M2
y M3 en el rango de 400 a 700nm
ANEXO 7. Espectros UV-Visible de 400 a 700nm
ANEXO 8. Determinacion de humedad
ANEXO 9. Determinacion de proteina
ANEXO 10. Determinacion de cenizas85
ANEXO 11. Determinacion de fibra total
ANEXO 12. Registro fotografico
INDICE DE FOTOGRAFIAS
Fotografía 1. Fruto de planta "Macha macha"
Fotografía 2. Muestra fresca pulverizada con el molino criogénico
Fotografía 3. Secado de muestras en horno eléctrico para cálculo de la humedad
(Secado a 40°C, 2 semanas)
Fotografía 4. Obtención del extracto metanólico con ultrasonido
Fotografía 5. Concentración del extracto metanólico con rotavapor
Fotografía 6. Extractos metanólicos de las muestras
Fotografía 7. Equipo uv-visible para la determinación de antocianinas por el método de
pH diferencial y capacidad antioxidante por el método DPPH90

CAPITULO I: PROBLEMA

1.1. PLANTEAMIENTO DEL PROBLEMA

En todo el mundo se observa un aumento destacado en el consumo de frutas tropicales pero también existen frutas silvestres que todavía no son valorados por desconocimiento de sus propiedades. Estos frutos, en adición a los nutrientes esenciales y a una serie de micronutrientes tales como minerales, fibras y vitaminas, aportan diversos componentes metabolitos secundarios de naturaleza fenólica, denominados polifenoles. El consumo de frutas y verduras está asociado al bajo riesgo de incidencias y mortalidad de cáncer, y a menores índices de mortalidad por enfermedad coronaria, según se desprende de diversos estudios epidemiológicos. Los fenoles, especialmente los flavonoides y los antocianos, muestran una gran capacidad para captar radicales libres causantes del estrés oxidativo. atribuyéndoseles a su vez un efecto beneficioso en la prevención de enfermedades tales como: cardiovasculares, circulatorias, cancerígenas y neurológicas. Poseen actividades anti-inflamatoria. antialérgica, antitrombótica. antimicrobiana antineoplásica.

En el departamento de Huancavelica se encuentran recursos andinos no tradicionales subutilizados que por falta de su promoción y/o revaloración de estos recursos no son aprovechados por los mismos pobladores y más aún en el sector agroindustrial.

La Macha macha es un fruto silvestre que se encuentra en la provincia de Acobamba pero no es aprovechado por falta de conocimientos de sus cualidades de la planta solo lo aprovechan en consumo directo como fruta silvestre en fresco.

En la provincia de Acobamba este fruto abunda y es una planta nativa o endémica de esta zona por lo tanto se pretende valorar, incentivando a la población de Acobamba de dar un mejor cuidado y uso adecuado.

1.2. FORMULACIÓN DEL PROBLEMA.

El presente trabajo pretende encontrar respuesta a la siguiente interrogante:

¿Cuál será el contenido de antocianinas y la capacidad antioxidante del fruto de Macha macha (*Vaccinium floribundum Kunth*) en sus diferentes estados de maduración?

1.3. OBJETIVO: GENERAL Y ESPECÍFICOS.

1.3.1. Objetivo general.

Evaluar el contenido de antocianinas y la capacidad antioxidante del fruto de Macha macha (*Vaccinium floribundum Kunth*) en tres estados de maduración.

1.3.2. Objetivo específico.

- ✓ Determinar el contenido de antocianinas y la capacidad antioxidante del fruto de Macha macha (*Vaccinium floribundum Kunth*) en estado verde.
- ✓ Determinar el contenido de antocianinas y la capacidad antioxidante del fruto de Macha macha (*Vaccinium floribundum Kunth*) en estado pintón.
- ✓ Determinar el contenido de antocianinas y la capacidad antioxidante del fruto de Macha macha (*Vaccinium floribundum Kunth*) en estado maduro.

1.4. JUSTIFICACIÓN

La Macha macha actualmente no se aprovecha, y esta se puede usar como materia prima para la elaboración de diversos productos agroindustriales dando un valor agregado.

1.4.1. Científico

El presente trabajo de investigación nace como una idea de innovación, por el aporte que nos brinda nuestra bondadosa naturaleza, entonces existe la necesidad de determinar la capacidad antioxidante del fruto de macha macha, ya que presenta una gran cantidad de poli fenoles, especialmente los flavonoides y los antocianos, que captan radicales libres, atribuyéndoseles a su vez un efecto beneficioso en la prevención de muchas enfermedades. También posee la habilidad de retardar la degradación oxidativa de lípidos y por lo tanto conservar la calidad y el valor nutricional del alimento, la actividad de antocianinas posee la habilidad de retardar la degradación oxidativa de lípidos y por lo tanto conservar la calidad y el valor nutricional del alimento.

1.4.2. Social

Planteará una alternativa de solución al problema de las necesidades de oportunidad de transformación de los cultivos andinos, en los miembros de la comunidad, será una alternativa comercial que permitirá obtener mayores ganancias para la contribución en la mejora de las condiciones de vida. No afecta al medio ambiente en forma significativa; sin embargo, cualquier acción dirigida a incrementar el daño medio ambiental debe ser tomada en cuenta y tomar las acciones correctivas necesarias para mantener un desarrollo sostenible para futuras generaciones.

1.4.3. Económico

El presente proyecto busca mejorar la situación económica de la población, mediante la industrialización de la macha macha (*Vaccinium floribundum Kunth*)" de esta manera utilizar el colorante de la macha macha como un aditivo alimentario y así representar un potencial económico con fines Agroindustriales.

CAPITULO II: MARCO TEÓRICO

2.1. ANTECEDENTES

En la tesis "Estudio de la capacidad antioxidante del arazá (Eugenia stipitata Mc Vaugh) durante la maduración" se realizó, a partir del epicarpio y mesocarpio de la fruta en cuatro estados de madurez (verde, pintón, maduro y sobremaduro), la extracción de compuestos fenólicos (utilizando como solvente una mezcla de agua: acetona, (inicial 50:50 y posterior de 70:30) y su análisis (método colorimétrico de Folin-Ciocalteu), y se identificaron parcialmente por HPLC en fase reversa, con arreglo de diodos, encontrando los ácidos clorogénico, gálico y caféico como fenoles mayoritarios responsables de la actividad antioxidante. El contenido de polifenoles en el mesocarpio es mayor en el estado verde (1200 mg/1000 g fruto BH) seguido del maduro (1100 mg/1000 g fruto BH), pintón(905 mg/1000 g fruto BH) y sobremaduro (550 mg/1000 g fruto BH), mientras que en el epicarpio es mayor en estado maduro (170 mg/1000 g fruto BH) y verde (295 mg/1000 g fruto BH), seguido del pintón (100 mg/1000 g fruto BH) y sobremaduro (50 mg/1000 g fruto BH). La capacidad antioxidante fue determinada por métodos hidrofílicos (ABTS, DPPH y FRAP) encontrando que en el mesocarpio la capacidad antioxidante medida por todos los métodos es mayor en estado verde seguido del maduro, pintón y sobremaduro mientras en el epicarpio es mayor en maduro y verde seguido del pintón y sobremaduro. Se determinó la capacidad antioxidante por un método lipofílico (decoloración del β-caroteno) encontrando que en el mesocarpio es mayor en estado maduro (110 mg/1000 g fruto BH) y pintón (90 mg/1000 g fruto BH), seguido del sobremaduro (75 mg/1000 g fruto BH) y verde (26 mg/1000 g fruto BH) y en el epicarpio es mayor en sobremaduro (50 mg/1000 g fruto BH) seguido del verde (45 mg/1000 g fruto BH), maduro (55 mg/1000 g fruto BH) y pintón (25 mg/1000 g fruto BH). Finalmente se concluye que el fruto de arazá en los estados verde y maduro presenta la mayor capacidad antioxidante, siendo los ácidos fenólicos los principales contribuyentes¹³.

En el trabajo "Caracterización de las antocianinas de los frutos de Lechler (Berberis boliviana)", concluyeron que, el pigmento de los frutos de Lechler presenta un contenido en antocianinas monoméricas de 7 g/100 g de frutos secos separados de las semillas, estando casi puras pues las cantidades de otros componentes fenólicos son mínimas. Las antocianinas identificadas por HPLC-MS/MS (espectro de masas tandem) y por comparación con el cromatograma del extracto concentrado de antocianinas de son: delfinidina-3-glucósido en un 23.43%, delfinidina-3-rutinósido en un 2.65%, cianidina-3-glucósido en un 10.16%, cianidina-3rutinósido en un 3.75%, petunidina-3-glucósido en un 24.21%, petunidina-3-rutinósido en un 7.15%, peonidina-3-glucósido en un 1.12%, peonidina-3-rutinósido en un 0.94%, malvidina-3-glucósido en un 21.64% y malvidina-3-rutinósido en un 4.95% 14. En la tesis "Actividad antioxidante de antocianinas presentes en cáscara de pitahaya (hylocereus undatus)" propuso cuantificar y determinar la capacidad antioxidante de las antocianinas presentes en la cáscara de pitahaya. La cuantificación de las antocianinas se realizó en polvo de cáscara siguiendo la metodología del pH diferencial, en tanto que la actividad antioxidante de se determinó mediante el método del DPPH (2,2---difenil---1---picril hidrailo) y el ABTS (ácido 2.2', azino---bis (3---etilbenzotiazolin)---6--- sulfónico). Los resultados indican que el contenido de antocianinas en la cáscara de pitahaya presentó un valor medio de 323.9087 mg cianidina 3---glucósido/100 g de peso fresco de muestra, En cuanto a la capacidad antioxidante, las muestras analizadas mediante el método del DPPH presentaron un mayor porcentaje de inhibición o reducción del radical (31.5157%) en comparación con el método del ABTS cuyo porcentaje de inhibición fue menor (12.17%). Los resultados obtenidos en el presente trabajo muestran que la cáscara de pitahaya (Hylocereus undatus) pueden ser una fuente natural de antioxidantes con potencial aplicación en alimentos o la industria farmacéutica, dada la actividad encontrada en los extractos de antocianinas bajo los dos métodos (DPPH, ABTS) evaluados¹⁵.

En la tesis "Determinación de antocianinas, fenoles totales y Actividad Antioxidante en licores y fruto de mora" se evaluó en diferentes marcas de licores el contenido de antocianinas monoméricas y % color polimérico, fenoles totales y

actividad antioxidante, así como sus propiedades fisicoquímicas. El intervalo de contenido de antocianinas monoméricas en los licores fluctúa de 3.56±0.09 a 76.95±1.20 mg de cianidina 3-glucócido/L; el contenido de fenoles totales se encuentra en un intervalo de 477.12±0.04 a 884.98±0.04 a 884.98±0.03 mg EAG/100 mL y la actividad antioxidante de 110.51±0.88 a 304.47±2.65 mM equivalente de Trolox/mL de licor. Encontrándose mediante un análisis de MANOVA que con excepción de 2 muestras, si existen diferencias estadísticamente significativas (p<0.05) entre los licores evaluados, lo cual puede atribuirse a sus diferentes condiciones de procesamiento y almacenamiento. Mediante una correlación canónica se obtuvo que a menor pH y mayor porcentaje de azucares reductores, existe un mayor contenido de antocianinas monoméricas, es decir bajo estas condiciones se favorece la presencia de estos compuestos bioactivos que ayudan a la prevención de enfermedades crónico-degenerativas¹6.

En la tesis "Análisis químico de antocianinas en frutos silvestres colombianos" se realizó el análisis cualitativo y cuantitativo de los pigmentos antocianicos en cuatro frutas tropicales colombianas: uva de árbol (Myrciaria aff cauliflora (Mart.)D.Bery), coral (Hyeronima macrocarpa Mull. Arg), mora pequeña (Rubus megalococcus Focke) y motilón (*Hyeronima macrocarpa Mull. Arg*). Se obtuvieron los extractos enriquecidos en antocianinas (AREs) por adsorción selectiva sobre Amberlita XAD-7 del extracto metanólico de las frutas. Estos extractos se analizaron por cromatografía líquida acoplada a un detector de arreglo de diodos (LC-DAD) y cromatografía líquida acoplada a espectrometría de masas con interfase electrospray (LC/MS-ESI). Estos análisis junto con la coinyección con patrones permitieron elucidar la estructura de la mayoría de los compuestos. La cuantificación se realizó mediante el método de estándar externo. Los análisis realizados en el coral y el motilón, confirmaron la presencia de la antocianina delfinidina-3-rutinósido como compuesto mayoritario, seguido por delfinidina-3-glucósido, cianidina-3-rutinósido y petunidina-3-rutinósido. En estas dos frutas se identificaron las mismas antocianinas, siendo mucho mayor la concentración en el motilón que en el coral. En la mora pequeña se confirmó la presencia de cianidina-3-glucósido como compuesto mayoritario junto con cianidina3-rutinósido; y en la uva de árbol se identificó la antocianina cianidina-3-glucósido como compuesto mayoritario junto con la antocianina delfinidina-3-glucósido.

Posteriormente se evaluó la actividad antioxidante de los extractos de las cuatro frutas frente a los radicales libres ABTS y DPPH mediante espectroscopía UV-Vis y EPR (Resonancia electrónica paramagnética). Con los resultados de espectroscopía UV-Vis se determinó que el extracto más activo fue el de motilón, seguido por el de uva, coral y mora. El uso de la técnica de EPR permitió seguir el curso de la reacción de atrapamiento de los dos radicales libres por las sustancias antioxidantes presentes en los AREs, observando una disminución en la concentración de radicales libres con el tiempo y una cinética de segundo orden. Al aplicar dicho modelo cinético, se confirmó que el extracto más activo frente a los dos radicales libres era el de motilón, y que frente al ABTS se encontraban diferencias de actividad más significativas que con el DPPH. La técnica de EPR es más exacta porque permite la evaluación directa de la cantidad de radicales libres en solución.

Finalmente, se evaluó la estabilidad de los diferentes extractos frente a variaciones de pH y durante un periodo de almacenamiento de un mes. Se confirmó que el pH es un factor que afecta significativamente el color de los AREs y con base en las medidas de colorimetría triestimulo a diferentes pHs (1.5, 3.5, 5.5 y 7.5) se concluyó que el extracto más estable era el de uva de árbol porque se encontraron menores variaciones en el croma con respecto a las otras frutas.

Con estos resultados se comprobó que las frutas estudiadas son una fuente promisoria de pigmentos naturales, siendo más interesantes el motilón y la uva de árbol debido a su contenido de antocianinas, actividad antioxidante y estabilidad del color de los extractos.¹⁷.

2.2. BASES TEÓRICAS.

2.2.1. Macha macha (Vaccinium floribundum Kunth)

2.2.1.1. Origen y distribución

El género *Vaccinium spp* es un frutal perteneciente a la familia de las Ericáceas, las cuales constituyen un grupo de especies ampliamente distribuidas por el Hemisferio Norte, básicamente por Norteamérica, América Central, parte de América del Sur, Europa Central y Eurasia;

unas pocas especies existen también en África y Madagascar. En América del Sur está distribuido especialmente por los países que recorre la Cordillera de los Andes ¹⁸.

La macha macha (*Vaccinium floribundum Kunth*) es endémico del norte de Sudamérica, entre Perú, Ecuador y Colombia. En estos países al mortiño se lo puede encontrar en los páramos altos de la cordillera de los andes ¹⁹.

2.2.1.2. Taxonomía y morfología de la Macha macha

Clasificación taxonómica de la Macha macha 20

Nombre científico : (Vaccinium floribundum Kunth).

Nombre popular : Macha macha

División : Magnoliophyta

Clase : Magnoliopsida

Orden : Ericales
Familia : Ericaceae

Género : Vaccinium

Especie : Vaccinium floribundum Kunth

2.2.1.3. Descripción botánica

La planta de macha macha es un arbusto enano, de 1.5 m de alto, ramificado con hojas alternas de 2 cm de largo, con el margen aserrado o crenado, cuya nervación es pinnada. La inflorescencia se presenta en racimos de 6 a 10 flores. Las flores miden 8 mm de largo, la corola es cilíndrica con 4 o 5 dientes, de color blanco o rosado rojizo, el ovario es ínfero, el estilo es ligeramente más largo que el tubo de la corola. Los frutos son bayas redondeadas, miden hasta 8 mm de diámetro, carnosos, de color negro-azul, morado a veces con una cubierta cerosa ²¹.

2.2.1.4. Requerimientos para su producción

La planta de la Macha macha necesita de clima frío-templado, con temperatura de 7-14°C, suelo arenoso, humífero, suelto, rico en materia orgánica, con características húmedas (60-80%) y ácidas (pH

4-5) para crecer, que tengan un buen drenaje, debido a que posee un sistema radicular superficial (no soporta encharcamientos) y una pluviosidad de 800 a 2000 mm ²².

2.2.1.5. Morfología del fruto

Los frutos de macha macha son de forma redonda (figura 2), poseen un color rojizo que representa su madurez fisiológica y un color negro azulado cuando alcanza su madurez hortícola, con un diámetro aproximado de 6.5 a 7 mm y generalmente pesa de 0.4 a 0.6 gramos. Presenta antocianinas localizadas en la cáscara y su pulpa es jugosa con un excelente sabor que permite consumirlo en fresco, sin necesidad de lavarlo o retirar sus semillas de color pardo, ya que estas son imperceptibles²³.

2.2.2. Antioxidante

El término antioxidante fue utilizado originalmente para referirse a un producto químico, que previniera el consumo de oxígeno ²⁴.

Los antioxidantes son moléculas que previenen o retardan la oxidación de otras moléculas mediante su capacidad de captar radicales libres oxidantes, aunque la denominación correcta de éstas es inhibidores de la oxidación ²⁵.

Los inhibidores de la oxidación comprenden un diverso grupo de sustancias con estructuras y mecanismos de acción variados, como son: la captación e inactivación de radicales libres (antioxidantes propiamente dichos), prevención de la descomposición de hidroperóxidos en radicales libres, reducción de hidroperóxidos por vías libres de radicales y la unión de metales pesados a compuestos inactivos ²⁶.

2.2.2.1. Mecanismos de acción antioxidante

Las reacciones de oxidación, que se dan intracelularmente, pueden producir radicales libres, que inician reacciones en cadena, que derivan en el daño de las células ²⁷.

Estos radicales son especies químicas muy reactivas, que pueden producir daños como:

- ✓ Rupturas en la cadena del ADN y también cambios en las bases con lo que se producirían mutaciones, que podrían derivar en la carcinogénesis.
- ✓ Peroxidación de los residuos de ácidos grasos poliinsaturados en las membranas.
- ✓ Oxidación de los residuos de ácidos grasos poliinsaturados en las proteínas de baja densidad, con lo que se podría inducir la arterioesclerosis.
- ✓ Degradación del ácido hialurónico con lo que se disminuye la cantidad de líquido sinovial en las articulaciones.
- ✓ Daño en las proteínas, fragmentación, oxidación de iones metálicos y oxidación de los grupos sulfihidrilo de la cisteína.

2.2.3. Generalidades de la Antocianina

Las antocianinas son pigmentos flavonoides que se comportan como indicadores ácido – base debido a la reacción ²⁸.

Figura 1. Reacciones químicas de las antocianinas en diferente pH ²⁸.

La palabra antocianina deriva del griego anthos (flor) y kyanos (azul oscuro). Las antocianinas son las responsables de los colores rojos, azulados o violetas de la mayoría de las frutas y flores.

Es el pigmento más importante, después de la clorofila, que es visible al ojo humano. Pertenecen a los compuestos fenólicos llamados flavonoides, que tiene un núcleo flaván basado en dos anillos aromáticos unidos por una unidad de tres carbonos (Figuras 2 y 3). En los anillos aromáticos A y B, los grupos

hidroxilo u otros grupos son sustituidos en ciertas posiciones determinadas por el origen biosintético de los dos anillos aromáticos.

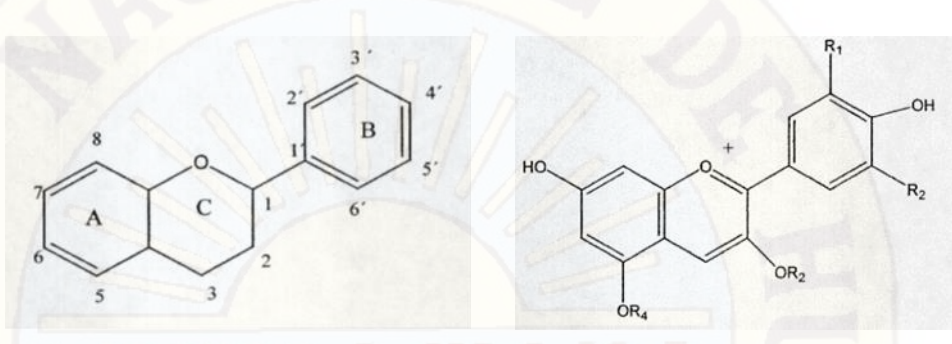


Figura 2. Estructura general de la antocianina, núcleo flaván ²⁹.

Figura 3. Estructura antocianina, catión flavilio ³⁰.

de

La función más importante de las antocianinas es la percepción visible para la atracción de animales para propósitos de polinización y dispersión de semillas. Han sido identificadas en manzanas, cerezas, moras, col morada, uva, fresa, rábano, ciruela, rosas rojas y arándano, entre otros. Hasta ahora no hay reportes de la toxicidad de las antocianinas, por lo que se consideran inofensivas a la salud, siendo una alternativa potencial en la industria alimenticia como un aditivo seguro y efectivo. Además se ha reportado poder terapéutico de estos compuestos flavonoides, como los que se mencionan más adelante ³¹.

2.2.3.1. Estructura química y color de las antocianinas

Las antocianinas son glucósidos de antocianidinas, pertenecientes a la familia de los flavonoides, compuestos por dos anillos aromáticos A y B unidos por una cadena de 3 C. Variaciones estructurales del anillo B resultan en seis antocianidinas conocidas (Fig. 4).

Figura 4. Estructura de las antocianinas 28.

El color de las antocianinas depende del número y orientación de los grupos hidroxilo y metoxilo de la molécula. Incrementos en la hidroxilación producen desplazamientos hacia tonalidades azules mientras que incrementos en las metoxilaciones producen coloraciones rojas ³².

En la naturaleza, las antocianinas siempre presentan sustituciones glicosídicas en las posiciones 3 y/o 5 con mono, di o trisacáridos que

incrementan su solubilidad. Dentro de los sacáridos glicosilantes se encuentran la glucosa, galactosa, xilosa, ramnosa, arabinosa, rutinosa, soforosa, sambubiosa y gentobiosa. Otra posible variación en la estructura es la acilación de los residuos de azúcares de la molécula con ácidos orgánicos. Los ácidos orgánicos pueden ser alifáticos, tales como: malónico, acético, málico, succínico u oxálico; o aromáticos: p-coumárico, caféico, ferúlico, sinápico, gálico, o p-hidroxibenzóico. Además demostraron que el tipo de sustitución glicosídica y de acilación producen efectos en el tono de las antocianinas; es así como sustituciones glicosídicas en la posición 5 al igual que acilaciones aromáticas, producen un desplazamiento hacia las tonalidades púrpura.

Tabla 1 Sustituyentes de las antocianinas

Aglicona	Substitucion		λ max (nm)
THE TAX	R1	R2	Espectro visible
Pelargonidina	Н	Н	494 (naranja)
Cianidina	OH	Н	506 (naranja-rojo)
Delfinidina	OH	OH	508 (azul-rojo)
Peonidina	OCH₃	Н	506 (naranja rojo)
Petunidina	OCH₃	OH	508 (azul-rojo)
Malvidina	OCH ₃	OCH₃	510 (azul-rojo)

Fuente: Wrolstad, et al.²⁸

Debido a la poca solubilidad de las antocianinas en agua, éstas no se encuentran de manera libre en la naturaleza, sino en su forma glicosilada (antocianidinas). En esta estructura encontramos que el grupo hidroxilo de la posición 3 está siempre glicosilada, lo que le dará estabilidad y solubilidad al cromóforo. En cuanto a los residuos de glucosa, éstos siempre estarán acilados en su posición 6 ³⁰.

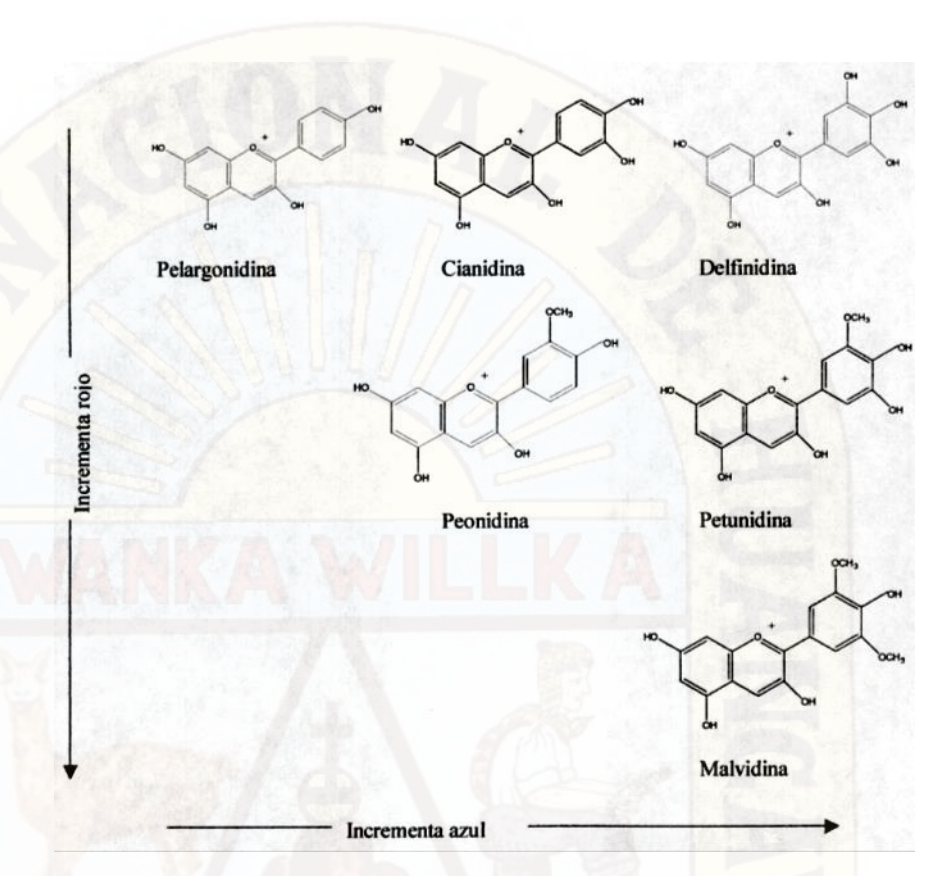


Figura 5. Estructura de las diferentes antocianidinas 30.

2.2.3.2. Distribución

Las antocianinas son los colorantes universales de plantas y son las responsables de los colores naranja, rosa, rojo, violeta y azul de los pétalos de flores y frutas. También se encuentran en otras partes de la planta como raíces y hojas, en donde se acumulan en las vacuolas de las células epidermales o subepidermales ³³.

Las antocianinas aparecen transitoriamente en la ontogenia de la planta para la percepción o filtración de la luz o pueden acumularse como resultado de estrés. Dentro de las vacuolas, las antocianinas, pueden estar localizadas en organelos esféricos conocidos como antocianoplastos, que se forman mientras la síntesis de pigmentos está en operación.

Las flavonas aparecen junto con las antocianinas y también participan en el color de las plantas como copigmentos. El mecanismo de

copigmentación es exclusivo de la familia de las antocianinas e incluye asociaciones con flavonoides, polifenoles, alcaloides, ácidos orgánicos y otros compuestos de favilio. El papel que desempeñan estos copigmentos es el de proteger el catión flavilio de las antocianinas del ataque nucleofílico de las moléculas de agua y por lo tanto mantener el color intenso.

2.2.3.3. Biosíntesis

Los compuestos fenólicos son sintetizados por rutas diversas, entre las cuales dos son básicas: a ruta del ácido shikímico y la ruta del malonato. En la ruta del ácido shikímico se convierten carbohidratos simples derivados de la glicólisis, de la ruta de las pentosas fosfato y del ciclo de Calvin en diversos ácidos orgánicos como el cinámico, pcumárico, cafeíco, ferúlico, clorogénico y fenilalanina (Figura 6). Esta última es incorporada en la porción C6-C3 de la estructura básica de los flavonoides, que correspondería al anillo aromático B y a los carbones correspondientes al anillo central de pirano. Por el otro lado, el anillo A y el oxígeno del anillo pirano son proporcionados por la acetil-CoA ³⁴.

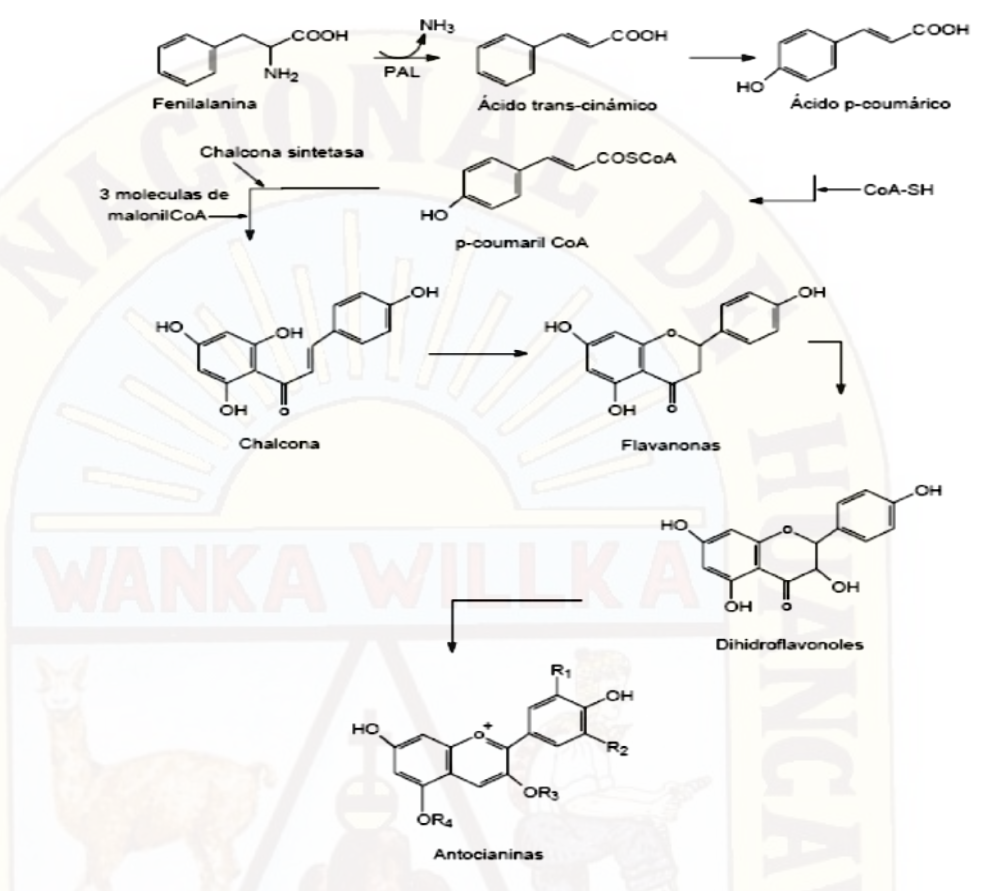


Figura 6. Ruta general de biosíntesis de las antocianinas 35.

2.3. HIPÓTESIS.

Ho = No existen diferencias en el contenido de antocianinas y la capacidad antioxidante del fruto de Macha macha (*Vaccinium floribundum Kunth*) en sus estados de maduración.

Hi = Existen diferencias en el contenido de antocianinas y la capacidad antioxidante del fruto de Macha macha (*Vaccinium floribundum Kunth*) en sus estados de maduración.

2.4. VARIABLES DE ESTUDIO.

2.4.1. Variables independientes:

> Estado de madurez de la macha macha niveles: verde, pinton y maduro

2.4.2. Variables dependientes:

Concentración de antocianinas y capacidad antioxidante de la macha macha.

CAPITULO III: METODOLOGÍA DE LA INVESTIGACIÓN

3.1. ÁMBITO DE ESTUDIO

La macha macha (*Vaccinium floribundum Kunth*.) se recolecto de Torohuichccana distrito de Acobamba, provincia de Acobamba Región Huancavelica, el análisis de la concentración de antocianinas y capacidad antioxidante del fruto de la macha macha se realizó en la ciudad de Lima, en el Laboratorio de Facultad de Ciencias de la Universidad Nacional de Ingeniería; y la redacción del informe final se desarrolló en la provincia de Acobamba departamento de Huancavelica.

3.1.1. Ubicación Política

Lugar : Común Era

Distrito : Acobamba

Provincia : Acobamba

Región : Huancavelica

País : Perú

3.1.2. Ubicación Geográfica

Latitud sur : 12° 50' 51" del meridiano de Greenwich.

Longitud oeste : 74° 34' 03" de la línea ecuatorial.

Altitud : 3417 m. s. n. m.

3.1.3. Factores Climáticos

Precipitación fluvial anual : 70 mL

Humedad relativa : 60%

Temperatura promedio anual: 12 °C

3.2. TIPO DE INVESTIGACIÓN

Aplicada

3.3. NIVEL DE INVESTIGACIÓN

Descriptivo.

3.4. MÉTODO DE INVESTIGACIÓN.

El método que se aplicará en el presente trabajo será el de Hipotetico – Deductivo, se analizó la concentración de antocianinas y la capacidad antioxidante. Estas particularidades se generalizarán si la concentración de antocianinas y la capacidad antioxidante varían según su estado de madurez del fruto de la macha macha.

3.5. DISEÑO DE INVESTIGACIÓN

En el trabajo de investigación se utilizó el diseño no experimental, diseño a emplear será el diseño transeccional correlacionales – causales, que pueden limitarse a establecer relaciones entre variables sin precisar sentido de causalidad ni pretender analizar relaciones de causalidad.

Los análisis se realizarán mediante el método recomendado por la Norma Técnica 203-010 INDECOPI, AOAC, pH diferencial y DPPH.

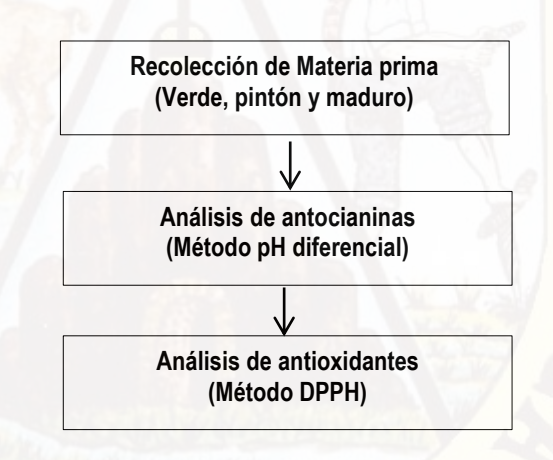


Figura 7. Pasos de diseño de investigación realizada

Descripción pasos de diseño de investigación realizada

- a. Recolección de la Materia Prima: La recolección de materia prima (macha macha), se ha realizado en lugar Torohuichccana de la provincia de Acobamba, Región Huancavelica.
- b. Análisis de antocianinas: el análisis de antocianinas totales presentes en el fruto de macha macha en sus diferentes estados de madurez (verde, pintón y maduro) fueron analizados con el método pH diferencial.
- c. Análisis de capacidad antioxidante: el análisis de la capacidad antioxidante presente en el fruto de macha macha en sus diferentes estados de madurez (verde, pintón y maduro) fueron analizados con el método DPPH.

3.6. POBLACIÓN, MUESTRA, MUESTREO.

3.6.1. Población.

En el presente trabajo de investigación la población será 500 g de fruto de macha macha verde, 500 gramos de fruto de macha macha pinton y 500 g de macha macha maduro recolectadas de Torohuichccana distrito de Acobamba, provincia de Acobamba – Huancavelica.

3.6.2. Muestra.

La muestra se realizó criterialmente y se caracterizarán por su color, del estado de maduración.

3.6.3. Muestreo.

El muestreo se realizará aleatoriamente y/o al azar de 500 g de macha macha

3.7. TÉCNICAS E INSTRUMENTOS DE RECOLECCIÓN DE DATOS.

Se procede a evaluar el contenido de antocianinas y la capacidad de antioxidantes del fruto de macha macha (*Vaccinium floribundum Kunth*).

Tabla 2. Técnicas e instrumentos de recolección de datos.

Técnicas	Instrumentos	Recolección de datos
Observación	♣ Ficha de observación	Cantidad de macha macha
	♣ Guía de observación	Lugar de producción macha macha
	de campo.	♣ Épocas de cosecha de macha
	♣ Notas de campo	macha

Recolección	Libros, revistas científicas,	♣ Antocianinas.
de información	boletín y formatos	Determinación de antocianinas
	impresos	♣ Determinación de la capacidad
	A CAT	antioxidante
Análisis de	Método de pH diferencial	Concentración de antocianinas.
antocianinas	0 0 11 11 11 10 0	
Análisis de la	Método DPPH	Capacidad antioxidante
capacidad		
antioxidante	3/	

3.8. PROCEDIMIENTO DE RECOLECCIÓN DE DATOS

Tabla 3. Procedimiento de recolección de datos

Procedimiento Pr	Recolección de datos
Análisis de concentración de antocianinas	Resultados de laboratorio
del fruto de macha macha (Vaccinium	
floribundum Kunth).	
Análisis de capacidad antioxidante del	Resultados de laboratorio
fruto de macha macha (Vaccinium	
floribundum Kunth)	

3.9. TÉCNICAS DE PROCESAMIENTO Y ANÁLISIS DE DATOS

3.9.1. Estudios a realizar

Los análisis que se realizó en el desarrollo del presente trabajo se describen a continuación:

- A. Concentración de antocianinas: La concentración de antocianinas se determinó utilizando el método de pH diferencial (Anexo 4).
- **B. Capacidad antioxidante:** La capacidad antioxidante se determinó utilizando el método de DPPH (Anexo 5)
- **C. Análisis fisicoquímicas.** En el análisis fisicoquímico de la macha macha se analizó los siguientes análisis:

- pH: Se determinó por el método (AOAC 945.27)
- Humedad: Se determinó por el método (AOAC 934.06)
- Acidez (expresado como ácido cítrico): Se determinó por el método (AOAC 942.15)
- Grasa: Se determinó por el método (NTE INEN 523)
- Proteína:, Se determinó por el método (NTE INEN 523)
- Cenizas: Se determinó por el método (INEN 401)
- Carbohidratos totales, Calculado 36.

CAPITULO IV: RESULTADOS

4.1. PRESENTACIÓN DE RESULTADO

4.1.1. Análisis fisicoquímico del fruto de macha macha en estado maduro.

En la tabla 4, se muestra los resultados de análisis de características fisicoquímicos del fruto de macha macha en estado maduro la cual contiene: pH 4.67, humedad 84.760%, acidez (expresado como ácido cítrico) 0,028, grasa 0.536%, proteína 0.897%, Cenizas 0,478%, carbohidratos totales 13,329%

Tabla 4. Características fisicoquímicos del fruto de macha macha en estado maduro

ALISIS	RESULTADO
VIDAVAT POR TAR SEE	4.67
nedad, %	84.760
ez, (expresado como ácido cítrico)	0,028
sa, %	0.536
eína, %	0.897
izas, %	0.478
pohidratos totales, %	13.329
Johnards rotales, 76	

4.1.2. Determinación de antocianinas del fruto de macha macha por el método pH diferencial.

Tabla 5. Identificación de la muestra

MUESTRA	DESCRIPCIÓN
144	Fruto de macha macha.
M1	Muestra verde
M2	Fruto de macha macha.
	Muestra pinton
Ma	Fruto de macha macha.
M3	Muestra maduro

En tabla 6, se muestra el contenido de antocianinas determinados por el método pH diferencial, los resultado obtenidos del contenido de antocianinas totales presentes en el fruto de macha macha fueron los siguientes: 0.519 mg de Cianidina/g de muestra, 4.242 mg de Cianidina/g de muestra y 10.532 mg de Cianidina/g de muestra en estado verde, pintón y maduro respectivamente observándose que en estado maduro el fruto de macha macha presenta mayor contenido.

Tabla 6. Determinación de antocianinas del fruto de macha macha por el método pH diferencial.

Repetición	Contenido de antocianinas monómericas (mg de Cianidina/g de muestra seca)		monómericas (mg de		mericas (mg de Cianidina/g		
	M1	M2	М3	M1	M2	М3	
1	0.235	3.507	9.145	0.520	4.244	10.531	
2	0.225	3.491	9.125	0.520	4.246	10.516	
3	0.230	3.501	9.146	0.516	4.236	10.550	
Promedio	0.230	3.499	9.139	0.519	4.242	10.532	
D.S.	0.005	0.008	0.012	0.002	0.005	0.017	
R.S.D.,%	2.037	0.225	0.131	0.450	0.129	0.164	

4.1.3. Determinación de capacidad antioxidante por el método DPPH del fruto de macha macha.

La actividad antioxidante de la macha macha evaluada por el radical DPPH, presenta un valor de 569.3637 Umol TE/g muestra, 550.1427 Umol TE/g muestra y 323.9630 Umol TE/g muestra en estado verde, pintón y maduro respectivamente observándose que en estado verde el fruto de macha macha presenta una mayor capacidad antioxidante.

Tabla 7. Determinación de capacidad antioxidante del fruto de macha macha por el método DPPH.

Muestra	Umol TE/g	Umol TE/g
WANKA WI	m <mark>uestra humed</mark> a	muestra seca
Fruto de macha macha verde (M1)	177.5850	569.3637
Fruto de macha macha pinton (M2)	129.0650	550.1427
Fruto de macha macha maduro (M3)	49.3709	323.9630

4.2. DISCUSIONES

4.2.1. Cuantificación de características fisicoquímicas en el fruto de macha macha.

Tabla 8. Comparación de características fisicoquímicas de macha macha con otras frutas.

FRUTAS	рН	Acidez
Macha macha	4.67	0.028
Ciruela criolla ³⁷	3.06	0.52
Melón criollo ³⁷	6.01	0.09
Mango de clase ³⁷	4.21	2.23
Cereza criolla ³⁷	2.94	3.91
Coco ³⁷	6.13	0.32
Chirimoya ³⁷	4.58	1.3
Ayrampu ³⁸	2.5	2.35
Grosella ³⁸	2.01	3.57

Fuente: Villalba et al.³⁷, Ccatamayo y Valderrama³⁸

Tabla 9. Comparación de características fisicoquímicas de macha macha con otras frutas.

Análisis	Análisis Macha		Aguaymanto ³⁹	
No.	macha			
Humedad	84.760	79.52	80.2	
Ceniza	0.478	2.68	1.58	
Proteína	0.897	1.11	0.58	
Grasa	0.536	1.35	0.57	
Carbohidratos	13.329	12.63	16.47	

Fuente: Ccatamayo y Valderrama³⁸, Gallo³⁹

4.2.2. Comparación del contenido de antocianinas totales del fruto de macha macha con otras frutas del genero vaccinium.

El contenido de antocianinas totales expresados como (mg cianidina/ g muestra) (Tabla 12), encontradas en los frutos de macha macha (*Vaccinium floribundum Kunth*), es alto con un valor de (1053.2) comparado con los reportados para los frutos del genero vaccinium el contenido de antocianinas totales reportan valores de: 300-600 para el arándano americano (*Vaccinium myrtillus*, *L*)⁴⁰, 60 – 480 para el Mora azul (*Vaccinium different sub-genera*)⁴⁰, 20-360 para Arándano (*Vaccinium oxycoccus*, *L*) ⁴⁰, 35-170 para arándano rojo (*Vaccinium vitis-idaea*, L) ⁴⁰, 92-235 para el Northern Highbush blueberry (*Vaccinium corymbosum*)⁴¹, 60 – 187 para el Rabbiteye blueberry (*Vaccinium ashei*) ⁴², 290 – 300 para Lowbush blueberry (*Vaccinium angustifolium*) ⁴³ y 371 – 630 para el deerberry (*Vaccinium stamineum*)⁴⁴.

Tabla 10. Comparación del contenido de antocianinas del fruto de macha macha con otras frutas del genero vaccinium.

Frutillas	Especie	Antocianinas (mg / 100g muestra)
Fruto de macha macha verde	Vaccinium floribundum Kunth.	51.9
Fruto de macha macha pintón	Vaccinium floribundum Kunth.	424.2
Fruto dema chamacha maduro	Vaccinium floribundum Kunth.	1053.2
arándano americano	Vaccinium myrtillus, L	300-60040
Mora azul	Vaccinium (different sub-genera)	60-48040
Arándano	Vaccinium oxycoccus, L	20-36040
Arándano rojo	Vaccinium vitis-idaea, L	35-17040
Northern Highbush blueberry	Vaccinium corymbosum	92 – 23541
Rabbiteye blueberry	Vaccinium ashei	60 – 18742
Lowbush blueberry	Vaccinium angustifolium	290 - 30043
Deerberry	Vaccinium stamineum	371 – 63044.

Fuente: Rein, et al.⁴⁰, Prior, et al.⁴¹, Kalt y Dufour ⁴², Capocasa, et al.⁴³, Wang y Ballington⁴⁴.

4.2.3. Comparación de la capacidad antioxidante del fruto de macha macha con frutos de otras especies.

Los frutos del genero Vaccinium, se caracterizan por poseer una gran cantidad de diferentes compuestos con actividad antioxidante⁴⁵.

La capacidad antioxidante que presenta el fruto de macha macha es alta en comparación a otros frutos como la mora, uva, acai, guayaba y fresa que presentan una actividad antioxidante que varian de (4.3 a 7.0) umol TE/g muestra.

Tabla 11. Comparación de la capacidad antioxidante del fruto de macha macha con frutos de otras especies.

MUESTRAS	DPPH TEAC
Fruto de macha macha verde (M1)	177.5850
Fruto de macha macha pinton (M1)	129.0650
Fruto de macha macha maduro (M1)	49.3709
Mora ⁴⁶	4.3
Uva ⁴⁶	7.0
Açaí ⁴⁶	6.9
Guayaba ⁴⁶	5.9
Fresa ⁴⁶	9.2

Fuente: Kuskoski, et al.46

aTEAC: actividad antioxidante equivalente al Trolox (µmol TE/g peso muestra).

CONCLUSIONES

- ➤ El fruto de macha macha que presentó el mayor contenido de antocianinas totales fue la madura con 10.532 (mg de Cianidina/g de muestra)
- Se observó diferencia del contenido de antocianinas totales entre los diferentes estados de maduración de los frutos de macha macha. El contenido de antocianinas totales se incrementó de 0.519 hasta 10.532 (mg de Cianidina/g de muestra) al avanzar la maduración.
- Se observó diferencia en su actividad antioxidante entre los diferentes estados de maduración de los frutos de macha macha.
- La mayor actividad antioxidante lo presentó el extracto del fruto pintón, con 569.3637 Umol TE/g muestra frente al radical DPPH.
- ➤ EL análisis fisicoquímico del fruto de macha macha en estado maduro contiene: pH 4.67, humedad 84.760%, acidez (expresado como ácido cítrico) 0,028, grasa 0.536%, proteína 0.897%, Cenizas 0,478%, carbohidratos totales 13.329%.

RECOMENDACIONES

- Realizar estudios de compuestos bioactivos en diferentes estados de madures de la fruta.
- > Realizar un estudio de carotenoides, polifenoles totales en la pulpa fresca de la fruta
- Implementar nuevas metodologías para la medición de la actividad antioxidante como son el ABTS y ORAC.
- Implementar otros métodos como HPLC para identificar los tipos de antocianinas que se encuentran en el fruto de macha macha.

REFERENCIAS BIBLIOGRÁFICAS

- Fennema O. Color y estabilidad de antocianinas. En: Química de los alimentos.
 Segunda Edición. Editorial Acribia S.A. Zaragoza. P. 807-820. 2000
- Castañeda A, Pacheco M, Páez M, Rodríguez J, Galán C. Chemical studies of anthocyanins: A review. Journal Food Chemistry 113: 859–871. 2009.
- 3. Luthria D. A simplified UV spectral scan method for the estimation of phenolic acids and antioxidant capacity in eggplant pulp extracts. Journal of functional foods 4: 238–242. 2012.
- **4.** Garzón G. Las antocianinas como colorantes naturales y compuestos bioactivos: revisión. Acta Biológica Colombiana 13 (3): 27 36. 2008.
- **5.** Longo L, Vasapollo G. Extraction and identification of anthocyanins from Smilax aspera L. berries. Food Chemistry 94: 226–231. 2006.
- Castañeda A, Pacheco M, Páez M, Rodríguez J, Galán C. Chemical studies of anthocyanins: A review. Journal Food Chemistry 113: 859–871. 2009.
- 7. Olaya C, Castaño M, Garzón G. Stability of anthocyanins from Rubus glaucus Benth and Solanum betaceum Cav.dark-red strain as affected by temperature, storage time and water activity. Acta Biológica Colombiana 14 (3): 141-156. 2009.
- **8.** Owusu A. Chemistry Postharvest. En: Introduction to Food Chemistry. Primera Edición. Editorial CRC Press. United States of America. P. 219. 2005.
- Parr AJ, Bolwell GP. Phenols in the plant and in man. The potential for possible nutritional enhancement of the diet by modifying the phenols content or profile. J Sci Food Agr 80:985-1012. 2008.
- **10.** Rojano B, Gaviria C, Gil M, Saez J, Schinella G, Tournier H. Actividad antioxidante del isoespintanol en diferentes medios. Vitae 15(1):173-181. 2008a.
- **11.** Rojano B, Saez J, Schinella G, Quijano J, Vélez E, Gil A. Experimental and theoretical determination of the antioxidant properties of isoespintanol (2-Isopropyl-3,6-dimethoxy-5-methylphenol). J Mol Struct 877:1- 6. 2008b.
- **12.** Cornelli U. 2009. Antioxidant use in nutraceuticals. Clin Dermatol 27:175-194.

- **13.** Cuellar F, Ariza E, Anzola C, Restrepo P. "Estudio de la capacidad antioxidante del arazá (*Eugenia stipitata Mc Vaugh*) durante la maduracion". Universidad Nacional de Colombia Facultad de Ciencias. Bogotá Colombia. 2012.
- **14.** Del Carpio, et al. "Caracterización de las antocianinas de los frutos de Berberis boliviana Lechler." Rev Soc Quím Perú. 2009.
- 15. Figueroa R, et al. "Actividad antioxidante de antocianinas presentes en cáscara de pitahaya (*Hylocereus undatus*)" Instituto Tecnológico de Mérida, Revista Iberoamericana de Tecnología Postcosecha, vol. 12, núm. 1, junio, 2011, pp. 44-50, Mexico, 2011.
- **16.** Leiva D,"Determinación de antocianinas, fenoles totales y Actividad Antioxidante en licores y fruto de mora" Universidad Tecnológica de la Mixteca, México, 2009.
- **17.** Santacruz C, "Análisis químico de antocianinas en frutos silvestres colombianos" Bogotá 2011
- **18.** MAG, "Mortiño Blueberry Vaccinium myrtillus L. V. angustifolium Ait", Quito, Ecuador. 2001.
- **19.** González L. "Propagación y productos del mortiño (*Vaccinium floribundum Kunth*)", Proyecto Páramo Andino ECOPAR. Riobamba, Ecuador. 2002.
- 20. Noboa V. Efecto de seis tipos de sustratos y tres dosis de ácido alfa naftalenacético en la propagación vegetativa de mortiño (Vaccinum Floribundum Kunth). Tesis de Ingeniería Forestal. Escuela Superior Politécnica de Chimborazo. Riobamba, Ecuador. 2010.
- **21.** Aguilar Z, Ulloa C, Hidalgo P. "Plantas Útiles de los Páramos de Zuleta, Ecuador", Proyecto de Manejo y Aprovechamiento Sustentable de Alpacas en los Páramos de Zuleta, PPA-EcoCiencia, Quito, Ecuador. 2009.
- **22.** Sanjinés A, Ollgaard B, Balslev H. Botánica Económica de los Andes Centrales. Tesis de Universidad Mayor de San Andrés. La Paz, Bolivia. 2006.
- 23. Fuentes V. Estudio del Mortiño y propuesta gastronómica aplicada a un recetario. Tesis de gastronomía. Universidad Tecnológica Equinoccial. Quito, Pichincha, Ecuador. 2008.
- **24.** Webb G. "Complementos nutricionales y alimentos funcionales", Editorial Acribia, Zaragoza, España. 2006.

- **25.** Zamora J. "Antioxidantes: Micronutrientes en lucha por la salud", Revista Chilena de Nutrición, Bromatología y Toxicología. 2007.
- **26.** Pokorny J, Yanishlieva N, Gordon M. "Antioxidantes de los alimentos", Editorial Acribia, Zaragoza, España 2001.
- 27. Valko M, Leibfritz D, Moncol J, Cronin M, Mazur M, Telser J. "Free radicals and antioxidants in normal physiological functions and human disease", Biochem Cell Biol, 2007.
- **28.** Wrolstad RE. Anthocyanins. In: Lauro GJ, Francis FJ, editors. Natural Food Colorants. New York, N.Y.: Marcel Dekker, Inc.; 2000.
- **29.** Gross J. Pigments in vegetables. Chlorophylls and carotenoids. Avi:Van Nostrand Reinhold Company Inc, New York. 1991.
- 30. Fennema O. Química de los Alimentos. Zaragoza. Editorial: ACRIBIA S.A. 2000.
- **31.** Wrolstad RE. Anthocyanin Pigments-bioactivity and Coloring Properties. J Food Sci. 2004.
- **32.** Stintzing FC, Stintzing AS, Carle R, Frei B, Wrolstad RE. Color and Antioxidant Properties of Cyanidin-based Anthocyanin Pigments. J Agric Food Chem. 2002.
- 33. John J, Carotenoids in 3 stages of ripening of mango. J Food. 2000.
- **34.** Cisneros-Zeballos L. Stability of Anthocyaninbased Aqueous Extract of Andean Purple Corn and Red Fleshed Sweet Potato Compared to Synthetic and Natural Colorants. Food Chem. 2004.
- 35. Delgado-Vargas F, Jiménez AR, Paredes-López O. Natural Pigments: Carotenoids, Anthocyanins, and Betalains-Characteristics, Biosynthesis, Processing, and Stability. Crit Rev Food Sci Nutr.
- **36.** http://www.fao.org/docrep/006/y5022e/y5022e03.htm.
- **37.** Villalba M, Yepes I, y Arrázola G. (2005). Caracterización fisicoquímica de frutas de la zona del sinu para su agroindustrialización. Temas agrarios, 09.
- **38.** Ccatamayo G, Valderrama V. Aprovechamiento agroindustrial del ayrampu (Berberis sp.) en el procesamiento de una bebida funcional para la seguridad alimentaria. Universidad Nacional de Huancavelica, 15. 2010.

- **39.** Gallo E. Carotenoides, fenoles totales y actividad antioxidante en el aguaymanto (*Physalis peruviana L.*). Ayacucho: Tesis Universidad Nacional San Cristóbal de Huamanga. 2006.
- **40.** Rein M. Copigmentation Reactions and Color Stability of Berry Anthocyanins. University of Helsinki: Depertment of Applied Chemistry and Microbiology. Food Chemistry Division. Tesis. 2005.
- 41. Prior RL, Cao G, Martin A, Sofic E, McEwen J, O'Brien Ch, Lischner N, Ehlenfeldt M, Kalt W, Krewer G, Mainland CM. 1998. Antioxidant capacity as influenced by total phenolic and anthocyanin content, maturity, and variety of Vaccinium species. J Agr Food Chem 46(7):2686-2693.
- **42.** Kalt W, Dufour D. Health functionality of blueberries. Hortechnology 7:216-221.
- **43.** Capocasa F, Scalzo J, Mezzetti B, Battino M. Combining quality and antioxidant attributes in the strawberry: The role of genotype. Food Chem 111:872-878. 2008.
- **44.** Wang SY, Ballington JR. Free radical scavenging capacity and antioxidant enzyme activity in deerberry (*Vaccinium stamineum I.*). Food Sci Technol Today Shanta NC, Decker EA. 1994. Rapid, sensitive, iron-based 73:1352-1361. 2007.
- **45.** Beccaro G, Mellano MG, Botta R, Chiabrando V, Bounous G. Phenolic and anthocyanin content and antioxidant activity in fruits of bilberry (*Vaccinium myrtillus L.*) and of highbush blueberry (*V. corymbosum L.*) cultivars in North Western Italy. Acta Horticult 715:553-558. 2006.
- **46.** Kuskoski, et al. Aplicación de diversos métodos químicos para determinar actividad antioxidante en pulpa de frutos. Ciênc. Tecnol. Aliment., Campinas, 25(4): 726-732, out.-dez. 2005.
- **47.** Brand-Willliams W, Cuvelier M.E, Berset C. Use of free radical method to evaluate antioxidant activity. Lebensm. Wiss. Technol., 22, 25-30, 1995.
- 48. Martínez-Cruz NS et.al. Antocianinas y actividad anti radicales libres de RubusadenotrichusSchltdl (zarzamora). Revista mexicana de ciencias farmacéuticas. Volumen 42, número 4, 2011.

"ESTUDIO DEL CONTENIDO DE ANTOCIANINAS Y CAPACIDAD ANTIOXIDANTE DEL FRUTO DE MACHA MACHA (Vaccinium floribundum Kunth) DURANTE LA MADURACION"

Peter LLIMPE PÉREZ

Escuela Profesional de Ingeniería Agroindustrial - Facultad de Ciencias Agrarias Universidad Nacional de Huancavelica Ciudad Universitaria de Común Era - Acobamba

Email: Pither_TM@hotmail.com

RESUMEN

El presente trabajo de investigación tuvo como objetivo evaluar el contenido de antocianinas y la capacidad antioxidante del fruto de Macha macha (*Vaccinium floribundum Kunth*) en tres estados de maduración, una especie silvestre del Perú, cuyas potencialidades hasta ahora se desconocían. Se analizó el contenido de antocianinas totales por el método pH diferencial, y se halló: 0.519, 4.242 y 10.532 mg de Cianidina/g de muestra en estado verde, pintón y maduro, respectivamente. En estado maduro se presentó mayor contenido.

La actividad antioxidante fue evaluada por el método radical DPPH, y se obtuvo valores de 569.3637, 550.1427 y 323.9630 Umol TE/g muestra en estado verde, pintón y maduro, respectivamente. El verde presentó una mayor capacidad antioxidante.

El análisis de características fisicoquímicas del fruto de macha macha en estado maduro presento: pH 4.67, humedad 84.760%, acidez (expresado como ácido cítrico) 0,028, grasa 0.536%, proteína 0.897%, cenizas 0.478%, carbohidratos totales 13.329%.

Estos resultados revelan al fruto de macha macha como promisorio, para su aprovechamiento agroindustrial como fuente importante de antocianinas y antioxidantes.

ABSTRACT

The objective of this research was to evaluate the anthocyanin content and the antioxidant capacity of Macha macha fruit (Vaccinium floribundum Kunth) in three stages of maturation, a wild species from Peru, whose potentialities were unknown until now. The content of total anthocyanins was analyzed by the differential pH method, and it was found:

0.519, 4.242 and 10.532 mg of Cyanidin / g of sample in green, pinton and mature state, respectively. In mature state there was more content.

The antioxidant activity was evaluated by the DPPH radical method, and values of 569.3637, 550.1427 and 323.9630 Umol TE / g were obtained in the green, pinton and mature state, respectively. The green presented a greater antioxidant capacity.

The analysis of physicochemical characteristics of the macha fruit in mature state presented: pH 4.67, humidity 84.760%, acidity (expressed as citric acid) 0.028, fat 0.536%, protein 0.897%, ash 0.478%, total carbohydrates 13.329%.

These results reveal the fruit of macha macha as promising, for its agroindustrial use as an important source of anthocyanins

INTRODUCCION

Las antocianinas son compuestos fenólicos flavonoides que poseen algunos efectos terapéuticos positivos, principalmente asociados con su capacidad antioxidante. El interés por los pigmentos antocianos en investigaciones científicas se han incrementado en los últimos años, debido no sólo al color que confieren a los productos que las contienen sino a su probable papel en la reducción de las enfermedades coronarias, cáncer, diabetes, efectos antiinflamatorios, mejoramiento de la agudeza visual y comportamiento cognitivo; estos efectos terapéuticos positivos, están principalmente asociados con sus propiedades antioxidantes.

Teniendo en cuenta el creciente interés en las propiedades nutraceúticas de los frutos del genero Vaccinium y la gran demanda de aditivos naturales en los mercados internacionales; en este trabajo, se estudian las propiedades antioxidantes de la macha macha (*Vaccinium floribundum Kunth*), y se determina el contenido de antocianinas. Todo esto, para señalar el uso potencial de la macha macha, como alimento nutracéutico y aditivo conservante de la peroxidación.

MATERIALES Y METODOS

AMBITO DE ESTUDIO

La macha macha (*Vaccinium floribundum Kunth*.) se recolecto de Torohuichccana distrito de Acobamba, provincia de Acobamba Región Huancavelica, el análisis de la concentración de antocianinas y capacidad antioxidante del fruto de la macha macha se realizó en la ciudad de Lima, en el Laboratorio de Facultad de Ciencias de la Universidad Nacional de Ingeniería; y la redacción del informe final se desarrolló en la provincia de Acobamba departamento de Huancavelica.

CUANTIFICACIÓN DE ANTOCIANINAS POR pH DIFERENCIAL

1. PROCEDIMIENTO

La cuantificación de antocianinas se realizó por el método de pH diferencial, el cual es un método espectrofotométrico que se basa en la transformación estructural de las antocianinas con el cambio de pH (pH 1 coloreadas pH 4.5 incoloras). Se prepararon diluciones del extracto metanólico con solución buffer pH 1.0 de cloruro de potasio y con solución buffer pH 4.5 de acetato de sodio. Se midió la absorbancia de cada muestra a la longitud de onda de máxima absorbancia y a 700 nm.

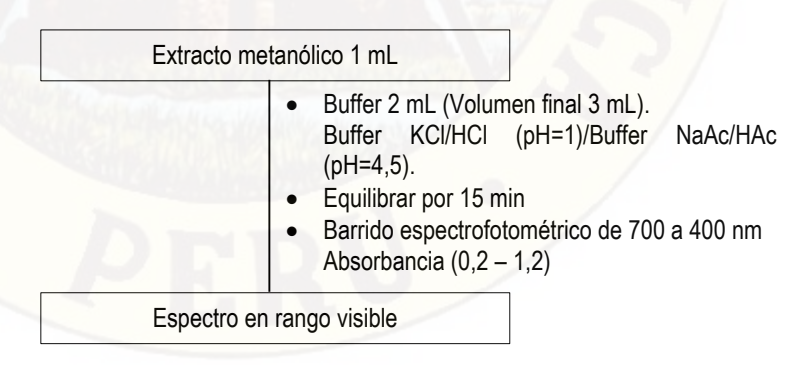


Figura 8. Diagrama de procesos para la cuantificación de antocianinas

2. CÁLCULOS

Para el cálculo del contenido de antocianinas se utiliza la masa y la absorbancia molar del pigmento antociano presente en mayor proporción, en este caso es la cianidina (M 449.2 y ε 26900).

La concentración de antocianinas totales se obtuvo de la siguiente ecuación:

Antocianinas monomericas (mg cianidina/ g muestra) = $\{(A)(M)(FD)(V)(1000)\}/\{\epsilon(L)(W)\}...(Ec. 01)$

Dónde:

A: Absorbancia de cada muestra a la longitud de onda de máxima absorbancia

M: Masa molar

FD: Factor de dilución

V: Volumen de la fiola (25 mL)

ε: Absorbancia molar o coeficiente de extintor molar

L: Longitud de corrido en cm (L=1 cm)

W: Masa de la muestra seca

Para la ecuación 01 se utiliza:

A) La ecuación de Lambert-Beer:

 $C = A/\epsilon L...(Ec. 02)$

Dónde:

C: Concentración molar

A: Absorbancia

ε: Absorbancia molar o coeficiente de extintor molar

L: Longitud de corrido en cm

W: Masa de la muestra seca

B) La absorbancia (A):

$$A = (A_{\lambda max} - A_{700})_{pH=1.0} - (A_{\lambda max} - A_{700})_{pH=4.5...}$$
 (Ec. 03)

La concentración de antocianinas totales se obtuvo de la siguiente ecuación:

Antocianinas totales (mg cianidina/ g muestra) = $\{(A')(M)(FD)(V)(1000)\}/$ $\{\epsilon(L)(W)\}...(Ec. 04)$

Donde la absorbancia (A') se calculó con la ecuación 05:

 $A' = (A_{\lambda max} - A_{700})_{pH=1.0...}$ (Ec. 05)

CAPACIDAD ANTIOXIDANTE POR DPPH

1. PROCEDIMIENTO

Este método, desarrollado por ¹, se basa en la reducción de la absorbancia medida a 517 nm del radical DPPH•, por antioxidantes. Con modificaciones en el método descrito por ², se basa en la medida de la absorbancia del radical DPPH• a 200 μM disuelto en metanol al 80%, a la longitud de onda de 517 nm. Se añade la muestra o estándar trolox, la mezcla se homogeniza cuidadosamente, y se mantiene en la oscuridad durante 30 minutos. El antioxidante sintético de referencia Trolox, a una concentración final de 0-24 μM (Tabla 12) en disolución de metanol al 80%, se ensaya en las mismas, expresándose los resultados en TEAC. La concentración de las muestras en el medio de reacción se calcula a partir de la curva de calibración obtenida por regresión lineal. Los resultados se expresan en TEAC, o sea, actividad antioxidante equivalente a trolox (μmol TE/g de muestra peso seco).



Figura 9. Diagramas de procesos para la preparación de la curva de calibración de TROLOX.

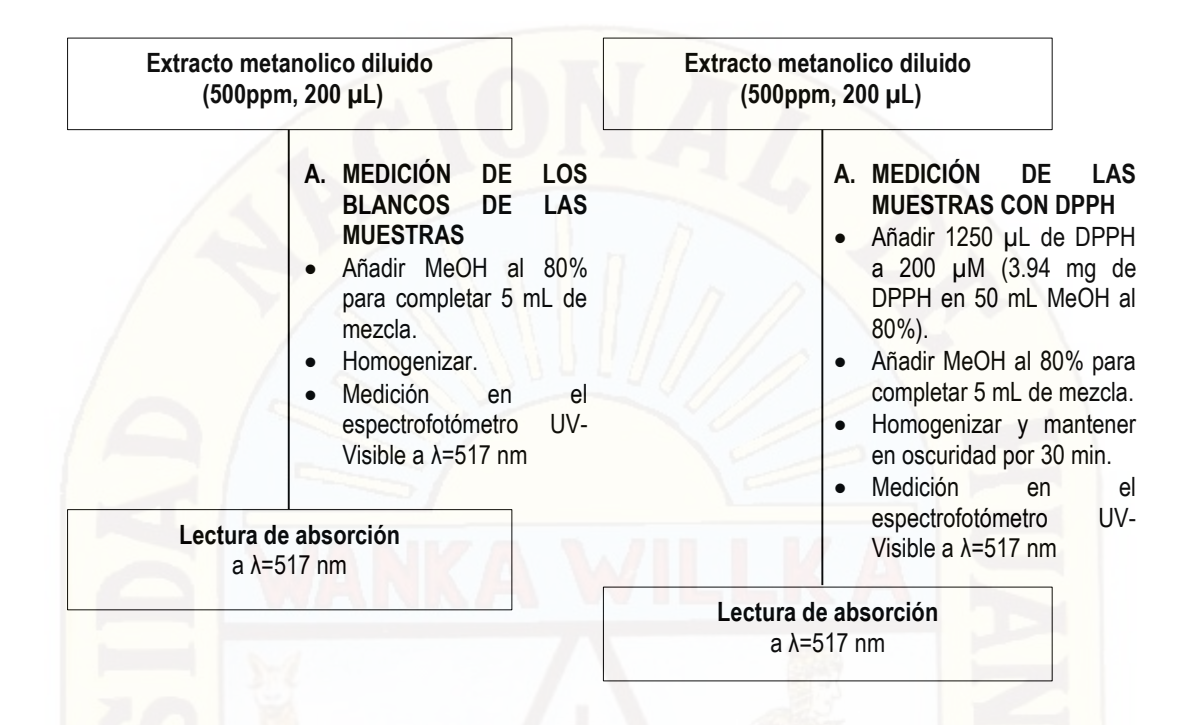


Tabla 12. Mezcla de reacción para la Curva de Calibración TROLOX

Figura 10. Diagramas de procesos para la preparación de la curva de calibración de TROLOX

µL Trolox µL DPPH µL MeOH μL Total Concentración 250ppm 200 μM al 80% Mezcla de final, µM reacción 0 1250 3750 5000 0.0 10 1250 3740 5000 2.0 1250 20 3730 5000 4.0 40 1250 3710 5000 8.0 80 1250 3670 5000 16.0 120 1250 3630 5000 24.0

Tabla 13. Mezcla de reacción para las muestras

Muestra	μL Muestra 500ppm	μL DPPH 200 μM	μL MeOH al 80%	µL Total Mezcla de reacción
M1	200	1250	3550	5000
M2	200	1250	3550	5000
M3	200	1250	3550	5000

Tabla 14. Concentración del Trolox y sus respectivas Absorbancias

Concentración Trolox, Um	Absorbancia λ=517 nm
0.0	0.567
2.0	0.528
4.0	0.484
8.0	0.378
16.0	0.187
24.0	0.022

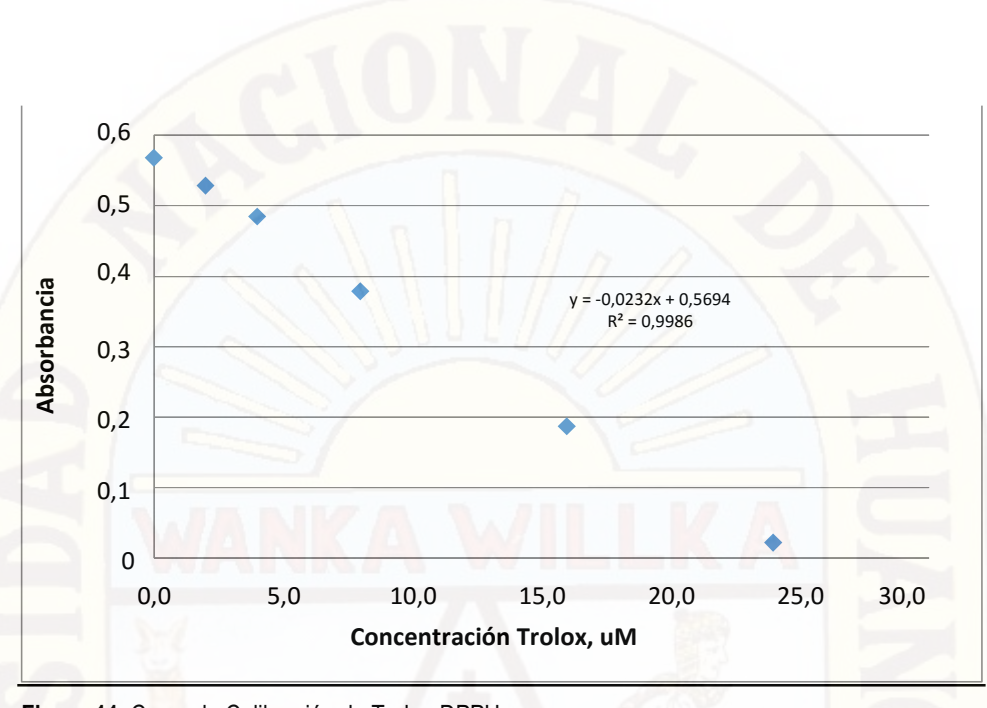


Figura 11. Curva de Calibración de Trolox-DPPH

Tabla 15. Resultados de las Absorbancias de las muestras

Muestra	Absorbancia del Blanco de la muestra λ=517 nm	Absorbancia del Reacción de la muestra con DPPH λ=517 nm
M1	0.001	0.361
M2	0.001	0.368
M3	0.001	0.451

Tabla 16. Resultados de Humedad de las muestras (Secado a 40°C, 2 semanas)

Muestra	Humedad %
M1	68.81
M2	76.54
M3	84.76

RESULTADOS

Análisis fisicoquímico del fruto de macha macha en estado maduro.

En la tabla 4, se muestra los resultados de análisis de características fisicoquímicos del fruto de macha macha en estado maduro la cual contiene: pH 4.67, humedad 84.760%, acidez (expresado como ácido cítrico) 0,028, grasa 0.536%, proteína 0.897%, Cenizas 0,478%, carbohidratos totales 13,329%

Tabla 17. Características fisicoquímicos del fruto de macha macha en estado maduro

ANÁLISIS	RESULTADO
Ph	4.67
Humedad, %	84.760
Acidez, (expresado como ácido cítrico)	0,028
Grasa, %	0.536
Proteína, %	0.897
Cenizas, %	0.478
Carbohidratos totales, %	13.329

Determinación de antocianinas del fruto de macha macha por el método pH diferencial.

Tabla 18. Identificación de la muestra

MUESTRA	DESCRIPCIÓN
MA	Fruto de macha macha.
M1	Muestra verde
M2	Fruto de macha macha.
IVIZ	Muestra pinton
MO	Fruto de macha macha.
M3	Muestra maduro

En tabla 6, se muestra el contenido de antocianinas determinados por el método pH diferencial, los resultado obtenidos del contenido de antocianinas totales presentes en el fruto de macha macha fueron los siguientes: 0.519 mg de Cianidina/g de muestra, 4.242 mg de Cianidina/g de muestra y 10.532 mg de Cianidina/g de muestra en estado verde, pintón y maduro respectivamente observándose que en estado maduro el fruto de macha macha presenta mayor contenido.

Tabla 19. Determinación de antocianinas del fruto de macha macha por el método pH diferencial.

Repetición	Contenido de antocianinas monómericas (mg de Cianidina/g de muestra seca)		1	(mg de Cia	ntocianinas nidina/g de	
	M1	M2	M3	M1	M2	M3
1	0.235	3.507	9.145	0.520	4.244	10.531
2	0.225	3.491	9.125	0.520	4.246	10.516
3	0.230	3.501	9.146	0.516	4.236	10.550
Promedio	0.230	3.499	9.139	0.519	4.242	10.532
D.S.	0.005	0.008	0.012	0.002	0.005	0.017
R.S.D.,%	2.037	0.225	0.131	0.450	0.129	0.164

Determinación de capacidad antioxidante por el método DPPH del fruto de macha macha.

La actividad antioxidante de la macha macha evaluada por el radical DPPH, presenta un valor de 569.3637 Umol TE/g muestra, 550.1427 Umol TE/g muestra y 323.9630 Umol TE/g muestra en estado verde, pintón y maduro respectivamente observándose que en estado verde el fruto de macha macha presenta una mayor capacidad antioxidante.

Tabla 20. Determinación de capacidad antioxidante del fruto de macha macha por el método DPPH.

Muestra	Umol TE/g muestra	Umol TE/g muestra
	humeda	seca
Fruto de macha macha verde (M1)	177.5850	569.3637
Fruto de macha macha verde (M2)	129.0650	550.1427
Fruto de macha macha verde (M3)	49.3709	323.9630

Cuantificación de características fisicoquímicas en el fruto de macha macha.

Tabla 21. Comparación de características fisicoquímicas de macha macha con otras frutas.

FRUTAS	рН	Acidez
Macha macha	4.67	0.028
Ciruela criolla ³	3.06	0.52
Melón criollo ³	6.01	0.09
Mango de clase ³	4.21	2.23
Cereza criolla ³	2.94	3.91
Coco ³	6.13	0.32
Chirimoya ³	4.58	1.3
Ayrampu ⁴	2.5	2.35
Grosella ⁴	2.01	3.57

Fuente: Villalba et al.3, Ccatamayo y Valderrama4

Tabla 22. Comparación de características fisicoquímicas de macha macha con otras frutas.

Análisis	Macha macha	Ayrampu ⁴	Aguaymanto ⁵
Humedad	84.760	79.52	80.2
Ceniza	0.478	2.68	1.58
Proteína	0.897	1.11	0.58
Grasa	0.536	1.35	0.57
Carbohidratos	13.329	12.63	16.47

Fuente: Ccatamayo y Valderrama⁴, Gallo⁵

Comparación del contenido de antocianinas totales del fruto de macha macha con otras frutas del genero vaccinium.

El contenido de antocianinas totales expresados como (mg cianidina/ g muestra) (Tabla 12), encontradas en los frutos de macha macha (*Vaccinium floribundum Kunth*), es alto con un valor de (1053.2) comparado con los reportados para los frutos del genero vaccinium el contenido de antocianinas totales reportan valores de: 300-600 para el arándano americano (*Vaccinium myrtillus*, *L*)⁶, 60 – 480 para el Mora azul (*Vaccinium different sub-genera*)⁶, 20-360 para Arándano (*Vaccinium oxycoccus*, *L*)⁶, 35-170 para arándano rojo (Vaccinium vitis-idaea, L)⁶, 92-235 para el Northern Highbush blueberry (*Vaccinium corymbosum*)⁷, 60 – 187 para el Rabbiteye blueberry (*Vaccinium ashei*) ⁸, 290 – 300 para Lowbush blueberry (*Vaccinium angustifolium*) ⁹ y 371 – 630 para el deerberry (*Vaccinium stamineum*)¹⁰.

Tabla 23. Comparación del contenido de antocianinas del fruto de macha macha con otras frutas del genero vaccinium.

Frutillas	Especie	Antocianinas (mg / 100g muestra)
Fruto de macha macha verde	Vaccinium floribundum Kunth.	51.9
Fruto de macha macha pintón	Vaccinium floribundum Kunth.	424.2
Fruto dema chamacha maduro	Vaccinium floribundum Kunth.	1053.2
arándano americano	Vaccinium myrtillus, L	300-6006
Mora azul	Vaccinium (different sub-genera)	60-4806
Arándano	Vaccinium oxycoccus, L	20-3606
Arándano rojo	Vaccinium vitis-idaea, L	35-170 ⁶
Northern Highbush blueberry	Vaccinium corymbosum	92 – 2357
Rabbiteye blueberry	Vaccinium ashei	60 – 1878
Lowbush blueberry	Vaccinium angustifolium	290 – 300 ⁹
Deerberry	Vaccinium stamineum	371 – 63010

Fuente: Rein, et al.6, Prior, et al.7, Kalt y Dufour 8, Capocasa, et al.9, Wang y Ballington 10.

Comparación de la capacidad antioxidante del fruto de macha macha con frutos de otras especies.

Los frutos del genero Vaccinium, se caracterizan por poseer una gran cantidad de diferentes compuestos con actividad antioxidante¹¹.

La capacidad antioxidante que presenta el fruto de macha macha es alta en comparación a otros frutos como la mora, uva, acai, guayaba y fresa que presentan una actividad antioxidante que varian de (4.3 a 7.0) umol TE/g muestra.

Tabla 24. Comparación de la capacidad antioxidante del fruto de macha macha con frutos de otras especies.

MUESTRAS	DPPH TEAC
Fruto de macha macha verde (M1)	177.5850
Fruto de macha macha pinton (M1)	129.0650
Fruto de macha macha maduro (M1)	49.3709
Mora ¹²	4.3
Uva ¹²	7.0
Açaí ¹²	6.9
Guayaba ¹²	5.9
Fresa ¹²	9.2

Fuente: Kuskoski, et al.12

aTEAC: actividad antioxidante equivalente al Trolox (µmol TE/g peso muestra).

CONCLUSIONES

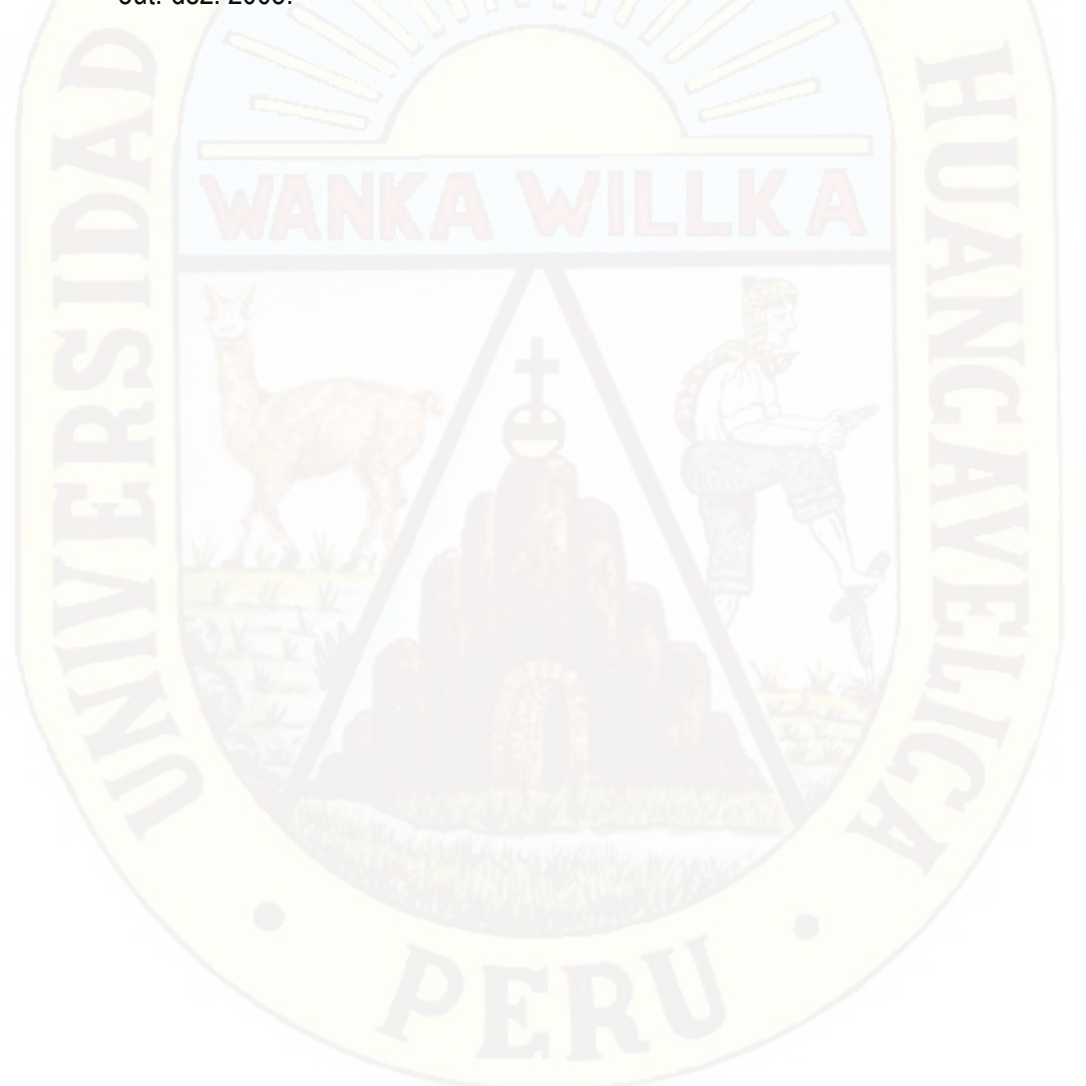
- ➤ El fruto de macha macha que presentó el mayor contenido de antocianinas totales fue la madura con 10.532 (mg de Cianidina/g de muestra)
- Se observó diferencia del contenido de antocianinas totales entre los diferentes estados de maduración de los frutos de macha macha. El contenido de antocianinas totales se incrementó de 0.519 hasta 10.532 (mg de Cianidina/g de muestra) al avanzar la maduración.
- Se observó diferencia en su actividad antioxidante entre los diferentes estados de maduración de los frutos de macha macha.
- La mayor actividad antioxidante lo presentó el extracto del fruto pintón, con 569.3637 Umol TE/g muestra frente al radical DPPH.
- ➤ EL análisis fisicoquímico del fruto de macha macha en estado maduro contiene: pH 4.67, humedad 84.760%, acidez (expresado como ácido cítrico) 0,028, grasa 0.536%, proteína 0.897%, Cenizas 0,478%, carbohidratos totales 13.329%.

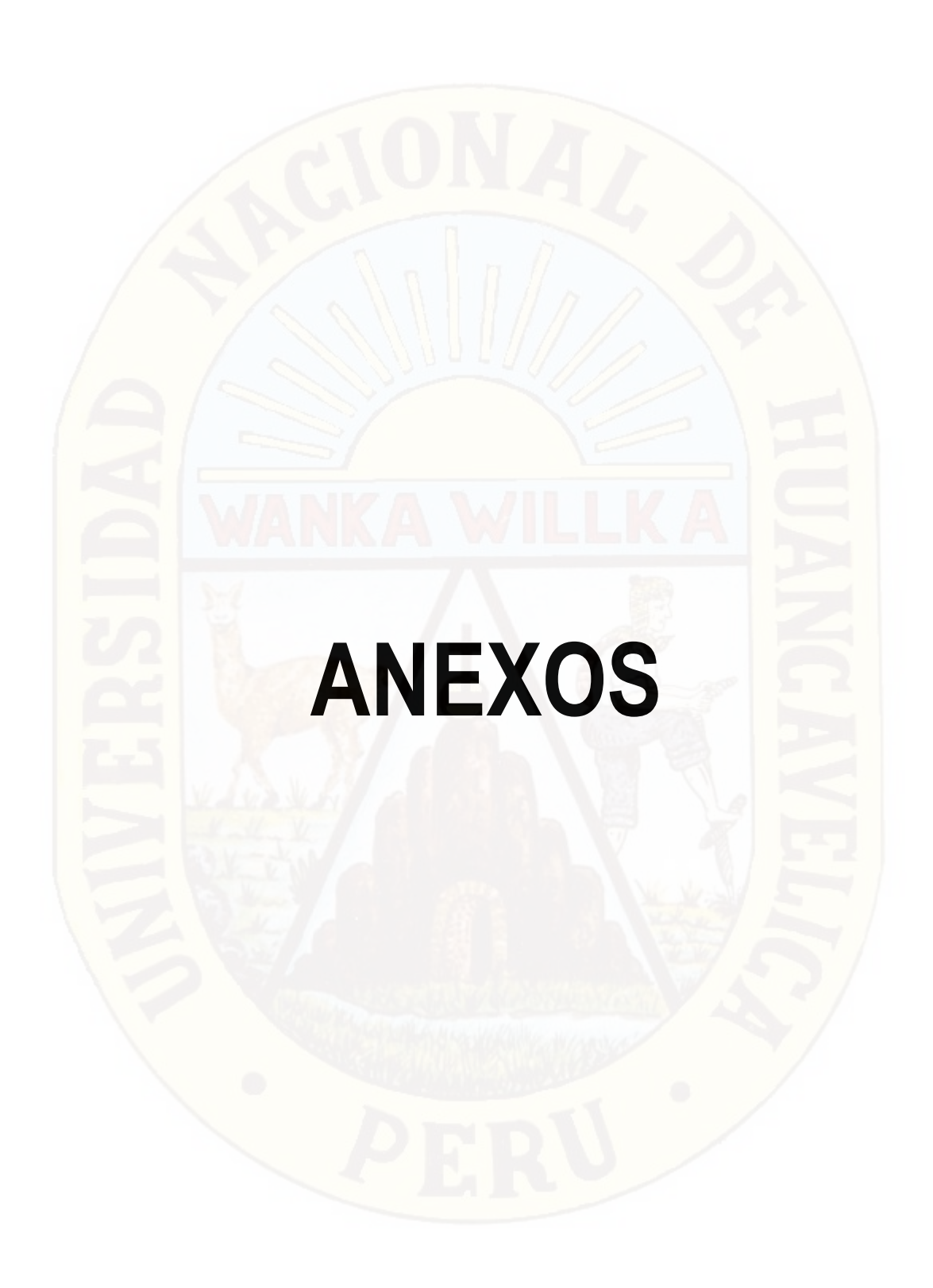
REFERENCIAS BIBLIOGRÁFICAS

- 1. Brand-Willliams W, Cuvelier M.E, Berset C. Use of free radical method to evaluate antioxidant activity. Lebensm. Wiss. Technol., 22, 25-30, 1995.
- Martínez-Cruz NS et.al. Antocianinas y actividad anti radicales libres de RubusadenotrichusSchltdl (zarzamora). Revista mexicana de ciencias farmacéuticas. Volumen 42, número 4, 2011.
- 3. Villalba M, Yepes I, y Arrázola G. (2005). Caracterización fisicoquímica de frutas de la zona del sinu para su agroindustrialización. Temas agrarios, 09.
- Ccatamayo G, Valderrama V. Aprovechamiento agroindustrial del ayrampu (Berberis sp.) en el procesamiento de una bebida funcional para la seguridad alimentaria. Universidad Nacional de Huancavelica, 15. 2010.
- Gallo E. Carotenoides, fenoles totales y actividad antioxidante en el aguaymanto (*Physalis peruviana L.*). Ayacucho: Tesis Universidad Nacional San Cristóbal de Huamanga. 2006.
- Rein M. Copigmentation Reactions and Color Stability of Berry Anthocyanins.
 University of Helsinki: Depertment of Applied Chemistry and Microbiology. Food Chemistry Division. Tesis. 2005.
- Prior RL, Cao G, Martin A, Sofic E, McEwen J, O'Brien Ch, Lischner N, Ehlenfeldt M, Kalt W, Krewer G, Mainland CM. 1998. Antioxidant capacity as influenced by total phenolic and anthocyanin content, maturity, and variety of Vaccinium species. J Agr Food Chem 46(7):2686-2693.
- 8. Kalt W, Dufour D. Health functionality of blueberries. Hortechnology 7:216-221.
- 9. Capocasa F, Scalzo J, Mezzetti B, Battino M. Combining quality and antioxidant attributes in the strawberry: The role of genotype. Food Chem 111:872-878. 2008.
- 10. Wang SY, Ballington JR. Free radical scavenging capacity and antioxidant enzyme activity in deerberry (*Vaccinium stamineum I.*). Food Sci Technol Today Shanta NC, Decker EA. 1994. Rapid, sensitive, iron-based 73:1352-1361. 2007.

11. Beccaro G, Mellano MG, Botta R, Chiabrando V, Bounous G. Phenolic and anthocyanin content and antioxidant activity in fruits of bilberry (*Vaccinium myrtillus L.*) and of highbush blueberry (*V. corymbosum L.*) cultivars in North Western Italy. Acta Horticult 715:553-558. 2006.

12. Kuskoski, et al. Aplicación de diversos métodos químicos para determinar actividad antioxidante en pulpa de frutos. Ciênc. Tecnol. Aliment., Campinas, 25(4): 726-732, out.-dez. 2005.







2.

UNIVERSIDAD NACIONAL DE INGENIERÍA FACULTAD DE CIENCIAS

LABICER (Laboratorio Nº 12)

ANÁLISIS QUÍMICO, CONSULTORÍA E INVESTIGACIÓN



INFORME TÉCNICO Nº 1020 - 16 - LAB. 12

DATOS DEL SOLICITANTE

NOMBRE DEL SOLICITANTE 1.1 PETER LLIMPE PEREZ

FECHA DE EMISIÓN 06/07/2016

ANÁLISIS SOLICITADO 3. ANÁLISIS EN FRUTO DE PLANTA "Macha macha"

DATOS REFERENCIALES DE LA MUESTRA SEGÚN EL SOLICITANTE

IDENTIFICACIÓN DE LA MUESTRA 03 MUESTRAS DE FRUTOS DE LA PLANTA "Macha macha"

44393870

MUESTRA	DESCRIPCIÓN
M1	Fruto de planta "Macha macha". Muestra verde.
M2	Fruto de planta "Macha macha". Muestra pintón.
M3	Fruto de planta "Macha macha".

DATOS DEL ESTÁNDAR DE TROLOX

5.1 NOMBRE DEL PRODUCTO 6-hidroxi-2,5,7,8-tetrametilcromo-2-ácido carboxílico

5.2 CODIFICACIÓN DEL PRODUCTO 238813 5.3 NÚMERO DE LOTE BCBR7575V

MARCA 5.4 ALDRICH 5.5 CAS 53188-07-1 5.6 GRADO DE PUREZA 98.2%

6. LUGAR DE RECEPCIÓN DE LA MUESTRA LABORATORIO Nº12 - FACULTAD DE CIENCIAS

CONDICIONES AMBIENTALES 7. Temperatura: 23.1°C; Humedad relativa: 61 %

MÉTODO UTILIZADO CROMATOGRAFÍA LÍQUIDA DE ALTO RENDIMIENTO.

DOCUMENTOS DE REFERENCIA

[9.1] Antocianinas y actividad anti radicales libres de Rubus adenotrichus Schltdl (zarzamora). Nieves del Socorro Martinez-Cruz, et.al. Revista mexicana de ciencias farmacéuticas. Volumen 42, número 4, 2011. [9.2] Aplicación de diversos métodos químicos para determinar actividad antioxidante en pulpa de frutos. E. Marta Kuskoski, et.al. Ciênc. Tecnol. Aliment., Campinas, 25(4): 726-732, out.-dez. 2005.

EQUIPOS UTILIZADOS

ESPECTROFOTÓMETRO UV-VISIBLE. SHIMADZU, UV-1800. CÁMARA DE TEMPERATURA Y HUMEDAD CONTROLADAS. ESPEC. EQUIPO ULTRASONIDO, WISD Laboratory Instruments. ROTAVAPOR, BUCHI. MOLINO CRIOGÉNICO, Freezer/Mill. SPEX SamplePrep 6870D. HORNO ELECTRICO, POL-EKO. SLN 32-ECO.

EQUIPO DE AGUA DESIONIZADA. HIDROMAQ. BALANZA ANALÍTICA DIGITAL. SARTORIUS, CPA225D.

11. REACTIVOS UTILIZADOS

- Estándar Trolox (6-hidroxi-2,5,7,8-tetrametilcromo-2-ácido carboxílico), 98.2%, adquirido de SIGMA ALDRICH.
- Reactivo DPPH (2,2-difenil-1-picrilhidracil), adquirido de SIGMA ALDRICH.
- Metanol P.A., adquirido de MERCK PERUANA.
 Ácido clorhídrico P.A., adquirido de MERCK PERUANA.
- Agua desionizada, Tipo II, obtenida del equipo desionizador HIDROMAQ.

INFORME TÉCNICO Nº 1020-16- LAB. 12

Página 1 de 30

Av. Túpac Amaru 210 Lima 31, Perú. Central: 481 1070 anexo 316. Telefax: 382 0500. E-mail: otilia@uni.edu.pe

RESULTADOS EXPERIMENTALES

12.1 DETERMINACIÓN DE ANTOCIANINAS POR EL MÉTODO DE PH DIFERENCIAL [9.1]

Repetición		ontenido de antocianinas monoméricas (mg de Cianidina/g de muestra seca)			Contenido de antocianinas totales (mg de Cianidina/g de muestra secal		
	M1	M2	M3	M1	M2	M3	
1	0.235	3.507	9.145	0.520	4.244	10.531	
2	0.225	3.491	9.125	0.520	4.246	10.516	
3	0.230	3.501	9.146	0.516	4.236	10.550	
Promedio	0.230	3.499	9.139	0.519	4.242	10.532	
D.S.	0.005	0.008	0.012	0.002	0.005	0.017	
R.S.D., %	2.037	0.225	0.131	0.450	0.129	0.164	

^{*}Ver Anexos (item 14.1.2).

12.2 DETERMINACIÓN DE CAPACIDAD ANTIOXIDANTE POR EL MÉTODO DPPH [9.2]

Muestra	umol TE/ g muestra húmeda	umol TE/ g muestra seca
M1	177.5850	569.3637
M2	129.0650	550.1427
M3	49.3709	323,9630

El Laboratorio no se responsabiliza del muestreo ni de la procedencia de la muestra.

Ver Anexos (flem 14.1.3).
TEAC: Actividad antioxidante equivalente al Trolox (umol TE/g muestra), TE: Trolox Equivalent

VALIDEZ DEL INFORME TÉCNICO

El Informe técnico es válido solo para la muestra y las condiciones indicadas en los ítems del uno (1) al cuatro (4) del presente informe técnico.

Bach. Nadia Rodríguez Analista Químico LABICER - UNI

Quim. Yemerson M. Bartolo Ch. Analista Químico LABICER - UNI

Responsable de Análisis **CQP 202**



UNIVERSIDAD NACIONAL DE INGENIERÍA FACULTAD DE CIENCIAS

LABICER (Laboratorio № 12)

ANÁLISIS QUÍMICO, CONSULTORÍA E INVESTIGACIÓN



0INFORME TÉCNICO Nº 1020 - A - 16 - LAB. 12

DATOS DEL SOLICITANTE

NOMBRE DEL SOLICITANTE

PETER LLIMPE PEREZ 44393870

1.2 D.N.I.

6.

2 FECHA DE EMISIÓN

06/07/2016

3. ANÁLISIS SOLICITADO ANÁLISIS EN FRUTO DE PLANTA "Macha macha"

DATOS REFERENCIALES DE LA MUESTRA SEGÚN EL SOLICITANTE
IDENTIFICACIÓN DE LA MUESTRA : 01 MUESTRA DEFRUTO DE LA PLANTA "Macha macha"

4.1

MUESTRA MADURA

LUGAR DE RECEPCIÓN DE LA MUESTRA 5. CONDICIONES AMBIENTALES

LABORATORIO N°12 - FACULTAD DE CIENCIAS

Temperatura: 23.1°C; Humedad relativa: 61 %

7. **EQUIPOS UTILIZADOS**

- POTENCIÓMETRO ORION VERSA STAR
- ELECTRODOTRIODE REFILLABLE PH ORIÓN 9157BNMD
- ROTAVAPOR, BUCHI.
- EQUIPO DE AGUA DESIONIZADA. HIDROMAQ.
- BALANZA ANALÍTICA DIGITAL. SARTORIUS, CPA225D.
- MANTA DE CALENTAMIENTO WISD

RESULTADOS EXPERIMENTALES

ANALISIS	RESULTADO	METODO DE REFERENCIA
рН	4.67	AOAC 945.27
Humedad, %	84.760	AOAC 934.06
Acidez, (expresado como ácido cítrico)	0.028	AOAC 942.15
Grasa, %	0.536	NTE INEN 523
Proteína, %	0.897	NTE INEN 16
Cenizas, %	0.478	INEN 401
Carbohidratos totales, %	13.329	Calculado*

^{*} Método de referencia para el cálculo de carbohidratos totales: http://www.fao.org/docrep/006/y5022e/y5022e03.htm

VALIDEZ DEL INFORME TÉCNICO

El Informe técnico es válido solo para la muestra y las condiciones indicadas en los ítems del uno (1) al cuatro (4) del presente informe técnico.

Quim. Yemerson M. Bartolo Ch. Analista Químico

de la Laboratorio Résponsable de Análisis **CQP 202**

El Laboratorio no se responsabiliza del muestreo ni de la procedencia de la muestra

INFORME TÉCNICO Nº 1020-16- LAB. 12

Página 1 de 3

Av. Túpac Amaru 210 Lima 31, Perú. Central: 481 1070 anexo 316. Telefax: 382 0500. E-mail: otilia@uni.edu.pe

Procedimientos de determinación del contenido de antocianinas en el fruto de macha macha (*Vaccinium floribundum Kunth*).

1. PREPARACIÓN DE LA MUESTRA

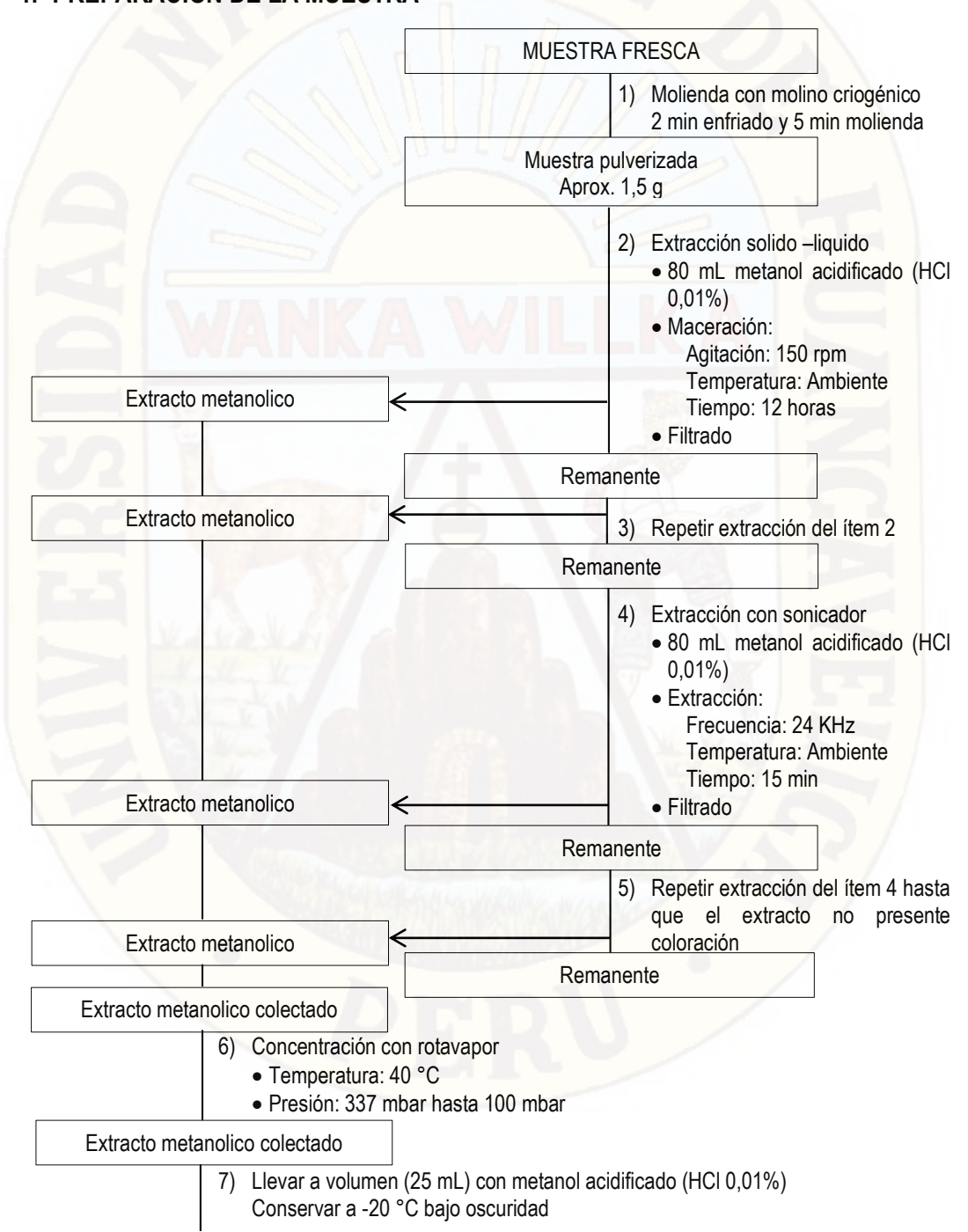


Figura 1. Diagrama de procesos para la preparación de muestra

CUANTIFICACIÓN DE ANTOCIANINAS POR pH DIFERENCIAL

1. PROCEDIMIENTO

La cuantificación de antocianinas se realizó por el método de pH diferencial, el cual es un método espectrofotométrico que se basa en la transformación estructural de las antocianinas con el cambio de pH (pH 1 coloreadas pH 4.5 incoloras). Se prepararon diluciones del extracto metanólico con solución buffer pH 1.0 de cloruro de potasio y con solución buffer pH 4.5 de acetato de sodio. Se midió la absorbancia de cada muestra a la longitud de onda de máxima absorbancia y a 700 nm.

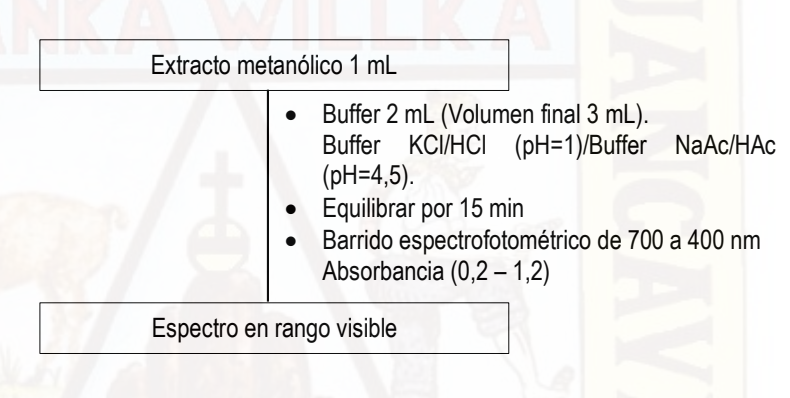


Figura 2. Diagrama de procesos para la cuantificación de antocianinas

2. CÁLCULOS

Para el cálculo del contenido de antocianinas se utiliza la masa y la absorbancia molar del pigmento antociano presente en mayor proporción, en este caso es la cianidina (M 449.2 y ε 26900).

La concentración de antocianinas totales se obtuvo de la siguiente ecuación:

Antocianinas monomericas (mg cianidina/ g muestra) = $\{(A)(M)(FD)(V)(1000)\}/\{\epsilon(L)(W)\}...(Ec. 01)$

Dónde:

A: Absorbancia de cada muestra a la longitud de onda de máxima absorbancia

M: Masa molar

FD: Factor de dilución

V: Volumen de la fiola (25 mL)

- ε: Absorbancia molar o coeficiente de extintor molar
- L: Longitud de corrido en cm (L=1 cm)

W: Masa de la muestra seca

Para la ecuación 01 se utiliza:

A) La ecuación de Lambert-Beer:

$$C = A/\epsilon L...(Ec. 02)$$

Dónde:

C: Concentración molar

A: Absorbancia

ε: Absorbancia molar o coeficiente de extintor molar

L: Longitud de corrido en cm

W: Masa de la muestra seca

B) La absorbancia (A):

$$A = (A_{\lambda max} - A_{700})_{pH=1.0} - (A_{\lambda max} - A_{700})_{pH=4.5...}$$
 (Ec. 03)

La concentración de antocianinas totales se obtuvo de la siguiente ecuación:

Antocianinas totales (mg cianidina/ g muestra) = $\{(A')(M)(FD)(V)(1000)\}/\{\epsilon(L)(W)\}...(Ec. 04)$

Donde la absorbancia (A') se calculó con la ecuación 05:

 $A' = (A_{\lambda max} - A_{700})_{pH=1.0...}$ (Ec. 05)

CAPACIDAD ANTIOXIDANTE POR DPPH

1. PROCEDIMIENTO

Este método, desarrollado por ⁴⁷, se basa en la reducción de la absorbancia medida a 517 nm del radical DPPH•, por antioxidantes. Con modificaciones en el método descrito por ⁴⁸, se basa en la medida de la absorbancia del radical DPPH• a 200 μM disuelto en metanol al 80%, a la longitud de onda de 517 nm. Se añade la muestra o estándar trolox, la mezcla se homogeniza cuidadosamente, y se mantiene en la oscuridad durante 30 minutos. El antioxidante sintético de referencia Trolox, a una concentración final de 0-24 μM (Tabla 12) en disolución de metanol al 80%, se ensaya en las mismas, expresándose los resultados en TEAC. La concentración de las muestras en el medio de reacción se calcula a partir de la curva de calibración obtenida por regresión lineal. Los resultados se expresan en TEAC, o sea, actividad antioxidante equivalente a trolox (μmol TE/g de muestra peso seco).

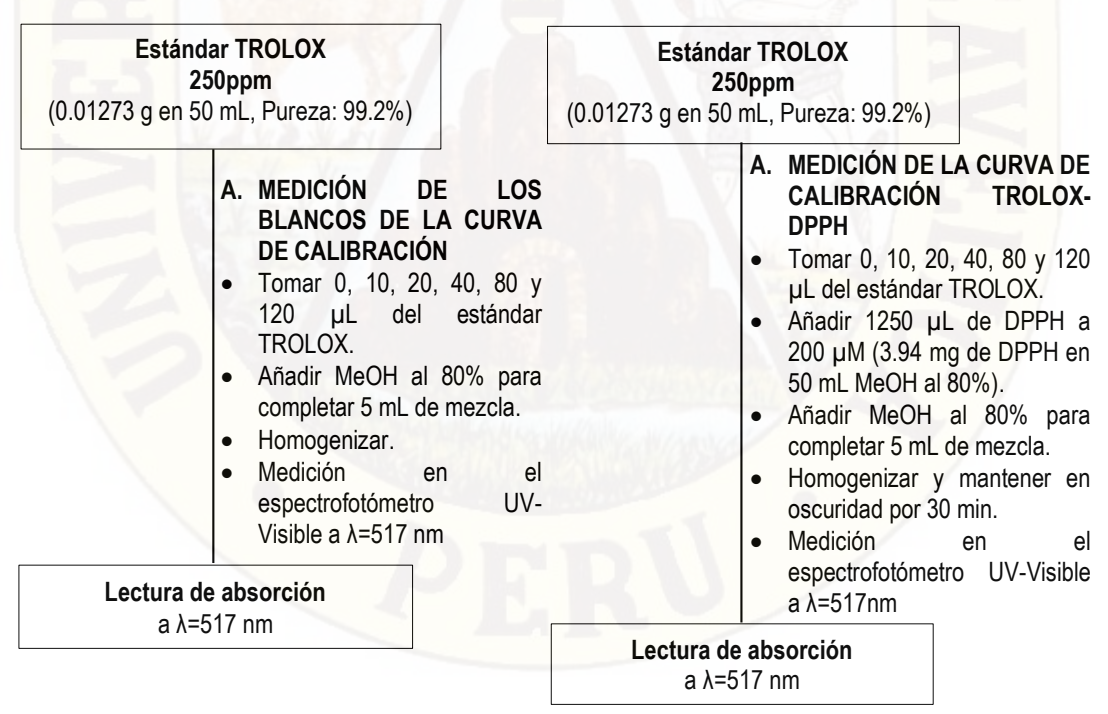


Figura 3. Diagramas de procesos para la preparación de la curva de calibración de TROLOX.

Extracto metanolico diluido (500ppm, 200 µL)

Extracto metanolico diluido (500ppm, 200 µL)

A. MEDICIÓN DE LOS BLANCOS DE LAS MUESTRAS

- Añadir MeOH al 80% para completar 5 mL de mezcla.
- Homogenizar.
- Medición en el espectrofotómetro UV-Visible a λ=517 nm

1. MEDICIÓN DE LA MUESTRAS CON DPPH • Añadir 1250 ul de DPP

- Añadir 1250 µL de DPPH a 200 µM (3.94 mg de DPPH en 50 mL MeOH al 80%).
- Añadir MeOH al 80% para completar 5 mL de mezcla.
- Homogenizar y mantener en oscuridad por 30 min.
- Medición en el espectrofotómetro UV-Visible a λ=517 nm

Lectura de absorción a λ=517 nm

> Lectura de absorción a λ=517 nm

Figura 4. Diagramas de procesos para la preparación de la curva de calibración de TROLOX

Tabla 1. Mezcla de reacción para la Curva de Calibración TROLOX

μL Trolox	µL DPPH	μL MeOH	μL Total	Concentración
250ppm	200 μM	al 80%	Mezcla de	final, µM
617			reacción	
0	1250	3750	5000	0.0
10	1250	3740	5000	2.0
20	1250	3730	5000	4.0
40	1250	3710	5000	8.0
80	1250	3670	5000	16.0
120	1250	3630	5000	24.0

Tabla 2. Mezcla de reacción para las muestras

Muestra	μL Muestra 500ppm	µL DPPH 200 µM	μL MeOH al 80%	μL Total Mezcla de reacción
M1	200	1250	3550	5000
M2	200	1250	3550	5000
M3	200	1250	3550	5000

 Tabla 3. Concentración del Trolox y sus respectivas Absorbancias

Concentración Trolox, Um	Absorbancia λ=517 nm
0.0	0.567
2.0	0.528
4.0	0.484
8.0	0.378
16.0	0.187
24.0	0.022

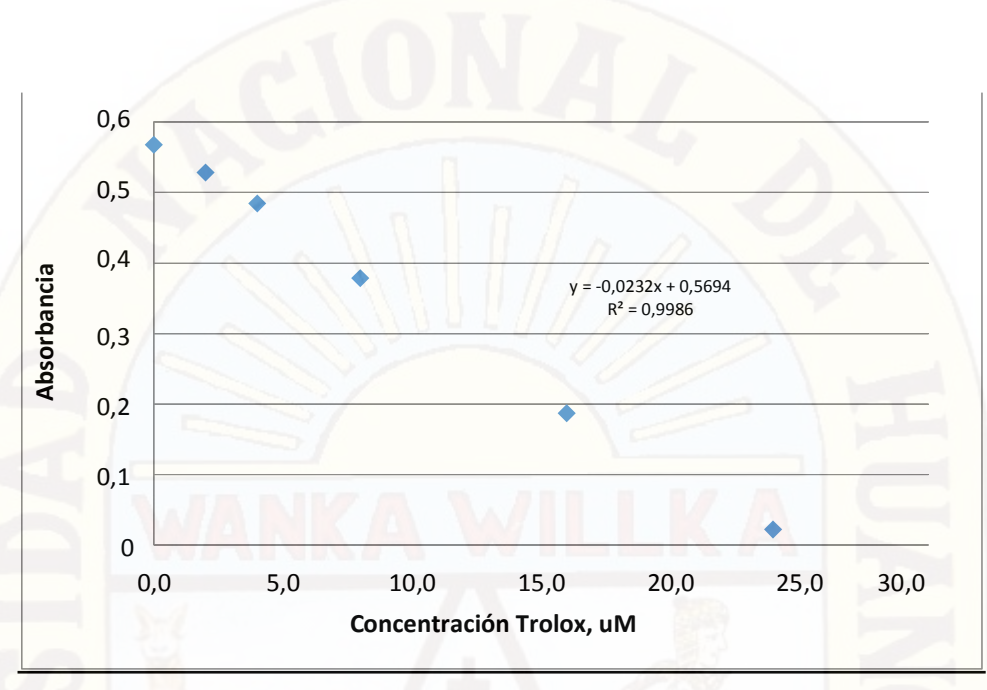


Figura 5. Curva de Calibración de Trolox-DPPH

Tabla 4. Resultados de las Absorbancias de las muestras

Muestra	Absorbancia del Blanco de la muestra λ=517 nm	Absorbancia del Reacción de la muestra con DPPH λ=517 nm
M1	0.001	0.361
M2	0.001	0.368
M3	0.001	0.451

Tabla 5. Resultados de Humedad de las muestras (Secado a 40°C, 2 semanas)

Muestra	Humedad %
M1	68.81
M2	76.54
M3	84.76

Tabla 6. Resultados de las curvas espectofotometricas de las muestras M1, M2 y M3 en el rango de 400 a 700 nm

Long de onda					Abs	orbancias	11/1		11/		1	C						
(nm)	M1.1 pH1	M1.1 pH4.5	M1.2 pH1	M1.2 pH4.5	M1.3 pH1	M1.3 pH4.5	M2.1 pH1	M2.1 pH4.5	M2.2 pH1	M2.2 pH4.5	M2.3 pH1	M2.3 pH4.5	M3.1 pH1	M3.1 pH4.5	M3.2 pH1	M3.2 pH4.5	M3.3 pH1	M3.3 pH4.5
400	0,316	0,329	0,318	0,339	0,318	0,333	0,418	0,369	0,418	0,378	0,418	0,375	0,43	0,315	0,447	0,314	0,446	0,33
400,5	0,31	0,323	0,312	0,332	0,312	0,326	0,413	0,363	0,413	0,372	0,413	0,369	0,427	0,31	0,444	0,309	0,443	0,325
401	0,304	0,317	0,306	0,326	0,307	0,32	0,409	0,357	0,408	0,366	0,408	0,363	0,424	0,306	0,441	0,305	0,44	0,321
401,5	0,299	0,31	0,3	0,319	0,301	0,313	0,404	0,351	0,404	0,36	0,404	0,357	0,421	0,301	0,438	0,3	0,437	0,316
402	0,293	0,304	0,295	0,313	0,295	0,307	0,399	0,345	0,399	0,354	0,399	0,351	0,419	0,297	0,436	0,296	0,434	0,312
402,5	0,288	0,299	0,289	0,307	0,29	0,302	0,395	0,34	0,395	0,348	0,395	0,345	0,416	0,293	0,433	0,292	0,432	0,307
403	0,283	0,294	0,285	0,302	0,285	0,297	0,391	0,335	0,391	0,343	0,391	0,34	0,414	0,289	0,431	0,288	0,43	0,304
403,5	0,278	0,288	0,28	0,297	0,28	0,292	0,387	0,33	0,387	0,338	0,387	0,335	0,412	0,285	0,428	0,284	0,427	0,3
404	0,273	0,283	0,275	0,292	0,276	0,287	0,384	0,325	0,383	0,333	0,383	0,33	0,41	0,281	0,426	0,281	0,425	0,296
404,5	0,269	0,278	0,27	0,286	0,271	0,281	0,38	0,32	0,38	0,328	0,38	0,325	0,408	0,277	0,424	0,277	0,423	0,292
405	0,264	0,273	0,266	0,281	0,266	0,276	0,376	0,315	0,376	0,323	0,376	0,32	0,406	0,274	0,422	0,273	0,421	0,289
405,5	0,26	0,268	0,261	0,276	0,262	0,272	0,373	0,31	0,372	0,318	0,372	0,315	0,405	0,27	0,42	0,269	0,419	0,285
406	0,255	0,264	0,257	0,271	0,258	0,267	0,369	0,305	0,369	0,313	0,369	0,31	0,403	0,267	0,419	0,266	0,418	0,281
406,5	0,251	0,259	0,253	0,267	0,253	0,262	0,366	0,301	0,366	0,309	0,366	0,306	0,401	0,263	0,417	0,263	0,416	0,278
407	0,247	0,255	0,249	0,262	0,25	0,258	0,363	0,297	0,363	0,305	0,363	0,302	0,4	0,26	0,415	0,26	0,414	0,275
407,5	0,243	0,25	0,245	0,258	0,246	0,254	0,36	0,293	0,36	0,3	0,36	0,298	0,399	0,257	0,414	0,257	0,413	0,272
408	0,24	0,247	0,241	0,254	0,242	0,25	0,358	0,289	0,358	0,297	0,358	0,294	0,398	0,254	0,413	0,254	0,412	0,269
408,5	0,237	0,243	0,238	0,25	0,239	0,246	0,355	0,286	0,355	0,293	0,355	0,29	0,397	0,251	0,412	0,251	0,41	0,266
409	0,233	0,239	0,235	0,246	0,235	0,243	0,353	0,282	0,353	0,289	0,353	0,286	0,396	0,249	0,411	0,248	0,409	0,263
409,5	0,23	0,235	0,231	0,243	0,232	0,239	0,351	0,278	0,351	0,286	0,351	0,283	0,395	0,246	0,409	0,245	0,408	0,261
410	0,227	0,232	0,228	0,239	0,229	0,236	0,349	0,275	0,348	0,282	0,348	0,279	0,394	0,243	0,409	0,243	0,407	0,258
410,5	0,224	0,228	0,225	0,236	0,226	0,232	0,346	0,272	0,346	0,279	0,346	0,276	0,393	0,241	0,408	0,241	0,406	0,256
411	0,221	0,225	0,222	0,232	0,223	0,229	0,344	0,268	0,344	0,275	0,344	0,273	0,392	0,238	0,407	0,238	0,406	0,253
411,5	0,217	0,222	0,219	0,228	0,22	0,226	0,343	0,265	0,342	0,272	0,342	0,269	0,392	0,236	0,406	0,236	0,405	0,251
412	0,215	0,218	0,216	0,225	0,217	0,223	0,341	0,262	0,341	0,269	0,341	0,266	0,391	0,234	0,406	0,233	0,404	0,248
412,5	0,212	0,216	0,214	0,223	0,214	0,22	0,339	0,26	0,339	0,266	0,339	0,264	0,391	0,232	0,405	0,231	0,404	0,246
413	0,21	0,213	0,212	0,22	0,212	0,217	0,338	0,257	0,338	0,264	0,338	0,261	0,39	0,23	0,405	0,23	0,403	0,244
413,5	0,208	0,21	0,209	0,217	0,21	0,214	0,336	0,254	0,336	0,261	0,336	0,258	0,39	0,228	0,404	0,227	0,403	0,242
414	0,205	0,207	0,206	0,214	0,207	0,211	0,335	0,251	0,335	0,258	0,335	0,255	0,39	0,226	0,404	0,225	0,402	0,24

		To a second		T					144				1	1	Tarana a		T	
414,5	0,202	0,204	0,204	0,211	0,205	0,208	0,333	0,249	0,333	0,255	0,333	0,252	0,389	0,224	0,404	0,223	0,402	0,238
415	0,2	0,202	0,202	0,208	0,202	0,206	0,332	0,246	0,332	0,252	0,332	0,25	0,389	0,222	0,403	0,221	0,402	0,236
415,5	0,198	0,199	0,199	0,205	0,2	0,203	0,331	0,244	0,331	0,25	0,331	0,248	0,389	0,22	0,403	0,22	0,402	0,234
416	0,196	0,197	0,198	0,203	0,198	0,201	0,33	0,242	0,33	0,248	0,33	0,245	0,389	0,218	0,403	0,218	0,401	0,233
416,5	0,194	0,194	0,195	0,201	0,196	0,199	0,329	0,239	0,329	0,245	0,329	0,243	0,389	0,217	0,403	0,216	0,401	0,231
417	0,192	0,192	0,193	0,198	0,194	0,196	0,328	0,237	0,328	0,243	0,327	0,24	0,389	0,215	0,403	0,214	0,401	0,229
417,5	0,19	0,189	0,191	0,195	0,192	0,194	0,327	0,235	0,327	0,241	0,327	0,238	0,389	0,213	0,403	0,213	0,401	0,227
418	0,188	0,187	0,19	0,193	0,19	0,192	0,326	0,233	0,326	0,239	0,326	0,236	0,389	0,212	0,403	0,211	0,401	0,226
418,5	0,186	0,185	0,188	0,191	0,188	0,19	0,325	0,231	0,325	0,237	0,325	0,234	0,389	0,21	0,403	0,21	0,401	0,225
419	0,184	0,183	0,186	0,189	0,186	0,187	0,324	0,229	0,324	0,235	0,324	0,232	0,39	0,209	0,403	0,208	0,401	0,223
419,5	0,182	0,181	0,184	0,187	0,185	0,186	0,324	0,227	0,324	0,233	0,323	0,23	0,39	0,207	0,403	0,207	0,401	0,222
420	0,181	0,179	0,182	0,185	0,183	0,184	0,323	0,225	0,323	0,231	0,323	0,228	0,39	0,206	0,404	0,206	0,402	0,221
420,5	0,179	0,177	0,18	0,183	0,181	0,182	0,322	0,223	0,322	0,229	0,322	0,227	0,39	0,205	0,404	0,204	0,402	0,219
421	0,177	0,175	0,179	0,181	0,179	0,18	0,322	0,222	0,322	0,227	0,322	0,225	0,391	0,204	0,404	0,203	0,402	0,218
421,5	0,176	0,173	0,177	0,179	0,178	0,178	0,321	0,22	0,321	0,225	0,321	0,223	0,391	0,202	0,404	0,202	0,402	0,217
422	0,174	0,171	0,176	0,177	0,176	0,176	0,321	0,218	0,321	0,224	0,32	0,221	0,391	0,201	0,405	0,201	0,403	0,215
422,5	0,173	0,17	0,174	0,175	0,175	0,174	0,32	0,216	0,32	0,222	0,32	0,22	0,392	0,2	0,405	0,2	0,403	0,214
423	0,171	0,168	0,173	0,174	0,173	0,173	0,32	0,215	0,32	0,221	0,32	0,218	0,392	0,199	0,406	0,198	0,403	0,213
423,5	0,17	0,166	0,171	0,172	0,172	0,171	0,319	0,214	0,319	0,219	0,319	0,217	0,393	0,198	0,406	0,197	0,404	0,212
424	0,168	0,165	0,17	0,171	0,171	0,169	0,319	0,212	0,319	0,218	0,319	0,215	0,393	0,196	0,406	0,196	0,404	0,211
424,5	0,167	0,163	0,168	0,169	0,169	0,168	0,319	0,211	0,319	0,216	0,319	0,214	0,394	0,195	0,407	0,195	0,405	0,21
425	0,165	0,162	0,167	0,167	0,168	0,166	0,318	0,209	0,318	0,215	0,318	0,212	0,394	0,194	0,407	0,194	0,405	0,209
425,5	0,164	0,16	0,166	0,166	0,166	0,165	0,318	0,208	0,318	0,213	0,318	0,211	0,395	0,193	0,408	0,193	0,406	0,208
426	0,163	0,158	0,164	0,164	0,165	0,163	0,318	0,206	0,318	0,212	0,318	0,209	0,395	0,192	0,408	0,192	0,406	0,207
426,5	0,162	0,157	0,163	0,163	0,164	0,162	0,318	0,205	0,318	0,21	0,318	0,208	0,396	0,191	0,409	0,191	0,407	0,206
427	0,16	0,156	0,162	0,161	0,163	0,161	0,317	0,204	0,318	0,209	0,318	0,207	0,397	0,19	0,41	0,19	0,407	0,205
427,5	0,159	0,154	0,161	0,16	0,161	0,159	0,317	0,202	0,317	0,208	0,317	0,205	0,397	0,189	0,41	0,189	0,408	0,204
428	0,158	0,153	0,159	0,158	0,16	0,158	0,317	0,201	0,317	0,206	0,317	0,204	0,398	0,188	0,411	0,188	0,408	0,203
428,5	0,157	0,151	0,158	0,157	0,159	0,156	0,317	0,2	0,317	0,205	0,317	0,203	0,399	0,187	0,411	0,187	0,409	0,202
429	0,155	0,15	0,157	0,156	0,158	0,155	0,317	0,199	0,317	0,204	0,317	0,202	0,399	0,186	0,412	0,186	0,41	0,201
429,5	0,154	0,149	0,156	0,154	0,156	0,154	0,317	0,197	0,317	0,203	0,317	0,2	0,4	0,186	0,413	0,186	0,41	0,2
430	0,153	0,148	0,155	0,153	0,155	0,153	0,317	0,196	0,317	0,201	0,317	0,199	0,401	0,185	0,413	0,185	0,411	0,2
430,5	0,152	0,147	0,154	0,152	0,154	0,151	0,317	0,195	0,317	0,2	0,317	0,198	0,401	0,184	0,414	0,184	0,412	0,199
431	0,151	0,145	0,153	0,151	0,153	0,15	0,317	0,194	0,317	0,199	0,317	0,197	0,402	0,183	0,415	0,183	0,412	0,198
431,5	0,15	0,144	0,152	0,15	0,152	0,149	0,317	0,193	0,317	0,198	0,317	0,196	0,403	0,182	0,416	0,182	0,413	0,197
432	0,149	0,143	0,151	0,148	0,151	0,148	0,317	0,192	0,317	0,197	0,317	0,195	0,404	0,182	0,416	0,182	0,414	0,197
432,5	0,149	0,142	0,15	0,147	0,15	0,147	0,317	0,191	0,317	0,196	0,317	0,194	0,405	0,181	0,417	0,181	0,414	0,196
433	0,148	0,141	0,149	0,146	0,15	0,146	0,317	0,19	0,317	0,195	0,317	0,193	0,405	0,18	0,418	0,18	0,415	0,195
433,5	0,147	0,14	0,148	0,145	0,149	0,145	0,317	0,189	0,317	0,194	0,317	0,192	0,406	0,179	0,418	0,179	0,416	0,194
434	0,146	0,139	0,148	0,144	0,148	0,144	0,317	0,188	0,317	0,193	0,317	0,191	0,407	0,179	0,419	0,179	0,416	0,194
434,5	0,145	0,138	0,147	0,143	0,147	0,143	0,317	0,187	0,317	0,192	0,317	0,19	0,408	0,178	0,42	0,178	0,417	0,193
435	0,144	0,137	0,146	0,142	0,146	0,142	0,318	0,186	0,317	0,191	0,317	0,189	0,408	0,177	0,421	0,177	0,418	0,192
435,5	0,144	0,136	0,145	0,141	0,146	0,141	0,318	0,186	0,318	0,19	0,318	0,188	0,409	0,177	0,421	0,177	0,419	0,192
436	0,143	0,135	0,145	0,14	0,145	0,14	0,318	0,185	0,318	0,189	0,318	0,187	0,41	0,176	0,422	0,176	0,42	0,191

6,5	0,142	0,135	0,144	0,139	0,144	0,14	0,318	0,184	0,318	0,189	0,318	0,187	0,411	0,175	0,423	0,176	0,42	0,191
437	0,142	0,134	0,143	0,139	0,144	0,139	0,318	0,183	0,318	0,188	0,318	0,186	0,412	0,175	0,424	0,175	0,421	0,19
7,5	0,141	0,133	0,142	0,138	0,143	0,138	0,319	0,182	0,318	0,187	0,318	0,185	0,412	0,174	0,425	0,174	0,422	0,19
438	0,14	0,132	0,142	0,137	0,142	0,137	0,319	0,181	0, <mark>31</mark> 9	0,186	0,319	0,184	0,413	0,174	0,426	0,174	0,423	0,189
8,5	0,14	0,131	0,141	0,136	0,142	0,136	0,319	0,181	0,319	0,185	0,319	0,183	0,414	0,173	0,426	0,173	0,423	0,188
439	0,139	0,13	0,14	0,135	0,141	0,135	0,319	0,18	0,319	0,185	0,319	0,182	0,415	0,172	0,427	0,173	0,424	0,188
9,5	0,138	0,13	0,14	0,134	0,14	0,134	0,319	0,179	0,319	0,184	0,319	0,182	0,416	0,172	0,428	0,172	0,425	0,187
440	0,138	0,129	0,139	0,133	0,14	0,134	0,319	0,178	0,319	0,183	0,319	0,181	0,416	0,171	0,428	0,171	0,426	0,187
0,5	0,137	0,128	0,139	0,133	0,139	0,133	0,32	0,178	0,32	0,182	0,32	0,18	0,417	0,171	0,429	0,171	0,426	0,186
441	0,137	0,127	0,138	0,132	0,139	0,132	0,32	0,177	0,32	0,182	0,32	0,18	0,418	0,17	0,43	0,17	0,427	0,186
1,5	0,136	0,127	0,138	0,131	0,138	0,132	0,32	0,176	0,32	0,181	0,32	0,179	0,419	0,17	0,431	0,17	0,428	0,185
442	0,135	0,126	0,137	0,13	0,137	0,131	0,321	0,176	0,321	0,18	0,321	0,178	0,42	0,169	0,432	0,169	0,429	0,185
2,5	0,135	0,125	0,137	0,13	0,137	0,13	0,321	0,175	0,321	0,179	0,321	0,177	0,421	0,168	0,432	0,169	0,43	0,184
443	0,134	0,124	0,136	0,129	0,136	0,13	0,321	0,174	0,321	0,179	0,321	0,177	0,421	0,168	0,433	0,168	0,43	0,184
3,5	0,134	0,124	0,135	0,128	0,136	0,129	0,322	0,174	0,322	0,178	0,322	0,176	0,422	0,167	0,434	0,168	0,431	0,184
444	0,133	0,123	0,135	0,128	0,135	0,128	0,322	0,173	0,322	0,177	0,322	0,175	0,423	0,167	0,435	0,167	0,432	0,183
4,5	0,133	0,122	0,134	0,127	0,135	0,128	0,322	0,172	0,322	0,177	0,322	0,175	0,424	0,167	0,436	0,167	0,433	0,183
445	0,132	0,122	0,134	0,126	0,134	0,127	0,323	0,172	0,323	0,176	0,323	0,174	0,425	0,166	0,437	0,166	0,434	0,182
5,5	0,132	0,121	0,133	0,126	0,134	0,126	0,323	0,171	0,323	0,176	0,323	0,173	0,426	0,166	0,438	0,166	0,435	0,182
446	0,131	0,121	0,133	0,125	0,133	0,126	0,323	0,171	0,323	0,175	0,323	0,173	0,427	0,165	0,439	0,165	0,436	0,181
6,5	0,131	0,12	0,132	0,124	0,133	0,125	0,324	0,17	0,324	0,174	0,324	0,172	0,428	0,165	0,44	0,165	0,437	0,181
447	0,13	0,119	0,132	0,123	0,132	0,124	0,324	0,169	0,324	0,174	0,324	0,171	0,429	0,164	0,441	0,164	0,438	0,18
7,5	0,13	0,119	0,132	0,123	0,132	0,124	0,325	0,169	0,325	0,173	0,325	0,171	0,43	0,163	0,442	0,164	0,439	0,18
448	0,13	0,118	0,131	0,122	0,132	0,123	0,325	0,168	0,325	0,172	0,325	0,17	0,431	0,163	0,443	0,163	0,44	0,179
8,5	0,129	0,117	0,131	0,121	0,131	0,122	0,326	0,167	0,326	0,171	0,326	0,169	0,432	0,163	0,444	0,163	0,441	0,179
449	0,129	0,117	0,13	0,121	0,131	0,122	0,326	0,167	0,326	0,171	0,326	0,169	0,434	0,162	0,445	0,162	0,442	0,178
9,5	0,128	0,116	0,13	0,12	0,13	0,121	0,327	0,166	0,327	0,17	0,327	0,168	0,435	0,162	0,446	0,162	0,443	0,178
450	0,128	0,115	0,13	0,12	0,13	0,121	0,328	0,166	0,327	0,17	0,328	0,168	0,436	0,161	0,448	0,161	0,444	0,178
0,5	0,128	0,115	0,129	0,119	0,129	0,12	0,328	0,165	0,328	0,169	0,328 0,329	0,167	0,437	0,161	0,449	0,161	0,446	0,177
451 1,5	0,127 0,127	0,114 0,114	0,129 0,128	0,118 0,118	0,129 0,129	0,119 0,119	0,329 0,329	0,164 0,164	0,329 0,329	0,169 0,168	0,329	0,167 0,166	0,439 0,44	0,16 0.16	0,45 0,452	0,161 0,16	0,447 0,448	0,177 0,176
452	0,127	0,114	0,128	0,116	0,129	0,119	0,329	0,163	0,329	0,167	0,329	0,166	0,441	0,16	0,452	0,16	0,446	0,176
2,5	0,126	0,113	0,128	0,117	0,128	0,118	0,331	0,163	0,331	0,167	0,331	0,165	0,441	0,159	0,453	0,16	0,451	0,176
453	0,126	0,113	0,127	0,117	0,128	0,117	0,331	0,162	0,331	0,166	0,331	0,165	0,444	0,159	0,456	0,159	0,451	0,176
3,5	0,125	0,112	0,127	0,115	0,120	0,117	0,332	0,162	0,331	0,166	0,331	0,163	0,444	0,158	0,450	0,159	0,454	0,175
454	0,125	0,111	0,127	0,115	0,127	0,117	0,332	0,161	0,332	0,165	0,333	0,163	0,440	0,158	0,457	0,158	0,455	0,173
4,5	0,125	0,111	0,126	0,113	0,127	0,115	0,334	0,161	0,334	0,165	0,334	0,163	0,447	0,157	0,453	0,158	0,457	0,174
455	0,123	0,11	0,126	0,114	0,126	0,115	0,335	0,16	0,335	0,164	0,335	0,162	0,443	0,157	0,461	0,157	0,459	0,174
5,5	0,124	0,109	0,125	0,113	0,126	0,113	0,336	0,159	0,336	0,163	0,336	0,162	0,451	0,156	0,464	0,157	0,459	0,174
				0,112														0,173
				0,112														0,173
				0,112														0,173
456 6,5 457	0,124 0,123 0,123	0,108 0,108 0,108 0,107	0,125 0,125 0,124	0,1 0,1	12 12	12 0,125 12 0,125	12 0,125 0,114 12 0,125 0,113	12 0,125 0,114 0,337 12 0,125 0,113 0,338	12 0,125 0,114 0,337 0,159 12 0,125 0,113 0,338 0,158	12 0,125 0,114 0,337 0,159 0,337 12 0,125 0,113 0,338 0,158 0,338 11 0,125 0,112 0,339 0,158 0,339	12 0,125 0,114 0,337 0,159 0,337 0,163 12 0,125 0,113 0,338 0,158 0,338 0,162 11 0,125 0,112 0,339 0,158 0,339 0,162	12 0,125 0,114 0,337 0,159 0,337 0,163 0,337 12 0,125 0,113 0,338 0,158 0,338 0,162 0,338 11 0,125 0,112 0,339 0,158 0,339 0,162 0,339	12 0,125 0,114 0,337 0,159 0,337 0,163 0,337 0,161 12 0,125 0,113 0,338 0,158 0,338 0,162 0,338 0,161 11 0,125 0,112 0,339 0,158 0,339 0,162 0,339 0,16	12 0,125 0,114 0,337 0,159 0,337 0,163 0,337 0,161 0,454 12 0,125 0,113 0,338 0,158 0,338 0,162 0,338 0,161 0,456 11 0,125 0,112 0,339 0,158 0,339 0,162 0,339 0,16 0,458	12 0,125 0,114 0,337 0,159 0,337 0,163 0,337 0,161 0,454 0,156 12 0,125 0,113 0,338 0,158 0,338 0,162 0,338 0,161 0,456 0,156 11 0,125 0,112 0,339 0,158 0,339 0,162 0,339 0,16 0,458 0,155	12 0,125 0,114 0,337 0,159 0,337 0,163 0,337 0,161 0,454 0,156 0,466 12 0,125 0,113 0,338 0,158 0,338 0,162 0,338 0,161 0,456 0,156 0,468 11 0,125 0,112 0,339 0,158 0,339 0,162 0,339 0,16 0,458 0,155 0,47	12 0,125 0,114 0,337 0,159 0,337 0,163 0,337 0,161 0,454 0,156 0,466 0,156 12 0,125 0,113 0,338 0,158 0,338 0,162 0,338 0,161 0,456 0,156 0,468 0,156 11 0,125 0,112 0,339 0,158 0,339 0,162 0,339 0,16 0,458 0,155 0,47 0,156	12

457.5	0.400	0.407	b 404	D 444	b 404	0.440	b 24	0.457	h 24	0.404	lo 24	0.40	0.40	0.455	0.470	0.455	b 400	0.470
457,5	0,123	0,107	0,124	0,111	0,124	0,112	0,34	0,157	0,34	0,161	0,34	0,16	0,46	0,155	0,472	0,155	0,468	0,172
458	0,122	0,106	0,124	0,11	0,124	0,111	0,341	0,157	0,341	0,161	0,341	0,159	0,462	0,155	0,474	0,155	0,47	0,172
458,5	0,122	0,106	0,124	0,11	0,124	0,111	0,342	0,156	0,342	0,16	0,342	0,159	0,465	0,154	0,477	0,155	0,473	0,171
459	0,122	0,105	0,123	0,109	0,124	0,11	0,344	0,156	0,344	0,16	0,344	0,158	0,467	0,154	0,479	0,154	0,475	0,171
459,5	0,122	0,105	0,123	0,109	0,124	0,11	0,345	0,156	0,345	0,159	0,345	0,158	0,469	0,154	0,481	0,154	0,477	0,171
460	0,121	0,104	0,123	0,108	0,123	0,109	0,346	0,155	0,346	0,159	0,346	0,157	0,471	0,153	0,483	0,154	0,479	0,171
460,5	0,121	0,104	0,123	0,107	0,123	0,109	0,347	0,155	0,348	0,158	0,348	0,157	0,474	0,153	0,486	0,153	0,482	0,17
461	0,121	0,103	0,122	0,107	0,123	0,108	0,349	0,154	0,349	0,158	0,349	0,156	0,476	0,152	0,489	0,153	0,484	0,17
461,5	0,12	0,103	0,122	0,106	0,122	0,108	0,351	0,154	0,351	0,157	0,351	0,156	0,479	0,152	0,491	0,153	0,487	0,17
462	0,12	0,102	0,122	0,106	0,122	0,107	0,352	0,153	0,352	0,157	0,352	0,155	0,482	0,152	0,494	0,152	0,49	0,169
462,5	0,12	0,102	0,121	0,105	0,122	0,107	0,354	0,153	0,354	0,157	0,354	0,155	0,485	0,152	0,497	0,152	0,493	0,169
463	0,12	0,101	0,121	0,105	0,122	0,106	0,355	0,152	0,355	0,156	0,355	0,154	0,488	0,151	0,5	0,152	0,496	0,169
463,5	0,119	0,101	0,121	0,104	0,121	0,106	0,357	0,152	0,357	0,156	0,357	0,154	0,491	0,151	0,503	0,151	0,499	0,169
464	0,119	0,1	0,121	0,104	0,121	0,105	0,359	0,151	0,359	0,155	0,359	0,153	0,494	0,151	0,506	0,151	0,502	0,168
464,5	0,119	0,1	0,121	0,103	0,121	0,105	0,36	0,151	0,361	0,155	0,361	0,153	0,497	0,151	0,509	0,151	0,505	0,168
465	0,119	0,099	0,12	0,103	0,121	0,105	0,362	0,151	0,362	0,154	0,362	0,153	0,501	0,15	0,513	0,151	0,508	0,168
465,5	0,119	0,099	0,12	0,102	0,12	0,104	0,364	0,15	0,364	0,154	0,364	0,152	0,504	0,15	0,516	0,15	0,512	0,168
466	0,119	0,098	0,12	0,102	0,12	0,104	0,366	0,15	0,366	0,153	0,366	0,152	0,507	0,15	0,52	0,15	0,515	0,168
466,5	0,118	0,098	0,12	0,102	0,12	0,103	0,368	0,149	0,368	0,153	0,368	0,151	0,511	0,149	0,523	0,15	0,519	0,167
467	0,118	0,098	0,12	0,101	0,12	0,103	0,37	0,149	0,37	0,153	0,37	0,151	0,514	0,149	0,527	0,149	0,522	0,167
467,5	0,118	0,097	0,119	0,101	0,12	0,102	0,372	0,149	0,372	0,152	0,372	0,15	0,518	0,149	0,53	0,149	0,526	0,167
468	0,118	0,097	0,119	0,1	0,12	0,102	0,374	0,148	0,375	0,152	0,375	0,15	0,522	0,149	0,534	0,149	0,53	0,167
468,5	0,118	0,096	0,119	0,1	0,119	0,101	0,377	0,148	0,377	0,152	0,377	0,15	0,526	0,148	0,538	0,149	0,534	0,167
469	0,118	0,096	0,119	0,099	0,119	0,101	0,379	0,147	0,379	0,151	0,379	0,149	0,53	0,148	0,542	0,149	0,538	0,166
469,5	0,117	0,095	0,119	0,099	0,119	0,101	0,381	0,147	0,381	0,151	0,381	0,149	0,534	0,148	0,546	0,148	0,542	0,166
470	0,117	0,095	0,119	0,098	0,119	0,1	0,384	0,147	0,384	0,15	0,384	0,149	0,538	0,148	0,551	0,148	0,546	0,166
470,5	0,117	0,094	0,118	0,098	0,119	0,1	0,386	0,146	0,386	0,15	0,386	0,148	0,542	0,148	0,555	0,148	0,55	0,166
471	0,117	0,094	0,118	0,097	0,119	0,099	0,389	0,146	0,389	0,15	0,389	0,148	0,547	0,147	0,56	0,148	0,555	0,166
471,5	0,117	0,094	0,118	0,097	0,119	0,099	0,391	0,146	0,391	0,15	0,392	0,148	0,551	0,147	0,564	0,148	0,56	0,166
472	0,117	0,093	0,118	0,097	0,119	0,099	0,394	0,146	0,394	0,149	0,394	0,147	0,556	0,147	0,569	0,148	0,564	0,166
472,5	0,117	0,093	0,118	0,096	0,118	0,098	0,397	0,145	0,397	0,149	0,397	0,147	0,56	0,147	0,574	0,147	0,569	0,165
473	0,117	0,092	0,118	0,096	0,118	0,098	0,399	0,145	0,399	0,148	0,399	0,147	0,565	0,147	0,578	0,147	0,573	0,165
473,5	0,116	0,092	0,118	0,095	0,118	0,097	0,402	0,145	0,402	0,148	0,402	0,146	0,57	0,147	0,583	0,147	0,578	0,165
474	0,116	0,091	0,118	0,095	0,118	0,097	0,405	0,144	0,405	0,148	0,405	0,146	0,575	0,146	0,588	0,147	0,583	0,165
474,5	0,116	0,091	0,118	0,094	0,118	0,096	0,408	0,144	0,408	0,147	0,408	0,146	0,58	0,146	0,594	0,147	0,589	0,165
475	0,116	0,09	0,118	0,094	0,118	0,096	0,411	0,144	0,411	0,147	0,411	0,146	0,586	0,146	0,599	0,147	0,594	0,165
475,5	0,116	0,09	0,118	0,093	0,118	0,096	0,414	0,143	0,414	0,147	0,414	0,145	0,591	0,146	0,604	0,146	0,599	0,165
476	0,116	0,089	0,118	0,093	0,118	0,095	0,417	0,143	0,417	0,146	0,417	0,145	0,596	0,146	0,61	0,146	0,605	0,165
476,5	0,116	0,089	0,117	0,092	0,118	0,095	0,42	0,143	0,42	0,146	0,42	0,144	0,601	0,146	0,615	0,146	0,61	0,165
477	0,116	0,089	0,117	0,092	0,118	0,094	0,423	0,142	0,423	0,146	0,423	0,144	0,607	0,146	0,621	0,146	0,616	0,165
477,5	0,116	0,088	0,117	0,091	0,118	0,094	0,427	0,142	0,427	0,146	0,427	0,144	0,613	0,146	0,627	0,146	0,622	0,165
478	0,116	0,088	0,117	0,091	0,118	0,094	0,43	0,142	0,43	0,145	0,43	0,144	0,618	0,146	0,633	0,146	0,628	0,165
478,5	0,116	0,087	0,117	0,09	0,117	0,093	0,433	0,142	0,433	0,145	0,434	0,143	0,625	0,146	0,639	0,146	0,634	0,165
479	0,116	0,087	0,117	0,09	0,117	0,093	0,437	0,141	0,437	0,145	0,437	0,143	0,631	0,146	0,645	0,146	0,64	0,165

70 F	0.440	lo ooc	0.447	lo 00	b 447	lo 000	lo 44	0 4 4 4	h 44	h 444	D 44	0.442	0.000	0.440	0.054	0.440	h c 40	0.405
79,5 480	0,116	0,086	0,117	0,09	0,117	0,092 0,092	0,44	0,141	0,44	0,144	0,44 0,444	0,143 0,143	0,636 0,643	0,146	0,651 0,658	0,146	0,646 0,652	0,165 0,165
400 30,5	0,116 0,116	0,086 0,086	0,117 0,117	0,089	0,117 0,117	0,092	0,444 0,448	0,141 0,141	0,444 0,448	0,144 0,144	0,444	0,143	0,649	0,146 0,146	0,664	0,146 0,146	0,652	0,165
481	0,116	0,085	0,117	0,089	0,117	0,091	0,446	0,141	0,440	0,144	0,446	0,142	0,649	0,146	0,6671	0,146	0,665	0,165
1,5	0,116	0,085	0,117	0,088	0,117	0,091	0,455	0,14	0,455	0,144	0,455	0,142	0,662	0,145	0,677	0,146	0,672	0,165
482	0,116	0,084	0,117	0,087	0,117	0,09	0,459	0,14	0,459	0,143	0,459	0,142	0,668	0,145	0,684	0,146	0,678	0,165
2,5	0,116	0,084	0,117	0,087	0,117	0,09	0,462	0,14	0,462	0,143	0,462	0,142	0,675	0,145	0,669	0,146	0,684	0,165
483	0,116	0,083	0,117	0,086	0,117	0,089	0,465	0,139	0,466	0,143	0,466	0,141	0,681	0,145	0,696	0,146	0,691	0,165
3,5	0,116	0,083	0,117	0,086	0,117	0,089	0,469	0,139	0,469	0,142	0,469	0,141	0,687	0,146	0,702	0,146	0,697	0,165
484	0,116	0,082	0,117	0,086	0,117	0,089	0,473	0,139	0,473	0,142	0,473	0,141	0,693	0,146	0,709	0,146	0,704	0,165
4,5	0,116	0,082	0,117	0,085	0,117	0,088	0,477	0,139	0,477	0,142	0,477	0,141	0,7	0,146	0,716	0,146	0,711	0,165
485	0,116	0,082	0,117	0,085	0,117	0,088	0,48	0,138	0,48	0,142	0,48	0,14	0,707	0,146	0,723	0,146	0,717	0,165
5,5	0,116	0,081	0,117	0,084	0,117	0,087	0,484	0,138	0,484	0,142	0,484	0,14	0,713	0,146	0,729	0,146	0,723	0,166
486	0,116	0,081	0,117	0,084	0,117	0,087	0,488	0,138	0,488	0,141	0,488	0,14	0,719	0,146	0,736	0,146	0,73	0,166
6,5	0.116	0,08	0,117	0,083	0,117	0,086	0,491	0,138	0,491	0,141	0,491	0,14	0,726	0,146	0,742	0,146	0,737	0,166
487	0.116	0,08	0,117	0,083	0,117	0,086	0,496	0,138	0,496	0,141	0,496	0,139	0,733	0,146	0,75	0,146	0,744	0,166
7,5	0,116	0,08	0,117	0,083	0,117	0,086	0,5	0,138	0,499	0,141	0,5	0,139	0,74	0,146	0,757	0,146	0,751	0,166
488	0,116	0,079	0,117	0,082	0,117	0,085	0,503	0,137	0,503	0,141	0,503	0,139	0,747	0,146	0,764	0,146	0,758	0,166
8,5	0,116	0,079	0,117	0,082	0,117	0,085	0,507	0,137	0,507	0,14	0,507	0,139	0,753	0,146	0,77	0,146	0,765	0,166
489	0,116	0,078	0,117	0,081	0,117	0,084	0,511	0,137	0,511	0,14	0,511	0,139	0,761	0,146	0,777	0,146	0,772	0,166
9,5	0,116	0,078	0,117	0,081	0,118	0,084	0,515	0,137	0,515	0,14	0,515	0,138	0,768	0,146	0,785	0,147	0,779	0,166
490	0,116	0,077	0,117	0,08	0,118	0,083	0,519	0,137	0,519	0,14	0,519	0,138	0,774	0,146	0,791	0,147	0,786	0,166
0,5	0,116	0,077	0,117	0,08	0,118	0,083	0,523	0,136	0,523	0,14	0,523	0,138	0,781	0,146	0,798	0,147	0,793	0,166
491	0,116	0,077	0,117	0,08	0,118	0,083	0,526	0,136	0,527	0,139	0,526	0,138	0,788	0,147	0,805	0,147	0,799	0,166
1,5	0,116	0,076	0,117	0,079	0,118	0,082	0,53	0,136	0,531	0,139	0,53	0,138	0,795	0,147	0,812	0,147	0,806	0,167
492	0,116	0,076	0,117	0,079	0,118	0,082	0,534	0,136	0,534	0,139	0,534	0,138	0,802	0,147	0,819	0,147	0,813	0,167
2,5	0,116	0,075	0,117	0,078	0,118	0,082	0,538	0,136	0,538	0,139	0,538	0,138	0,808	0,147	0,826	0,147	0,82	0,167
493	0,116	0,075	0,118	0,078	0,118	0,081	0,542	0,136	0,542	0,139	0,542	0,137	0,815	0,147	0,833	0,147	0,827	0,167
3,5	0,116	0,075	0,118	0,078	0,118	0,081	0,545	0,135	0,546	0,138	0,546	0,137	0,822	0,147	0,84	0,147	0,834	0,167
494	0,116	0,074	0,118	0,077	0,118	0,08	0,549	0,135	0,55	0,138	0,55	0,137	0,829	0,147	0,847	0,147	0,841	0,167
4,5	0,116	0,074	0,118	0,077	0,118	0,08	0,553	0,135	0,554	0,138	0,554	0,137	0,837	0,147	0,854	0,147	0,848	0,168
495	0,116	0,073	0,118	0,076	0,118	0,079	0,557	0,135	0,557	0,138	0,557	0,137	0,843	0,147	0,861	0,148	0,856	0,168
5,5	0,116	0,073	0,118	0,076	0,118	0,079	0,561	0,135	0,561	0,138	0,561	0,137	0,85	0,148	0,868	0,148	0,862	0,168
496	0,116	0,073	0,118	0,075	0,118	0,079	0,565	0,135	0,565	0,138	0,565	0,136	0,856	0,148	0,875	0,148	0,869	0,168
6,5	0,116	0,072	0,118	0,075	0,118	0,078	0,569	0,134	0,569	0,138	0,569	0,136	0,863	0,148	0,882	0,148	0,876	0,169
497	0,116	0,072	0,118	0,075	0,118	0,078	0,573	0,134	0,573	0,137	0,573	0,136	0,87	0,148	0,89	0,148	0,884	0,169
7,5	0,116	0,071	0,118	0,074	0,118	0,077	0,577	0,134	0,577	0,137	0,577	0,136	0,878	0,148	0,897	0,148	0,891	0,169
498	0,116	0,071	0,118	0,074	0,118	0,077	0,581	0,134	0,581	0,137	0,581	0,136	0,885	0,148	0,904	0,148	0,898	0,169
8,5	0,116	0,07	0,118	0,073	0,118	0,076	0,585	0,134	0,585	0,137	0,584	0,136	0,891	0,148	0,911	0,148	0,905	0,169
499	0,116	0,07	0,118	0,073	0,118	0,076	0,588	0,134	0,588	0,136	0,588	0,135	0,898	0,148	0,918	0,148	0,912	0,169
9,5	0,117	0,07	0,118	0,072	0,118	0,076	0,592	0,133	0,592	0,136	0,592	0,135	0,905	0,148	0,925	0,149	0,919	0,17
500	0,117	0,069	0,118	0,072	0,118	0,075	0,596	0,133	0,596	0,136	0,596	0,135	0,912	0,149	0,932	0,149	0,926	0,17

501 501,5 502 502,5 503,5 504,5 504,5 505,5 506 506,5 507 507,5	0,117 0,117 0,117 0,117 0,117 0,117 0,117 0,117 0,117 0,117 0,117 0,117 0,117 0,117 0,117	0,069 0,068 0,068 0,067 0,067 0,066 0,066 0,066 0,065 0,065 0,064 0,064 0,064	0,118 0,118 0,118 0,118 0,118 0,118 0,118 0,118 0,118 0,118 0,118 0,118 0,118 0,118 0,118	0,072 0,071 0,071 0,071 0,07 0,07 0,069 0,069 0,069 0,068 0,068 0,068	0,118 0,118 0,118 0,118 0,118 0,118 0,118 0,118 0,118 0,118 0,118 0,118	0,075 0,074 0,074 0,073 0,073 0,073 0,072 0,072 0,072 0,072 0,071	0,599 0,603 0,607 0,61 0,614 0,617 0,62 0,624 0,627 0,631	0,133 0,133 0,133 0,133 0,133 0,133 0,132 0,132 0,132	0,6 0,603 0,607 0,611 0,614 0,617 0,621 0,624	0,136 0,136 0,136 0,136 0,136 0,136 0,135 0,135	0,6 0,603 0,607 0,61 0,614 0,617 0,62	0,135 0,135 0,135 0,135 0,135 0,134 0,134	0,919 0,926 0,932 0,938 0,944 0,951 0,957	0,149 0,149 0,149 0,149 0,149 0,15 0,15	0,939 0,946 0,953 0,96 0,966 0,972 0,979	0,149 0,149 0,149 0,149 0,15 0,15	0,933 0,94 0,946 0,953 0,959 0,965 0,972	0,17 0,17 0,171 0,171 0,171 0,171 0,171
501 501,5 502 502,5 503,5 504,5 504,5 505,5 506,5 506,5 507,5	0,117 0,117 0,117 0,117 0,117 0,117 0,117 0,117 0,117 0,117 0,117 0,117 0,117 0,117 0,117	0,068 0,068 0,068 0,067 0,067 0,066 0,066 0,066 0,065 0,065 0,064 0,064	0,118 0,118 0,118 0,118 0,118 0,118 0,118 0,118 0,118 0,118 0,118 0,118 0,118 0,118	0,071 0,071 0,071 0,07 0,07 0,069 0,069 0,069 0,068 0,068	0,118 0,118 0,118 0,118 0,118 0,118 0,118 0,118 0,118 0,118	0,074 0,074 0,074 0,073 0,073 0,072 0,072 0,072 0,072	0,603 0,607 0,61 0,614 0,617 0,62 0,624 0,627 0,631	0,133 0,133 0,133 0,133 0,133 0,132 0,132 0,132	0,603 0,607 0,611 0,614 0,617 0,621 0,624	0,136 0,136 0,136 0,136 0,136 0,135	0,603 0,607 0,61 0,614 0,617 0,62	0,135 0,135 0,135 0,135 0,134	0,926 0,932 0,938 0,944 0,951	0,149 0,149 0,149 0,149 0,15	0,946 0,953 0,96 0,966 0,972 0,979	0,149 0,149 0,149 0,15 0,15 0,15	0,94 0,946 0,953 0,959 0,965 0,972	0,17 0,171 0,171 0,171 0,171 0,171
501,5 502 502,5 503,5 504,5 504,5 505,5 506,5 506,5 507,5	0,117 0,117 0,117 0,117 0,117 0,117 0,117 0,117 0,117 0,117 0,117 0,117 0,117 0,117	0,068 0,068 0,067 0,067 0,066 0,066 0,065 0,065 0,065 0,064 0,064	0,118 0,118 0,118 0,118 0,118 0,118 0,118 0,118 0,118 0,118 0,118 0,118	0,071 0,071 0,07 0,07 0,069 0,069 0,069 0,068 0,068	0,118 0,118 0,118 0,118 0,118 0,118 0,118 0,118 0,118 0,118	0,074 0,074 0,073 0,073 0,072 0,072 0,072 0,072	0,607 0,61 0,614 0,617 0,62 0,624 0,627 0,631	0,133 0,133 0,133 0,133 0,132 0,132 0,132	0,607 0,611 0,614 0,617 0,621 0,624	0,136 0,136 0,136 0,136 0,135	0,607 0,61 0,614 0,617 0,62	0,135 0,135 0,135 0,134	0,932 0,938 0,944 0,951	0,149 0,149 0,149 0,15	0,953 0,96 0,966 0,972 0,979	0,149 0,149 0,15 0,15 0,15	0,946 0,953 0,959 0,965 0,972	0,171 0,171 0,171 0,171 0,171
502 502,5 503,5 504,5 505,5 506,5 506,5 507,5	0,117 0,117 0,117 0,117 0,117 0,117 0,117 0,117 0,117 0,117 0,117 0,117 0,117	0,068 0,067 0,067 0,066 0,066 0,066 0,065 0,065 0,064 0,064	0,118 0,118 0,118 0,118 0,118 0,118 0,118 0,118 0,118 0,118	0,071 0,07 0,07 0,069 0,069 0,069 0,068 0,068	0,118 0,118 0,118 0,118 0,118 0,118 0,118 0,118	0,074 0,073 0,073 0,072 0,072 0,072 0,072	0,61 0,614 0,617 0,62 0,624 0,627 0,631	0,133 0,133 0,133 0,132 0,132 0,132	0,611 0,614 0,617 0,621 0,624	0,136 0,136 0,136 0,135	0,61 0,614 0,617 0,62	0,135 0,135 0,134	0,938 0,944 0,951	0,149 0,149 0,15	0,96 0,966 0,972 0,979	0,149 0,15 0,15 0,15	0,953 0,959 0,965 0,972	0,171 0,171 0,171 0,171
502,5 503 503,5 504 504,5 505 505,5 506 506,5 507,5	0,117 0,117 0,117 0,117 0,117 0,117 0,117 0,117 0,117 0,117 0,117 0,117 0,117	0,067 0,066 0,066 0,066 0,065 0,065 0,065 0,064 0,064	0,118 0,118 0,118 0,118 0,118 0,118 0,118 0,118 0,118	0,07 0,069 0,069 0,069 0,068 0,068 0,068	0,118 0,118 0,118 0,118 0,118 0,118 0,118	0,073 0,073 0,072 0,072 0,072 0,072	0,614 0,617 0,62 0,624 0,627 0,631	0,133 0,133 0,132 0,132 0,132	0,614 0,617 0,621 0,624	0,136 0,136 0,135	0,614 0,617 0,62	0,135 0,134	0,944 0,951	0,149 0,15	0,966 0,972 0,979	0,15 0,15 0,15	0,959 0,965 0,972	0,171 0,171 0,171
503 503,5 504 504,5 505,5 506,5 506,5 507,5	0,117 0,117 0,117 0,117 0,117 0,117 0,117 0,117 0,117 0,117 0,117	0,067 0,066 0,066 0,066 0,065 0,065 0,064 0,064 0,064	0,118 0,118 0,118 0,118 0,118 0,118 0,118 0,118 0,118	0,07 0,069 0,069 0,069 0,068 0,068 0,068	0,118 0,118 0,118 0,118 0,118 0,118	0,073 0,072 0,072 0,072 0,071	0,617 0,62 0,624 0,627 0,631	0,133 0,132 0,132 0,132	0,617 0,621 0,624	0,136 0,135	0,617 0,62	0,134	0,951	0,15	0,972 0,979	0,15 0,15	0,965 0,972	0,171 0,171
503,5 504 504,5 505,5 506,5 506,5 507,5	0,117 0,117 0,117 0,117 0,117 0,117 0,117 0,117 0,117 0,117	0,066 0,066 0,065 0,065 0,065 0,064 0,064 0,064	0,118 0,118 0,118 0,118 0,118 0,118 0,118	0,069 0,069 0,069 0,068 0,068 0,068	0,118 0,118 0,118 0,118 0,118	0,072 0,072 0,072 0,071	0,62 0,624 0,627 0,631	0,132 0,132 0,132	0,621 0,624	0,135	0,62				0,979	0,15	0,972	0,171
504 504,5 505 505,5 506 506,5 507 507,5	0,117 0,117 0,117 0,117 0,117 0,117 0,117 0,117 0,117	0,066 0,066 0,065 0,065 0,064 0,064	0,118 0,118 0,118 0,118 0,118 0,118	0,069 0,069 0,068 0,068 0,068	0,118 0,118 0,118 0,118	0,072 0,072 0,071	0,624 0,627 0,631	0,132 0,132	0,624									
504,5 505 505,5 506 506,5 507 507,5	0,117 0,117 0,117 0,117 0,117 0,117 0,117 0,117	0,066 0,065 0,065 0,064 0,064 0,064	0,118 0,118 0,118 0,118 0,118	0,069 0,068 0,068 0,068	0,118 0,118 0,118	0,072 0,071	0,627 0,631	0,132		U.133	0,624	0,134	0,963	0,15	0,985	0,15	0,978	0,172
505 505,5 506 506,5 507 507,5	0,117 0,117 0,117 0,117 0,117 0,117 0,117	0,065 0,065 0,064 0,064 0,064	0,118 0,118 0,118 0,118	0,068 0,068 0,068	0,118 0,118	0,071	0,631		0,627	0,135	0,627	0,134	0,969	0,15	0,991	0,15	0,984	0,172
505,5 506 506,5 507 507,5	0,117 0,117 0,117 0,117 0,117 0,117	0,065 0,064 0,064 0,064	0,118 0,118 0,118	0,068 0,068	0,118			0,132	0,631	0,135	0,631	0,134	0,975	0,15	0,998	0,15	0,991	0,172
506 506,5 507 507,5	0,117 0,117 0,117 0,117 0,117	0,064 0,064 0,064	0,118 0,118	0,068			0,634	0,132	0,634	0,135	0,634	0,134	0,982	0,15	1,004	0,15	0,997	0,173
506,5 507 507,5	0,117 0,117 0,117 0,117	0,064 0,064	0,118			0,071	0,637	0,132	0,638	0,135	0,637	0,134	0,988	0,151	1,011	0,151	1,004	0,173
507 507,5	0,117 0,117 0,117	0,064		10,001	0,118	0,07	0,641	0,132	0,641	0,135	0,641	0,134	0,994	0,151	1,017	0,151	1,01	0,173
507,5	0,117 0,117			0,067	0,118	0,07	0,644	0,132	0,644	0,134	0,644	0,133	1	0,151	1,023	0,151	1,016	0,173
	0,117		0,118	0,066	0,118	0,069	0,647	0,132	0,647	0,134	0,647	0,133	1,006	0,151	1,029	0,151	1,022	0,173
508		0,063	0,118	0,066	0,118	0,069	0,65	0,131	0,65	0,134	0,65	0,133	1,011	0,151	1,034	0,151	1,027	0,174
	0,116	0,063	0,118	0,066	0,118	0,069	0,653	0,131	0,653	0,134	0,653	0,133	1,016	0,151	1,04	0,151	1,032	0,174
	0,117	0,062	0,118	0,065	0,118	0,068	0,655	0,131	0,656	0,134	0,655	0,133	1,022	0,151	1,045	0,151	1,038	0,174
	0,116	0,062	0,118	0,065	0,118	0,068	0,658	0,131	0,658	0,134	0,658	0,133	1,027	0,152	1,051	0,152	1,043	0,175
	0,116	0,062	0,118	0,065	0,118	0,068	0,661	0,131	0,661	0,134	0,661	0,133	1,032	0,152	1,056	0,152	1,049	0,175
	0,116	0,061	0,118	0,064	0,118	0,067	0,664	0,131	0,664	0,134	0,664	0,133	1,037	0,152	1,061	0,152	1,054	0,175
	0,116	0,061	0,118	0,064	0,118	0,067	0,666	0,131	0,666	0,134	0,666	0,133	1,042	0,152	1,067	0,152	1,059	0,175
	0,116	0,061	0,118	0,064	0,118	0,067	0,669	0,131	0,669	0,133	0,669	0,132	1,047	0,152	1,072	0,152	1,064	0,176
	0,116	0,06	0,117	0,063	0,118	0,066	0,671	0,13	0,671	0,133	0,671	0,132	1,052	0,152	1,076	0,152	1,069	0,176
	0,116	0,06	0,117	0,063	0,117	0,066	0,673	0,13	0,673	0,133	0,673	0,132	1,056	0,153	1,081	0,153	1,073	0,176
	0,116	0,059	0,117	0,063	0,117	0,066	0,676	0,13	0,676	0,133	0,676	0,132	1,061	0,153	1,086	0,153	1,078	0,176
	0,116	0,059	0,117	0,062	0,117	0,065	0,678	0,13	0,678	0,133	0,678	0,132	1,066	0,153	1,09	0,153	1,083	0,177
	0,116	0,059	0,117	0,062	0,117	0,065	0,68	0,13	0,68	0,133	0,68	0,132	1,07	0,153	1,095	0,153	1,087	0,177
	0,115	0,058	0,117	0,062	0,117	0,065	0,682	0,13	0,682	0,133	0,682	0,132	1,074	0,153	1,099	0,153	1,091	0,177
	0,115	0,058	0,117	0,061	0,117	0,064	0,684	0,13	0,684	0,133	0,684	0,132	1,078	0,153	1,103	0,153	1,095	0,177
	0,115	0,058	0,117	0,061	0,117	0,064	0,686	0,13	0,686	0,133	0,686	0,131	1,081	0,154	1,106	0,154	1,099	0,178
	0,115	0,057	0,116	0,061	0,116	0,064	0,687	0,13	0,688	0,132	0,687	0,131	1,085	0,154	1,11	0,154	1,102	0,178
	0,115	0,057	0,116	0,06	0,116	0,063	0,689	0,129	0,689	0,132	0,689	0,131	1,088	0,154	1,114	0,154	1,106	0,178
	0,115	0,057	0,116	0,06	0,116	0,063	0,691	0,129	0,691	0,132	0,69	0,131	1,091	0,154	1,117	0,154	1,109	0,178
	0,114	0,056	0,116	0,06	0,116	0,063	0,692	0,129	0,692	0,132	0,692	0,131	1,094	0,154	1,12	0,154	1,112	0,179
	0,114	0,056	0,116	0,059	0,116	0,062	0,693	0,129	0,693	0,132	0,693	0,131	1,097	0,154	1,124	0,154	1,116	0,179
	0,114	0,056	0,115	0,059	0,115	0,062	0,694	0,129	0,695	0,132	0,694	0,131	1,1	0,154	1,126	0,154	1,118	0,179
	0,114	0,055	0,115	0,059	0,115	0,062	0,696	0,129	0,696	0,132	0,695	0,131	1,103	0,155	1,129	0,154	1,121	0,179
	0,114	0,055	0,115	0,058	0,115	0,062	0,697	0,129	0,697	0,131	0,696	0,13	1,105	0,155	1,132	0,155	1,123	0,18
	0,113	0,055	0,115	0,058	0,115	0,061	0,698	0,129	0,698	0,131	0,697	0,13	1,107	0,155	1,134	0,155	1,126	0,18
	0,113	0,055	0,115	0,058	0,114	0,061	0,698	0,129	0,698	0,131	0,698	0,13	1,109	0,155	1,136	0,155	1,128	0,18
	0,113	0,054	0,114	0,057	0,114	0,061	0,699	0,128	0,699	0,131	0,699	0,13	1,111	0,155	1,138	0,155	1,13	0,18
	0,113	0,054	0,114	0,057	0,114	0,06	0,699	0,128	0,699	0,131	0,699	0,13	1,113	0,155	1,14	0,155	1,132	0,18
	0,112	0,054	0,114	0,057	0,113	0,06	0,7	0,128	0,7	0,131	0,7	0,13	1,114	0,155	1,141	0,155	1,133	0,181

22,5	0,112	0,053	0,113	0,057	0,113	0,06	0,7	0,128	0,7	0,131	0,7	0,13	1,115	0,155	1,143	0,155	1,134	0,181
523	0,112	0,053	0,113	0,056	0,113	0,06	0,7	0,128	0,7	0,131	0,7	0,13	1,116	0,156	1,144	0,155	1,135	0,181
23,5	0,111	0,053	0,113	0,056	0,112	0,059	0,7	0,128	0,7	0,13	0,7	0,129	1,117	0,156	1,145	0,156	1,136	0,181
524	0,111	0,053	0,112	0,056	0,112	0,059	0,7	0,128	0,7	0,13	0,7	0,129	1,117	0,156	1,146	0,156	1,137	0,181
24,5	0,111	0,052	0,112	0,055	0,112	0,059	0,7	0,127	0,7	0,13	0,7	0,129	1,118	0,156	1,146	0,156	1,137	0,181
525	0,11	0,052	0,112	0,055	0,111	0,059	0,699	0,127	0,699	0,13	0,699	0,129	<mark>1,118</mark>	0,156	1,147	0,156	1,137	0,181
25,5	0,11	0,052	0,111	0,055	0,111	0,058	0,699	0,127	0,699	0,13	0,698	0,129	1,118	0,156	1,147	0,156	1,137	0,182
526	0,109	0,051	0,111	0,054	0,111	0,058	0,698	0,127	0,698	0,13	0,697	0,129	1,117	0,156	1,146	0,156	1,137	0,182
26,5	0,109	0,051	0,11	0,054	0,11	0,058	0,697	0,127	0,697	0,129	0,697	0,128	1,116	0,156	1,146	0,156	1,136	0,182
527	0,108	0,051	0,11	0,054	0,11	0,057	0,696	0,127	0,696	0,129	0,695	0,128	1,116	0,156	1,145	0,156	1,135	0,182
27,5	0,108	0,05	0,109	0,054	0,109	0,057	0,694	0,127	0,694	0,129	0,694	0,128	1,114	0,156	1,144	0,156	1,134	0,182
528	0,108	0,05	0,109	0,053	0,109	0,057	0,693	0,126	0,693	0,129	0,693	0,128	1,113	0,156	1,142	0,156	1,132	0,182
28,5	0,107	0,05	0,108	0,053	0,108	0,057	0,691	0,126	0,691	0,129	0,691	0,128	1,111	0,156	1,14	0,156	1,13	0,182
529	0,106	0,05	0,108	0,053	0,108	0,056	0,689	0,126	0,69	0,128	0,689	0,128	1,109	0,156	1,139	0,156	1,128	0,182
29,5	0,106	0,049	0,107	0,053	0,107	0,056	0,688	0,126	0,688	0,128	0,687	0,127	1,107	0,156	1,136	0,156	1,126	0,182
530	0,105	0,049	0,107	0,052	0,107	0,056	0,685	0,126	0,685	0,128	0,685	0,127	1,104	0,156	1,134	0,156	1,123	0,182
30,5	0,105	0,049	0,106	0,052	0,106	0,056	0,683	0,125	0,683	0,128	0,683	0,127	1,101	0,156	1,131	0,156	1,12	0,182
531	0,104	0,049	0,106	0,052	0,105	0,055	0,681	0,125	0,681	0,128	0,681	0,127	1,098	0,156	1,128	0,156	1,117	0,182
31,5	0,104	0,048	0,105	0,051	0,105	0,055	0,678	0,125	0,678	0,127	0,678	0,127	1,094	0,156	1,125	0,155	1,114	0,182
532	0,103	0,048	0,104	0,051	0,104	0,055	0,676	0,125	0,676	0,127	0,675	0,126	1,09	0,156	1,121	0,155	1,11	0,182
32,5	0,102	0,048	0,104	0,051	0,104	0,055	0,673	0,125	0,673	0,127	0,673	0,126	1,087	0,156	1,117	0,155	1,106	0,182
533	0,102	0,048	0,103	0,051	0,103	0,054	0,67	0,124	0,67	0,127	0,669	0,126	1,083	0,155	1,113	0,155	1,102	0,182
33,5	0,101	0,047	0,103	0,051	0,102	0,054	0,666	0,124	0,666	0,126	0,666	0,126	1,078	0,155	1,109	0,155	1,097	0,182
534	0,101	0,047	0,102	0,05	0,102	0,054	0,663	0,124	0,663	0,126	0,663	0,125	1,073	0,155	1,104	0,155	1,093	0,181
34,5	0,1	0,047	0,101	0,05	0,101	0,054	0,66	0,124	0,66	0,126	0,66	0,125	1,068	0,155	1,099	0,155	1,088	0,181
535	0,099	0,047	0,101	0,05	0,1	0,054	0,656	0,123	0,656	0,126	0,656	0,125	1,063	0,155	1,094	0,155	1,082	0,181
35,5	0,099	0,046	0,1	0,05	0,1	0,053	0,652	0,123	0,652	0,125	0,652	0,125	1,057	0,155	1,088	0,154	1,077	0,181
536	0,098	0,046	0,099	0,049	0,099	0,053	0,648	0,123	0,648	0,125	0,647	0,124	1,05	0,154	1,081	0,154	1,069	0,181
36,5	0,097	0,046	0,098	0,049	0,098	0,053	0,642	0,122	0,642	0,125	0,642	0,124	1,041	0,154	1,072	0,154	1,06	0,181
537	0,096	0,046	0,098	0,049	0,097	0,053	0,638	0,122	0,638	0,125	0,638	0,124	1,035	0,154	1,066	0,154	1,053	0,18
37,5	0,096 0,095	0,045 0,045	0,097	0,049 0,048	0,096	0,052	0,633 0,629	0,122 0,122	0,633	0,124 0,124	0,633	0,123 0,123	1,028	0,154 0,154	1,059 1,052	0,153 0,153	1,047 1,04	0,18
538 38,5		0,045	0,096		0,096	0,052		0,122	0,629		0,629			0,154			1,04	0,18
539	0,094 0,093	0,045	0,095 0,095	0,048 0,048	0,095	0,052 0,052	0,624 0,619	0,121	0,624 0,619	0,124 0,124	0,624 0,619	0,123 0,122	1,014	0,153	1,046 1,038	0,153 0,153	1,033	0,18 0,18
39,5	0,093	0,045	0,095	0,048	0,094	0,052	0,619	0,121	0,619	0,124	0,619	0,122	0,998	0,153	1,030	0,153	1,025	0,18
540	0,093	0,045	0,094	0,048	0,093	0,052	0,614	0,121	0,614	0,123	0,609	0,122	0,990	0,153	1,03	0,152	1,017	0,16
40,5	0,092	0,044	0,093	0,046	0,093	0,051	0,609	0,121	0,604	0,123	0,604	0,122	0,983	0,152	1,023	0,152	1,009	0,179
541	0,091	0,044	0,092	0,047	0,092	0,051	0,599	0,12	0,599	0,123	0,604	0,121	0,963	0,152	1,013	0,152	0,993	0,179
11,5	0,089	0,044	0,091	0,047	0,091	0,051	0,599	0,12	0,593	0,122	0,598	0,121	0,974	0,152	0,998	0,152	0,993	0,179
542	0,089	0,044	0,091	0,047	0,089	0,051	0,588	0,12	0,588	0,122	0,587	0,121	0,958	0,152	0,989	0,151	0,904	0,179
42,5	0,009	0,044	0,089	0,047	0,089	0,051	0,581	0,119	0,581	0,121	0,581	0,121	0,938	0,151	0,98	0,151	0,965	0,178
543	0,087	0,043	0,088	0,047	0,089	0,05	0,575	0,119	0,575	0,121	0,575	0,12	0,946	0,151	0,96	0,151	0,965	0,178
J 4 J	0,007	0,040	0,000	0,040	0,000	0,00	0,373	0,110	0,070	0,121	0,070	0,12	0,505	0,131	0,31	0,10	0,300	0,170

								-	, .									
E	- In	1	l	l			1		/44		h	la	I	I	In and	- I	la a .a	
543,5	0,086	0,043	0,087	0,046	0,087	0,05	0,569	0,118	0,569	0,12	0,569	0,119	0,929	0,15	0,961	0,15	0,946	0,177
544	0,085	0,043	0,086	0,046	0,086	0,05	0,563	0,118	0,563	0,12	0,563	0,119	0,919	0,15	0,95	0,15	0,936	0,177
544,5	0,084	0,042 0,042	0,085	0,046	0,085	0,05	0,557	0,117	0,557	0,12	0,557	0,119	0,909	0,15	0,941	0,149	0,926	0,177
545	0,083		0,085	0,046	0,084	0,049	0,551	0,117	0,55	0,119	0,55	0,118	0,899	0,149	0,931	0,149	0,916	0,176
545,5 546	0,082 0.081	0,042	0,084 0.083	0,045 0,045	0,083	0,049 0,049	0,544 0,537	0,117 0,116	0,544 0,537	0,119 0,119	0,543 0,537	0,118 0,117	0,888	0,149 0,148	0,919 0,908	0,148 0,148	0,905 0.894	0,176 0,176
	-,	0,042	0,082		0,082			0,116		0,119			0,866	0,148	·	0,146	0,883	0,176
546,5 547	0,081			0,045		0,049	0,53 0,523	0,116	0,53 0,523		0,53	0,117	0,855	0,148	0,898 0,886	0,148	0,883	0,175
547,5	0,08 0.079	0,041	0,081	0,045	0,08	0,049				0,118	0,523	0,117		0,148		0,147		
	0,079	0,041	0,08	0,045	0,079	0,048	0,516	0,115	0,516	0,117	0,516	0,116	0,843	+,	0,874	0,147	0,859 0.848	0,174
548 548,5	0,076	0,041 0.041	0,079 0,078	0,044	0,079	0,048	0,509 0,502	0,115 0,115	0,509 0,502	0,117 0,117	0,509 0,502	0,116 0,115	0,832 0,821	0,147 0,146	0,863 0,852	0,146	0,837	0,174 0,173
549	0,077	0,041	0,078	0,044	0,076	0,048	0,302	0,113	0,302	0,117	0,302	0,115	0,821	0,146	0,832	0,146	0,837	0,173
549,5	0,076	0,041	0,077	0,044	0,077	0,048	0,495	0,114	0,495	0,116	0,495	0,115	0,809	0,146	0,827	0,145	0,824	0,173
550	0,075	0,041	0,076	0,044	0,076	0,046	0,487	0,114	0,487	0,116	0,487	0,115	0,797	0,145	0,827	0,145	0,812	0,173
550,5	0,074	0.04	0,075	0,044	0,075	0,047	0,474	0,113	0,46	0,115	0,46	0,114	0,765	0,145	0,816	0,144	0,6	0,172
551	0,073	0.04	0,073	0,043	0,074	0,047	0,474	0,113	0,473	0,115	0,473	0,114	0,774	0,144	0,804	0,144	0,766	0,172
551,5	0,072	0,04	0,074	0,043	0,073	0,047	0,466	0,112	0,466	0,113	0,458	0,113	0,762	0,144	0,792	0,144	0,777	0,171
552	0.07	0,04	0.073	0.043	0.072	0,047	0,459	0,112	0,459	0,114	0,450	0,113	0,737	0,143	0,779	0,143	0,763	0,171
552,5	0,07	0,04	0,072	0,043	0,071	0,047	0,431	0,111	0,444	0,114	0,444	0,112	0,737	0,143	0,755	0,142	0,731	0,17
553	0.069	0,039	0,071	0,043	0,07	0,046	0,444	0,111	0,444	0,113	0,444	0,112	0,723	0,143	0,733	0,142	0,739	0,17
553,5	0,069	0,039	0,07	0,042	0,07	0,046	0,437	0,111	0,437	0,113	0,430	0,112	0,713	0,142	0,742	0,142	0,720	0,169
554	0,066	0,039	0,069	0,042	0,068	0,046	0,429	0,11	0,429	0,112	0,429	0,111	0,7	0,141	0,729	0,141	0,7 13	0,168
554,5	0,067	0,039	0,066	0,042	0,067	0,046	0,421	0,119	0,421	0,112	0,421	0,111	0,676	0,141	0,716	0,14	0,7	0,168
555	0,065	0,039	0,067	0,042	0,067	0.046	0,414	0,109	0,414	0.111	0,414	0.11	0.663	0,14	0,704	0,14	0,665	0,168
555,5	0,065	0,039	0,065	0,042	0,065	0,046	0,407	0,109	0,407	0,111	0,400	0.109	0,6651	0,14	0,678	0,139	0,673	0,167
556	0,063	0,038	0.065	0,041	0,063	0,045	0,399	0,108	0,399	0.11	0,399	0,109	0,637	0,139	0,675	0,139	0,662	0,166
556,5	0,063	0,038	0.064	0.041	0,063	0,045	0,384	0,100	0,384	0,11	0,383	0.108	0,624	0,138	0,652	0,138	0,649	0,166
557	0,062	0.038	0,063	0,041	0.062	0,045	0,304	0.107	0,304	0.109	0,363	0,108	0,624	0,138	0,632	0,130	0,636	0,165
557,5	0,002	0.038	0.062	0.041	0.062	0,045	0.37	0.107	0.37	0.109	0.37	0.108	0.601	0,137	0.628	0.137	0,624	0,165
558	0.06	0,038	0,062	0,041	0,062	0,045	0,363	0.106	0,363	0,103	0,363	0,107	0,589	0,137	0,626	0,136	0,612	0,164
558,5	0.059	0,037	0,06	0,041	0,061	0,043	0,356	0,106	0,356	0,108	0,356	0,107	0,503	0,136	0,604	0,136	0,587	0,164
559	0,058	0,037	0,06	0,041	0,059	0,044	0,348	0,100	0,338	0,108	0,348	0,107	0,564	0,136	0,59	0,135	0,574	0,163
559,5	0,058	0,037	0,059	0,04	0,058	0,044	0,340	0,105	0,34	0,100	0,34	0.106	0,554	0,135	0,53	0,135	0,574	0,163
560	0,057	0,037	0,058	0,04	0,057	0,044	0,334	0.104	0,334	0,107	0,333	0,105	0,539	0,135	0,565	0,134	0,549	0,162
560,5	0,056	0,037	0,057	0,04	0,057	0,044	0,334	0,104	0,334	0,107	0,337	0,105	0,539	0,134	0,554	0,134	0,543	0,161
561	0,056	0,037	0,057	0,04	0,057	0,044	0,321	0,104	0,327	0,106	0,327	0,103	0,526	0,134	0,534	0,134	0,537	0,161
561,5	0,054	0,037	0,056	0,04	0,055	0,044	0,321	0,104	0,32	0,100	0,32	0,104	0,510	0,134	0,542	0,133	0,520	0,16
562	0,053	0,037	0,055	0,04	0,054	0,043	0,314	0,103	0,306	0,105	0,316	0,104	0,303	0,132	0,518	0,132	0,514	0,16
562,5	0.053	0.036	0.054	0.039	0.053	0.043	0.299	0.102	0,300	0.104	0,300	0.103	0,432	0,132	0.506	0.131	0,301	0.159
563	0.052	0,036	0,053	0,039	0.053	0,043	0,293	0,102	0,293	0.104	0,293	0,102	0,401	0,131	0,495	0,131	0,403	0,159
563,5	0,052	0,036	0,053	0,039	0,052	0,043	0,293	0,102	0,293	0,104	0,293	0,102	0,47	0,131	0,493	0,131	0,476	0,158
564	0,051	0,036	0,052	0,039	0,052	0,043	0,281	0,101	0,281	0,104	0,28	0,102	0,439	0,131	0,404	0,13	0,456	0,157
564,5	0,051	0,036	0,052	0,039	0,051	0,043	0,274	0,101	0,274	0,103	0,273	0,101	0,449	0,13	0,473	0,13	0,430	0,157
565	0,03	0,036	0,051	0.039	0,05	0,043	0,274	0,1	0,274	0,102	0,273	0,101	0,437	0,129	0,461	0,129	0,444	0,156
505	U,U43	0,030	0,00	0,009	0,00	0,043	0,200	U, I	0,201	0,102	0,201	υ, ι	0,420	0,123	0,40	0,120	0,400	0,130

565,5 0,048 566 0,048 566,5 0,047 567 0,046 567,5 0,045 568,5 0,044 569,5 0,043 570 0,043 571,5 0,041 572,5 0,04 573,5 0,039 574,5 0,038 575,5 0,036 576,5 0,036 576,5 0,036 576,5 0,034 577,5 0,034 578,5 0,034 578,5 0,034 579,5 0,034 579,5 0,033 580,5 0,032 581,5 0,031 582 0,031	,048 ,047 ,046 ,046 ,045 ,044 ,044 ,043 ,043	0,035 0,035 0,035 0,035 0,035 0,035 0,035 0,035	0,05 0,049 0,048 0,048 0,047	0,039 0,038 0,038 0,038	0,049	0,042 0,042	0,262	0,099	0,261	1								<u> </u>
5666,5 0,047 567 0,046 567,5 0,046 568,5 0,044 569,5 0,043 570 0,043 570,5 0,042 571,5 0,041 572,5 0,04 573,5 0,039 574,5 0,038 574,5 0,038 575,5 0,036 576,5 0,036 576,5 0,035 577,5 0,034 578,5 0,034 579 0,033 579,5 0,032 580 0,032 581 0,031 582 0,031	,047 ,046 ,046 ,045 ,044 ,044 ,043 ,043 ,042	0,035 0,035 0,035 0,035 0,035	0,048 0,048 0,047	0,038		0.042			0,201	0,101	0,261	0,1	0,415	0,128	0,44	0,128	0,422	0,155
567 0,046 567,5 0,046 568 0,045 568,5 0,044 569 0,043 570 0,043 570,5 0,042 571 0,041 572 0,04 573 0,039 574 0,038 574,5 0,038 575,5 0,036 576,5 0,036 576,5 0,035 577,5 0,034 578 0,034 579 0,033 580 0,032 581 0,031 582 0,031	,046 ,046 ,045 ,044 ,044 ,043 ,043 ,042	0,035 0,035 0,035 0,035	0,048 0,047		0.040	, , , ,	0,256	0,099	0,255	0,101	0,255	0,099	0,405	0,128	0,429	0,127	0,412	0,155
667,5 0,046 568 0,045 568 0,044 569 0,044 569,5 0,043 570 0,043 571 0,041 572 0,04 573 0,039 574 0,038 575 0,039 574,5 0,038 575 0,037 575,5 0,036 576 0,035 577 0,035 577 0,034 579 0,033 579 0,033 580 0,032 581 0,031 582 0,031	,046 ,045 ,044 ,044 ,043 ,043 ,042	0,035 0,035 0,035	0,047	0.038	0,048	0,042	0,25	0,099	0,25	0,1	0,25	0,099	0,395	0,127	0,419	0,126	0,401	0,154
568 0,045 68,5 0,044 569 0,043 570 0,043 570 0,042 571 0,041 71,5 0,04 572 0,04 573 0,039 73,5 0,039 574 0,038 575 0,036 576 0,036 576,5 0,036 576,5 0,036 576,5 0,034 577 0,034 578 0,034 579 0,033 580 0,032 581 0,031 81,5 0,031 582 0,031	,045 ,044 ,044 ,043 ,043 ,042	0,035 0,035		0,000	0,047	0,042	0,244	0,098	0,244	0,1	0,243	0,098	0,385	0,126	0,408	0,126	0,391	0,154
68,5 0,044 569 0,044 69,5 0,043 570 0,043 70,5 0,042 571 0,041 71,5 0,04 72,5 0,04 573 0,039 73,5 0,039 574 0,038 575 0,037 75,5 0,036 76,5 0,036 76,5 0,034 578 0,034 579 0,033 78,5 0,033 580 0,032 80,5 0,032 581 0,031 81,5 0,031 582 0,031	,044 ,044 ,043 ,043 ,042	0,035	0 0 10	0,038	0,046	0,042	0,238	0,098	0,238	0,1	0,238	0,098	0,375	0,126	0,398	0,125	0,38	0,153
569 0,044 69,5 0,043 570 0,043 571 0,041 571 0,041 572 0,04 573 0,039 73,5 0,039 574 0,038 575 0,037 75,5 0,036 576 0,035 577 0,035 578 0,034 579 0,033 79,5 0,033 580 0,032 80,5 0,032 581 0,031 81,5 0,031 582 0,031	,044 ,043 ,043 ,042		0,046	0,038	0,046	0,042	0,232	0,097	0,232	0,099	0,232	0,097	0,365	0,125	0,388	0,125	0,37	0,153
69,5 0,043 570 0,043 70,5 0,042 571 0,041 71,5 0,041 572 0,04 72,5 0,04 73,5 0,039 574 0,038 575 0,037 75,5 0,036 576 0,035 577 0,035 578 0,034 78,5 0,034 579 0,033 580 0,032 581 0,031 31,5 0,031 582 0,031	,043 ,043 ,042	0.034	0,046	0,038	0,045	0,042	0,227	0,097	0,227	0,098	0,226	0,097	0,356	0,125	0,379	0,124	0,361	0,152
570 0,043 70,5 0,042 571 0,041 71,5 0,041 572 0,04 573 0,039 73,5 0,039 574 0,038 575 0,037 75,5 0,036 576 0,035 577 0,035 578 0,034 579 0,033 79,5 0,033 580 0,032 80,5 0,032 581 0,031 81,5 0,031 582 0,031	,043 ,042		0,045	0,038	0,045	0,042	0,221	0,096	0,221	0,098	0,221	0,096	0,346	0,124	0,369	0,123	0,35	0,151
70,5 0,042 571 0,041 71,5 0,041 572 0,04 573 0,039 73,5 0,038 574 0,038 575 0,037 75,5 0,036 576 0,035 577 0,035 578 0,034 579 0,033 580 0,032 80,5 0,032 581 0,031 81,5 0,031 582 0,031	,042	0,034	0,044	0,037	0,044	0,041	0,216	0,096	0,216	0,097	0,215	0,096	0,337	0,123	0,359	0,122	0,341	0,151
571 0,041 71,5 0,041 572 0,04 573 0,039 73,5 0,038 574 0,038 575 0,037 75,5 0,036 576 0,035 577 0,035 578 0,034 579 0,033 79,5 0,033 580 0,032 80,5 0,032 581 0,031 81,5 0,031 582 0,031		0,034	0,044	0,037	0,043	0,041	0,211	0,095	0,211	0,097	0,21	0,095	0,328	0,122	0,351	0,122	0,332	0,15
71,5 0,041 572 0,04 72,5 0,04 573 0,039 73,5 0,038 574 0,038 74,5 0,037 75,5 0,036 576 0,035 577 0,035 578 0,034 579 0,033 79,5 0,033 580 0,032 80,5 0,032 581 0,031 81,5 0,031 582 0,031	0.4.4	0,034	0,043	0,037	0,043	0,041	0,205	0,095	0,205	0,096	0,205	0,095	0,319	0,122	0,341	0,121	0,323	0,149
572 0,04 72,5 0,04 573 0,039 73,5 0,038 574 0,038 74,5 0,036 575 0,036 576 0,035 577 0,035 577 0,034 578 0,034 579 0,033 79,5 0,033 580 0,032 80,5 0,032 581 0,031 81,5 0,031 582 0,031	•	0,034	0,043	0,037	0,042	0,041	0,2	0,094	0,2	0,096	0,2	0,094	0,31	0,121	0,332	0,121	0,314	0,149
72,5 0,04 573 0,039 73,5 0,039 574 0,038 74,5 0,037 75,5 0,036 576 0,035 577 0,035 577 0,034 578 0,034 579 0,033 79,5 0,033 580 0,032 80,5 0,032 581 0,031 81,5 0,031 582 0,031		0,034	0,042	0,037	0,041	0,041	0,195	0,094	0,195	0,095	0,195	0,094	0,301	0,12	0,323	0,12	0,305	0,148
573 0,039 73,5 0,039 574 0,038 74,5 0,036 575 0,036 576 0,035 577 0,035 577 0,034 578 0,034 579 0,033 79,5 0,033 580 0,032 80,5 0,032 581 0,031 81,5 0,031 582 0,031		0,034	0,041	0,037	0,041	0,041	0,19	0,093	0,19	0,095	0,19	0,093	0,293	0,12	0,315	0,119	0,296	0,147
73,5 0,039 574 0,038 74,5 0,038 575 0,036 576 0,036 576 0,035 577 0,035 577 0,034 578 0,034 579 0,033 580 0,032 80,5 0,032 88,5 0,031 81,5 0,031 582 0,031		0,033	0,041	0,037	0,04	0,04	0,185	0,092	0,185	0,094	0,185	0,093	0,284	0,119	0,306	0,118	0,287	0,146
574 0,038 74,5 0,038 575 0,037 75,5 0,036 576 0,035 577 0,035 578 0,034 578 0,034 579 0,033 79,5 0,033 580 0,032 80,5 0,032 581 0,031 81,5 0,031 582 0,031		0,033	0,04	0,036	0,04	0,04	0,181	0,092	0,181	0,094	0,18	0,092	0,276	0,118	0,298	0,118	0,279	0,146
74,5 0,038 575 0,037 75,5 0,036 576 0,035 577 0,035 577 0,034 578 0,034 579 0,033 579 0,033 580 0,032 80,5 0,032 581 0,031 81,5 0,031 582 0,031		0,033	0,04	0,036	0,039	0,04	0,176	0,091	0,176	0,093	0,176	0,092	0,268	0,117	0,29	0,117	0,271	0,145
575 0,037 75,5 0,036 576 0,036 76,5 0,035 577 0,035 577 0,034 578 0,034 579 0,033 79,5 0,033 580 0,032 80,5 0,032 581 0,031 81,5 0,031 582 0,031		0,033	0,039	0,036	0,039	0,04	0,172	0,091	0,171	0,092	0,171	0,091	0,26	0,117	0,282	0,116	0,263	0,144
75,5 0,036 576 0,036 76,5 0,035 577 0,035 577,5 0,034 578 0,034 579 0,033 79,5 0,033 580 0,032 80,5 0,032 581 0,031 81,5 0,031 582 0,031		0,033	0,039	0,036	0,038	0,04	0,167	0,09	0,167	0,092	0,167	0,09	0,252	0,116	0,274	0,115	0,255	0,143
576 0,036 76,5 0,035 577 0,034 578 0,034 578 0,034 579 0,033 79,5 0,033 580 0,032 80,5 0,032 581 0,031 81,5 0,031 582 0,031		0,033	0,038	0,036	0,038	0,04	0,163	0,09	0,163	0,091	0,163	0,09	0,245	0,115	0,266	0,115	0,247	0,143
76,5 0,035 577 0,035 577,5 0,034 578 0,034 78,5 0,034 579 0,033 79,5 0,033 580 0,032 80,5 0,032 581 0,031 81,5 0,031 582 0,031		0,033	0,038	0,036	0,037	0,04	0,158	0,089	0,158	0,091	0,158	0,089	0,237	0,114	0,258	0,114	0,24	0,142
577 0,035 77,5 0,034 578 0,034 78,5 0,034 579 0,033 79,5 0,032 80,5 0,032 581 0,031 81,5 0,031 582 0,031		0,032	0,037	0,035	0,037	0,039	0,154	0,088	0,154	0,09	0,154	0,089	0,23	0,113	0,251	0,113	0,232	0,141
77,5 0,034 578 0,034 78,5 0,034 579 0,033 79,5 0,032 80,5 0,032 581 0,031 81,5 0,031 582 0,031		0,032	0,037	0,035	0,036	0,039	0,15	0,088	0,15	0,089	0,15	0,088	0,224	0,113	0,244	0,112	0,225	0,14
578 0,034 78,5 0,034 579 0,033 79,5 0,032 580 0,032 80,5 0,031 81,5 0,031 582 0,031		0,032	0,036	0,035	0,036	0,039	0,146	0,087	0,146	0,089	0,146	0,087	0,217	0,112	0,237	0,111	0,218	0,139
78,5 0,034 579 0,033 79,5 0,033 580 0,032 80,5 0,032 581 0,031 81,5 0,031 582 0,031		0,032	0,036	0,035	0,035	0,039	0,142	0,087	0,142	0,088	0,142	0,087	0,21	0,111	0,23	0,11	0,211	0,139
579 0,033 79,5 0,033 580 0,032 80,5 0,032 581 0,031 81,5 0,031 582 0,031		0,032	0,035	0,035	0,035	0,039	0,138	0,086	0,138	880,0	0,138	0,086	0,204	0,11	0,224	0,11	0,205	0,138
79,5 0,033 580 0,032 80,5 0,032 581 0,031 81,5 0,031 582 0,031		0,032	0,035	0,035	0,034	0,039	0,134	0,085	0,134	0,087	0,134	0,085	0,197	0,109	0,217	0,109	0,198	0,137
580 0,032 80,5 0,032 581 0,031 81,5 0,031 582 0,031		0,032	0,034	0,035	0,034	0,039	0,131	0,085	0,131	0,086	0,131	0,085	0,192	0,108	0,211	0,108	0,192	0,136
80,5 0,032 581 0,031 81,5 0,031 582 0,031		0,031	0,034	0,034	0,033	0,039	0,128	0,084	0,127	0,086	0,127	0,084	0,186	0,108	0,205	0,107	0,186	0,135
581 0,031 81,5 0,031 582 0,031		0,031	0,033	0,034	0,033	0,038	0,124	0,084	0,124	0,085	0,124	0,084	0,18	0,107	0,2	0,107	0,18	0,135
81,5 0,031 582 0,031		0,031 0,031	0,033	0,034	0,032 0,032	0,038	0,121 0,118	0,083 0,082	0,121	0,084	0,121 0,118	0,083	0,175 0,169	0,106 0,105	0,194 0,189	0,106 0,105	0,175 0,169	0,134 0,133
582 0,031		0,031	0,033	0,034	0,032	0,038		0,082	0,118	0,084	0,118							
			0,032 0,032	0,034	0,032	0,038	0,115 0,112	0,082	0,115 0,112	0,083	0,115	0,082 0,081	0,165	0,104 0,103	0,184 0,179	0,104 0,103	0,164 0,159	0,132 0,132
ያንደ ከቦለን		0,031	0,032	0,033	0,031	0,038	0,112	0,081	0,112	0,083	0,112	0,081	0,16 0,155	0,103	0,179	0,103	0,159	0,132
82,5 0,03 583 0,03		0,03	0,032	0,033	0,031	0,038	0,109	0,081	0,109	0,082	0,109	0,08	0,155	0,102	0,174	0,102	0,155	0,131
83,5 0,029		0,03	0,031	0,033	0,03	0,037	0,106	0,08	0,100	0,081	0,108	0,08	0,15	0,101	0,17	0,101	0,15	0,13
								,									-, -	
584 0,029 84,5 0,029		0,03	0,03	0,033	0,03	0,037 0,037	0,101 0,098	0,079 0,078	0,101 0,098	0,08	0,101 0,098	0,078 0,078	0,141 0,137	0,1 0,099	0,161 0,156	0,1 0,099	0,141 0,136	0,128 0,127
585 0,029		0,03	0,03	0,033	0,03	0,037	0,096	0,078	0,096	0,079	0,096	0,078	0,137	0,098	0,150	0,099	0,130	0,127
85,5 0,028		0,029	0,03	0,032	0,029	0,037	0,090	0,077	0,090	0,079	0,090	0,077	0,133	0,096	0,132	0,098	0,132	0,127
586 0,028	U38	0,029	0,029	0,032	0,029	0,036	0,093	0,077	0,093	0,078	0,093	0,076	0,129	0,097	0,146	0,097	0,126	0,126

								_										
586,5	0,027	0,029	0,029	0,032	0,028	0,036	0,089	0,075	0,089	0,076	0,089	0,075	0,121	0,095	0,141	0,095	0,12	0,124
587	0,027	0,029	0,028	0,032	0,028	0,036	0,086	0,075	0,086	0,076	0,086	0,074	0,118	0,094	0,137	0,094	0,117	0,123
587,5	0,027	0,029	0,028	0,031	0,027	0,036	0,084	0,074	0,084	0,075	0,084	0,074	0,114	0,093	0,134	0,094	0,113	0,122
588	0,027	0,028	0,028	0,031	0,027	0,036	0,082	0,073	0,082	0,075	0,082	0,073	0,111	0,092	0,13	0,093	0,109	0,122
588,5	0,026	0,028	0,027	0,031	0,027	0,035	0,08	0,073	0,08	0,074	0,08	0,072	0,108	0,092	0,127	0,092	0,106	0,121
589	0,026	0,028	0,027	0,031	0,027	0,035	0,078	0,072	0,078	0,073	0,078	0,072	0,105	0,091	0,124	0,091	0,103	0,12
589,5	0,026	0,028	0,027	0,031	0,026	0,035	0,076	0,071	0,076	0,073	0,076	0,071	0,102	0,09	0,121	0,09	0,1	0,119
590	0,025	0,028	0,027	0,031	0,026	0,035	0,075	0,071	0,074	0,072	0,074	0,07	0,099	0,089	0,119	0,089	0,097	0,118
590,5	0,025	0,027	0,026	0,03	0,026	0,035	0,073	0,07	0,073	0,071	0,073	0,07	0,096	0,088	0,116	0,089	0,094	0,117
591	0,025	0,027	0,026	0,03	0,025	0,035	0,071	0,07	0,071	0,071	0,071	0,069	0,093	0,087	0,113	0,088	0,091	0,116
591,5	0,025	0,027	0,026	0,03	0,025	0,034	0,069	0,069	0,069	0,07	0,069	0,068	0,09	0,087	0,11	0,087	0,088	0,115
592	0,024	0,027	0,025	0,03	0,025	0,034	0,067	0,068	0,067	0,069	0,067	0,068	0,088	0,086	0,108	0,086	0,086	0,114
592,5	0,024	0,026	0,025	0,029	0,024	0,034	0,066	0,067	0,066	0,069	0,066	0,067	0,085	0,085	0,105	0,085	0,083	0,113
593	0,024	0,026	0,025	0,029	0,024	0,034	0,064	0,067	0,064	0,068	0,064	0,066	0,083	0,084	0,103	0,084	0,081	0,113
593,5	0,023	0,026	0,024	0,029	0,024	0,033	0,063	0,066	0,063	0,067	0,063	0,066	0,081	0,083	0,1	0,083	0,078	0,112
594	0,023	0,026	0,024	0,029	0,024	0,033	0,061	0,065	0,061	0,066	0,061	0,065	0,078	0,082	0,098	0,082	0,076	0,111
594,5	0,023	0,026	0,024	0,029	0,023	0,033	0,06	0,065	0,06	0,066	0,06	0,064	0,076	0,081	0,096	0,082	0,074	0,11
595	0,023	0,025	0,024	0,028	0,023	0,033	0,058	0,064	0,058	0,065	0,058	0,064	0,074	0,08	0,094	0,081	0,071	0,109
595,5	0,022	0,025	0,023	0,028	0,023	0,033	0,057	0,063	0,057	0,064	0,057	0,063	0,072	0,079	0,092	0,08	0,069	0,108
596	0,022	0,025	0,023	0,028	0,022	0,032	0,056	0,063	0,055	0,064	0,055	0,062	0,07	0,078	0,089	0,079	0,067	0,107
596,5	0,022	0,025	0,023	0,028	0,022	0,032	0,054	0,062	0,054	0,063	0,054	0,062	0,068	0,078	0,087	0,078	0,065	0,106
597	0,022	0,024	0,022	0,027	0,022	0,032	0,053	0,061	0,053	0,063	0,053	0,061	0,066	0,077	0,085	0,077	0,063	0,105
597,5	0,021	0,024	0,022	0,027	0,022	0,032	0,052	0,061	0,052	0,062	0,052	0,06	0,064	0,076	0,084	0,077	0,061	0,105
598	0,021	0,024	0,022	0,027	0,021	0,032	0,05	0,06	0,05	0,061	0,05	0,06	0,062	0,075	0,082	0,076	0,06	0,104
598,5	0,021	0,024	0,022	0,027	0,021	0,031	0,049	0,059	0,049	0,061	0,049	0,059	0,061	0,074	0,08	0,075	0,058	0,103
599	0,021	0,024	0,022	0,026	0,021	0,031	0,048	0,059	0,048	0,06	0,048	0,058	0,059	0,074	0,079	0,074	0,056	0,102
599,5	0,021	0,023	0,021	0,026	0,021	0,031	0,047	0,058	0,047	0,059	0,047	0,058	0,057	0,073	0,077	0,073	0,055	0,101
600	0,02	0,023	0,021	0,026	0,02	0,031	0,046	0,057	0,046	0,059	0,046	0,057	0,056	0,072	0,076	0,073	0,053	0,1
600,5	0,02	0,023	0,021	0,026	0,02	0,031	0,045	0,057	0,045	0,058	0,045	0,056	0,054	0,071	0,074	0,072	0,052	0,1
601	0,02	0,023	0,02	0,025	0,02	0,03	0,044	0,056	0,044	0,057	0,044	0,056	0,053	0,071	0,073	0,071	0,05	0,099
601,5	0,02	0,022	0,02	0,025	0,02	0,03	0,043	0,056	0,043	0,057	0,043	0,055	0,052	0,07	0,071	0,07	0,049	0,098
602	0,019	0,022	0,02	0,025	0,019	0,03	0,042	0,055	0,042	0,056	0,042	0,054	0,05	0,069	0,07	0,07	0,047	0,097
602,5	0,019	0,022	0,02	0,025	0,019	0,03	0,041	0,054	0,041	0,055	0,041	0,054	0,049	0,068	0,069	0,069	0,046	0,096
603	0,019	0,022	0,02	0,024	0,019	0,029	0,04	0,054	0,04	0,055	0,04	0,053	0,048	0,067	0,068	0,068	0,045	0,096
603,5	0,019	0,022	0,019	0,024	0,019	0,029	0,039	0,053	0,039	0,054	0,039	0,053	0,047	0,067	0,067	0,067	0,044	0,095
604	0,018	0,021	0,019	0,024	0,019	0,029	0,038	0,052	0,038	0,053	0,038	0,052	0,045	0,066	0,065	0,066	0,042	0,094
604,5	0,018	0,021	0,019	0,024	0,018	0,029	0,037	0,052	0,037	0,053	0,037	0,051	0,044	0,065	0,064	0,066	0,041	0,093
605	0,018	0,021	0,019	0,024	0,018	0,029	0,037	0,051	0,037	0,052	0,037	0,051	0,043	0,064	0,063	0,065	0,04	0,093
605,5	0,018	0,021	0,018	0,023	0,018	0,028	0,036	0,051	0,036	0,052	0,036	0,05	0,042	0,064	0,062	0,064	0,039	0,092
606	0,018	0,02	0,018	0,023	0,018	0,028	0,035	0,05	0,035	0,051	0,035	0,05	0,041	0,063	0,062	0,063	0,038	0,091
606,5	0,017	0,02	0,018	0,023	0,018	0,028	0,035	0,05	0,034	0,05	0,035	0,049	0,04	0,062	0,061	0,063	0,037	0,09
607	0,017	0,02	0,018	0,023	0,017	0,028	0,034	0,049	0,034	0,05	0,034	0,048	0,039	0,062	0,06	0,062	0,036	0,09
607,5	0,017	0,02	0,018	0,022	0,017	0,027	0,033	0,048	0,033	0,049	0,033	0,048	0,038	0,061	0,059	0,062	0,035	0,089
608	0,017	0,019	0,017	0,022	0,017	0,027	0,032	0,048	0,032	0,049	0,032	0,047	0,037	0,06	0,058	0,061	0,034	0,088

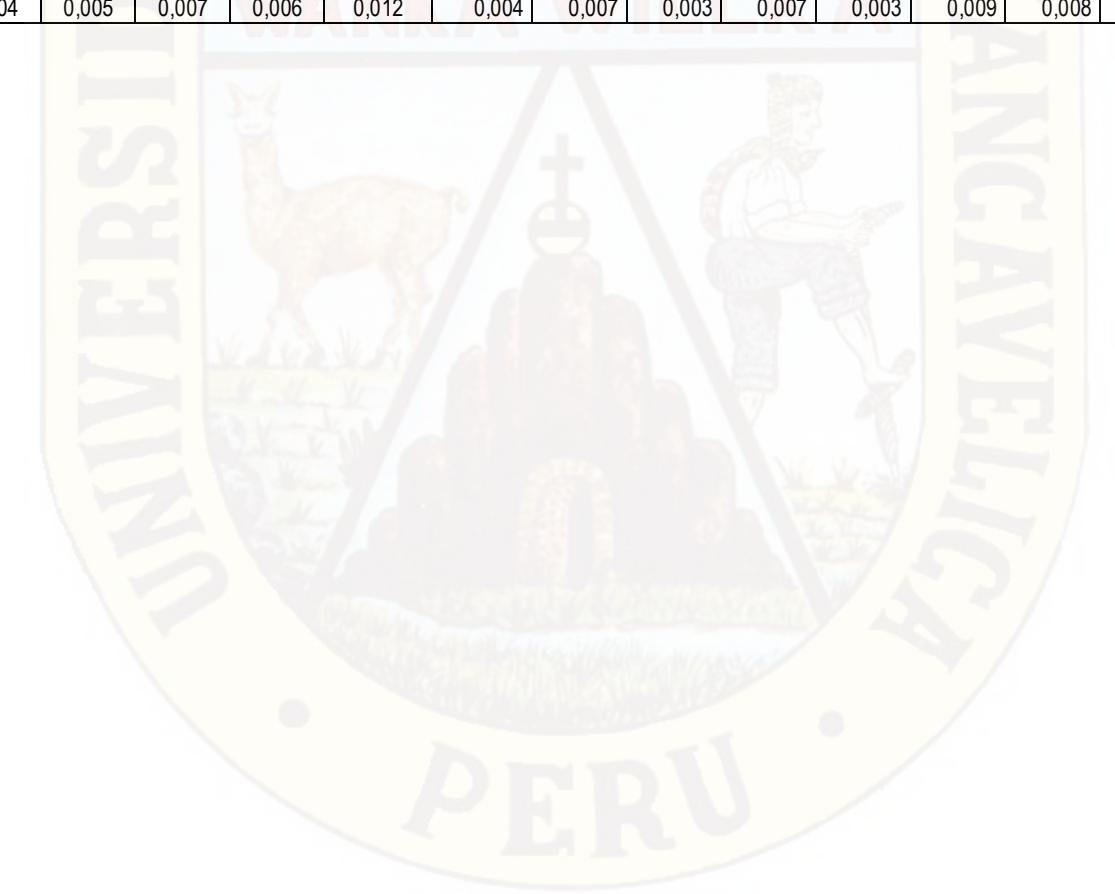
																		•
608,5	0.017	0,019	0,017	0,022	0,017	0,027	0.032	0.047	0,032	0,048	0,032	0,047	0.037	0,06	0,057	0.06	0.033	0,088
609	0,017	0,019	0,017	0,022	0,017	0,027	0,032	0.047	0,032	0.048	0,032	0,047	0,036	0,059	0,057	0.06	0,033	0,087
609,5	0.016	0,019	0,017	0,022	0,017	0,027	0.03	0.046	0,03	0,047	0,03	0,046	0.035	0,059	0,056	0.059	0,032	0.087
610	0,016	0,019	0,017	0,021	0,016	0,027	0,03	0.046	0,03	0,047	0,03	0,045	0,034	0,058	0,055	0,059	0,031	0,086
610,5	0,016	0,019	0,016	0,021	0,016	0,026	0,029	0,045	0,029	0,046	0,029	0,045	0,033	0,057	0,055	0.058	0,03	0.085
611	0.016	0.018	0,016	0,021	0,016	0,026	0.029	0,045	0,029	0,045	0,029	0,044	0,033	0,057	0.054	0.057	0,029	0,085
611,5	0.016	0,018	0,016	0,021	0,016	0,026	0.028	0,044	0,028	0,045	0.028	0,044	0,032	0,056	0,053	0.057	0.029	0.084
612	0,015	0,018	0,016	0,021	0,016	0,026	0,028	0.044	0,027	0,044	0,027	0,043	0,031	0,056	0,053	0,056	0.028	0,083
612,5	0.015	0,018	0,016	0,02	0,015	0.026	0,027	0,043	0,027	0,044	0,027	0,043	0.031	0,055	0.052	0.055	0,028	0.083
613	0,015	0.018	0,016	0,02	0,015	0,026	0,027	0,043	0,026	0,043	0,026	0,042	0,03	0,054	0.051	0,055	0,027	0.082
613,5	0,015	0,018	0,016	0.02	0,015	0.025	0.026	0,042	0.026	0,043	0,026	0,042	0.03	0,054	0,051	0,054	0,026	0,082
614	0,015	0,017	0,015	0,02	0,015	0,025	0.025	0,042	0,025	0.042	0,025	0,041	0,029	0,053	0,05	0,054	0.026	0,081
614,5	0,015	0,017	0,015	0,02	0,015	0,025	0,025	0,041	0,025	0,042	0,025	0,041	0,028	0,053	0,05	0,053	0,025	0,08
615	0,015	0,017	0,015	0,019	0,015	0,025	0,025	0,041	0,025	0,041	0,025	0,04	0,028	0,052	0,05	0,053	0,025	0,08
615,5	0,014	0,017	0,015	0,019	0,014	0,025	0,024	0,04	0,024	0,041	0,024	0,04	0,027	0,052	0,049	0,052	0,024	0,079
616	0,014	0,017	0,015	0,019	0,014	0,025	0,024	0,04	0,024	0,04	0,024	0,039	0,027	0,051	0,049	0,052	0,024	0,079
616,5	0,014	0,016	0,015	0,019	0,014	0,024	0,023	0,039	0,023	0,04	0,023	0,039	0,026	0,05	0,048	0,051	0,023	0,078
617	0,014	0,016	0,014	0,019	0,014	0,024	0,023	0,039	0,023	0,039	0,023	0,038	0,026	0,05	0,048	0,05	0,022	0,078
617,5	0,014	0,016	0,014	0,019	0,014	0,024	0,022	0,038	0,022	0,039	0,022	0,038	0,025	0,049	0,048	0,05	0,022	0,077
618	0,014	0,016	0,014	0,018	0,014	0,024	0,022	0,038	0,022	0,038	0,022	0,037	0,025	0,049	0,047	0,049	0,021	0,076
618,5	0,014	0,016	0,014	0,018	0,014	0,024	0,022	0,037	0,022	0,038	0,021	0,037	0,024	0,048	0,047	0,049	0,021	0,076
619	0,013	0,016	0,014	0,018	0,013	0,024	0,021	0,037	0,021	0,037	0,021	0,037	0,024	0,048	0,047	0,048	0,021	0,076
619,5	0,013	0,015	0,014	0,018	0,013	0,023	0,021	0,037	0,021	0,037	0,021	0,036	0,024	0,047	0,046	0,048	0,02	0,075
620	0,013	0,015	0,013	0,018	0,013	0,023	0,02	0,036	0,02	0,037	0,02	0,036	0,023	0,047	0,046	0,047	0,02	0,075
620,5	0,013	0,015	0,013	0,018	0,013	0,023	0,02	0,036	0,02	0,036	0,02	0,035	0,023	0,046	0,046	0,047	0,019	0,074
621	0,013	0,015	0,013	0,018	0,013	0,023	0,02	0,035	0,02	0,036	0,02	0,035	0,022	0,046	0,046	0,046	0,019	0,074
621,5	0,013	0,015	0,013	0,017	0,013	0,023	0,019	0,035	0,019	0,035	0,019	0,034	0,022	0,045	0,045	0,046	0,019	0,073
622	0,013	0,015	0,013	0,017	0,012	0,023	0,019	0,034	0,019	0,035	0,019	0,034	0,022	0,045	0,045	0,045	0,018	0,073
622,5	0,012	0,014	0,013	0,017	0,012	0,022	0,019	0,034	0,019	0,034	0,019	0,034	0,021	0,044	0,045	0,045	0,018	0,072
623	0,012	0,014	0,013	0,017	0,012	0,022	0,018	0,034	0,018	0,034	0,018	0,033	0,021	0,044	0,044	0,044	0,017	0,072
623,5	0,012	0,014	0,013	0,017	0,012	0,022	0,018	0,033	0,018	0,034	0,018	0,033	0,02	0,043	0,044	0,044	0,017	0,071
624	0,012	0,014	0,012	0,017	0,012	0,022	0,018	0,033	0,018	0,033	0,018	0,032	0,02	0,043	0,044	0,043	0,017	0,071
624,5	0,012	0,014	0,012	0,016	0,012	0,022	0,017	0,032	0,017	0,033	0,017	0,032	0,02	0,042	0,043	0,043	0,016	0,07
625	0,012	0,014	0,012	0,016	0,012	0,022	0,017	0,032	0,017	0,032	0,017	0,032	0,019	0,042	0,043	0,042	0,016	0,069
625,5	0,012	0,013	0,012	0,016	0,012	0,021	0,017	0,032	0,017	0,032	0,017	0,031	0,019	0,041	0,043	0,042	0,016	0,069
626	0,012	0,013	0,012	0,016	0,012	0,021	0,017	0,031	0,016	0,031	0,017	0,031	0,019	0,041	0,043	0,041	0,015	0,068
626,5	0,012	0,013	0,012	0,016	0,011	0,021	0,016	0,031	0,016	0,031	0,016	0,03	0,019	0,04	0,043	0,041	0,015	0,068
627	0,012	0,013	0,012	0,016	0,011	0,021	0,016	0,031	0,016	0,031	0,016	0,03	0,018	0,04	0,043	0,04	0,015	0,067
627,5	0,011	0,013	0,012	0,016	0,011	0,021	0,016	0,03	0,016	0,03	0,016	0,03	0,018	0,039	0,042	0,04	0,015	0,067
628	0,011	0,013	0,012	0,016	0,011	0,021	0,016	0,03	0,016	0,03	0,016	0,029	0,018	0,039	0,042	0,039	0,014	0,067
628,5	0,011	0,013	0,012	0,015	0,011	0,021	0,015	0,03	0,015	0,03	0,015	0,029	0,018	0,038	0,042	0,039	0,014	0,066
629	0,011	0,013	0,011	0,015	0,011	0,02	0,015	0,029	0,015	0,029	0,015	0,029	0,017	0,038	0,042	0,038	0,014	0,066

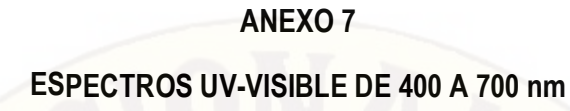
								_	,									
	la a 4 4	0.040	0.044	lo o / =	lo 0.44	lo 00	la a 4 =	la a a a	la a 4 =	la a a a	la a 4 =		la a 1=			la ana	h a	
629,5	0,011	0,012	0,011	0,015	0,011	0,02	0,015	0,029	0,015	0,029	0,015	0,028	0,017	0,038	0,041	0,038	0,014	0,065
630	0,011	0,012	0,011	0,015	0,011	0,02	0,015	0,028	0,015	0,029	0,015	0,028	0,017	0,037	0,041	0,037	0,013	0,064
630,5	0,011	0,012	0,011	0,015	0,011	0,02	0,014	0,028	0,014	0,028	0,014	0,028	0,017	0,037	0,041	0,037	0,013	0,064
631	0,011	0,012	0,011	0,015	0,011	0,02	0,014	0,028	0,014	0,028	0,014	0,027	0,016	0,036	0,041	0,037	0,013	0,064
631,5	0,011	0,012	0,011	0,015	0,01	0,02	0,014	0,028	0,014	0,028	0,014	0,027	0,016	0,036	0,041	0,036	0,013	0,063
632	0,01	0,012	0,011	0,015	0,01	0,02	0,014	0,027	0,014	0,027	0,014	0,027	0,016	0,036	0,041	0,036	0,013	0,063
632,5	0,01	0,012	0,011	0,015	0,01	0,02	0,014	0,027	0,014	0,027	0,013	0,026	0,016	0,035	0,04	0,035	0,012	0,062
633	0,01	0,012	0,011	0,015	0,01	0,02	0,013	0,027	0,013	0,027	0,013	0,026	0,016	0,035	0,04	0,035	0,012	0,062
633,5	0,01	0,012	0,011	0,014	0,01	0,02	0,013	0,026	0,013	0,027	0,013	0,026	0,015	0,034	0,04	0,035	0,012	0,062
634	0,01	0,012	0,011	0,014	0,01	0,02	0,013	0,026	0,013	0,026	0,013	0,026	0,015	0,034	0,04	0,034	0,012	0,061
634,5	0,01	0,011	0,01	0,014	0,01	0,019	0,013	0,026	0,013	0,026	0,013	0,025	0,015	0,034	0,04	0,034	0,012	0,061
635	0,01	0,011	0,01	0,014	0,01	0,019	0,013	0,026	0,013	0,026	0,013	0,025	0,015	0,033	0,04	0,033	0,011	0,06
635,5	0,01	0,011	0,01	0,014	0,01	0,019	0,013	0,025	0,013	0,025	0,013	0,025	0,015	0,033	0,04	0,033	0,011	0,06
636	0,01	0,011	0,01	0,014	0,01	0,019	0,012	0,025	0,012	0,025	0,012	0,024	0,015	0,032	0,04	0,033	0,011	0,06
636,5	0,01	0,011	0,01	0,014	0,01	0,019	0,012	0,025	0,012	0,025	0,012	0,024	0,014	0,032	0,04	0,032	0,011	0,059
637	0,01	0,011	0,01	0,014	0,01	0,019	0,012	0,024	0,012	0,025	0,012	0,024	0,014	0,032	0,04	0,032	0,011	0,059
637,5	0,01	0,011	0,01	0,014	0,01	0,019	0,012	0,024	0,012	0,024	0,012	0,024	0,014	0,031	0,039	0,031	0,011	0,059
638	0,01	0,011	0,01	0,013	0,01	0,019	0,012	0,024	0,012	0,024	0,012	0,023	0,014	0,031	0,039	0,031	0,011	0,058
638,5	0,01	0,011	0,01	0,013	0,009	0,019	0,012	0,023	0,011	0,024	0,012	0,023	0,014	0,03	0,039	0,031	0,01	0,058
639	0,01	0,01	0,01	0,013	0,009	0,019	0,011	0,023	0,011	0,023	0,011	0,023	0,014	0,03	0,039	0,03	0,01	0,057
639,5	0,009	0,01	0,01	0,013	0,009	0,019	0,011	0,023	0,011	0,023	0,011	0,023	0,014	0,03	0,039	0,03	0,01	0,057
640	0,009	0,01	0,01	0,013	0,009	0,018	0,011	0,023	0,011	0,023	0,011	0,022	0,013	0,029	0,039	0,029	0,01	0,056
640,5	0,009	0,01	0,009	0,013	0,009	0,018	0,011	0,022	0,011	0,023	0,011	0,022	0,013	0,029	0,039	0,029	0,01	0,056
641	0,009	0,01	0,009	0,013	0,009	0,018	0,011	0,022	0,011	0,022	0,011	0,022	0,013	0,028	0,039	0,029	0,01	0,055
641,5	0,009	0,01	0,009	0,013	0,009	0,018	0,011	0,022	0,011	0,022	0,011	0,022	0,013	0,028	0,039	0,028	0,01	0,055
642	0,009	0,01	0,009	0,013	0,009	0,018	0,011	0,022	0,011	0,022	0,011	0,021	0,013	0,028	0,039	0,028	0,009	0,055
642,5	0,009	0,01	0,009	0,012	0,009	0,018	0,011	0,021	0,01	0,022	0,011	0,021	0,013	0,027	0,039	0,028	0,009	0,054
643	0,009	0,01	0,009	0,012	0,009	0,018	0,01	0,021	0,01	0,021	0,01	0,021	0,013	0,027	0,039	0,027	0,009	0,054
643,5	0,009	0,009	0,009	0,012	0,009	0,018	0,01	0,021	0,01	0,021	0,01	0,021	0,013	0,027	0,038	0,027	0,009	0,053
644	0,009	0,009	0,009	0,012	0,009	0,018	0,01	0,021	0,01	0,021	0,01	0,02	0,012	0,026	0,038	0,027	0,009	0,053
644,5	0,009	0,009	0,009	0,012	0,009	0,018	0,01	0,02	0,01	0,021	0,01	0,02	0,012	0,026	0,038	0,026	0,009	0,053
645	0,009	0,009	0,009	0,012	0,009	0,018	0,01	0,02	0,01	0,02	0,01	0,02	0,012	0,026	0,039	0,026	0,009	0,052
645,5	0,008	0,009	0,009	0,012	0,009	0,018	0,01	0,02	0,01	0,02	0,01	0,02	0,012	0,026	0,038	0,026	0,009	0,052
646	0,008	0,009	0,009	0,012	0,009	0,017	0,01	0,02	0,01	0,02	0,01	0,019	0,012	0,025	0,038	0,025	0,008	0,051
646,5	0,008	0,009	0,009	0,012	0,008	0,017	0,01	0,019	0,01	0,02	0,01	0,019	0,012	0,025	0,038	0,025	0,008	0,051
647	0,008	0,009	0,009	0,012	0,009	0,017	0,01	0,019	0,009	0,019	0,009	0,019	0,012	0,025	0,038	0,025	0,008	0,05
647,5	0,008	0,009	0,009	0,012	0,009	0,017	0,01	0,019	0,009	0,019	0,009	0,019	0,012	0,024	0,038	0,025	0,008	0,05
648	0,008	0,009	0,009	0,011	0,008	0,017	0,01	0,019	0,009	0,019	0,009	0,019	0,012	0,024	0,038	0,024	0,008	0,049
648,5	0,008	0,009	0,009	0,011	0,008	0,017	0,009	0,019	0,009	0,019	0,009	0,018	0,012	0,024	0,038	0,024	0,008	0,049
649	0,008	0,009	0,009	0,011	0,008	0,017	0,009	0,018	0,009	0,018	0,009	0,018	0,012	0,023	0,038	0,024	0,008	0,049
649,5	0,008	0,008	0,009	0,011	0,008	0,017	0,009	0,018	0,009	0,018	0,009	0,018	0,012	0,023	0,038	0,023	0,008	0,048
650	0,008	0,008	0,009	0,011	0,008	0,017	0,009	0,018	0,009	0,018	0,009	0,018	0,011	0,023	0,038	0,023	0,008	0,048
650,5	0,008	0,008	0,009	0,011	0,008	0,017	0,009	0,018	0,009	0,018	0,009	0,018	0,011	0,022	0,038	0,023	0,008	0,047
651	0,008	0,008	0,009	0,011	0,008	0,017	0,009	0,018	0,009	0,018	0,009	0,017	0,011	0,022	0,037	0,022	0,007	0,047

351,5	0,008	0,008	0,009	0,011	0,008	0,017	0,009	0,017	0,009	0,017	0,009	0,017	0,011	0,022	0,037	0,022	0,007	0,047
652	0,008	0,008	0,009	0,011	0,008	0,016	0,009	0,017	0,009	0,017	0,009	0,017	0,011	0,022	0,037	0,022	0,007	0,046
52,5	0,008	0,008	0,009	0,011	0,008	0,016	0,009	0,017	0,008	0,017	0,008	0,017	0,011	0,021	0,037	0,022	0,007	0,046
653	0,008	0,008	0,009	0,011	0,008	0,016	0,009	0,017	0,008	0,017	0,008	0,017	0,011	0,021	0,037	0,021	0,007	0,045
53,5	0,008	0,008	0,009	0,011	0,008	0,016	0,009	0,017	0,008	0,017	0,008	0,017	0,011	0,021	0,037	0,021	0,007	0,045
654	0,008	0,008	0,009	0,011	0,008	0,016	0,008	0,016	0,008	0,017	0,008	0,016	0,011	0,021	0,037	0,021	0,007	0,045
54,5	0,007	0,008	0,008	0,011	0,008	0,016	0,008	0,016	0,008	0,016	0,008	0,016	0,011	0,02	0,037	0,021	0,007	0,045
655	0,007	0,008	0,008	0,01	0,008	0,016	0,008	0,016	0,008	0,016	0,008	0,016	0,011	0,02	0,037	0,02	0,007	0,044
55,5	0,007	0,008	0,008	0,01	0,008	0,016	0,008	0,016	0,008	0,016	0,008	0,016	0,011	0,02	0,037	0,02	0,007	0,044
656	0,007	0,008	0,008	0,01	0,008	0,016	0,008	0,016	0,008	0,016	0,008	0,016	0,011	0,02	0,037	0,02	0,007	0,044
56,5	0,007	0,007	0,008	0,01	0,008	0,016	0,008	0,015	0,008	0,016	0,008	0,016	0,011	0,019	0,037	0,02	0,007	0,043
657	0,007	0,007	0,008	0,01	0,008	0,016	0,008	0,015	0,008	0,015	0,008	0,016	0,011	0,019	0,036	0,019	0,007	0,043
57,5	0,007	0,007	0,008	0,01	0,008	0,016	0,008	0,015	0,008	0,015	0,008	0,016	0,011	0,019	0,037	0,019	0,006	0,043
658	0,007	0,007	0,008	0,01	0,008	0,016	0,008	0,015	0,008	0,015	0,008	0,016	0,01	0,019	0,037	0,019	0,006	0,043
58,5	0,007	0,007	0,008	0,01	0,008	0,016	0,008	0,015	0,008	0,015	0,008	0,015	0,01	0,019	0,037	0,019	0,006	0,042
659	0,007	0,007	0,008	0,01	0,008	0,016	0,008	0,015	0,008	0,015	0,008	0,015	0,01	0,018	0,036	0,019	0,006	0,042
59,5	0,007	0,007	0,008	0,01	0,008	0,016	0,008	0,015	0,008	0,015	0,008	0,015	0,01	0,018	0,036	0,018	0,006	0,042
660	0,007	0,007	0,008	0,01	0,008	0,016	0,007	0,014	0,007	0,015	0,007	0,015	0,01	0,018	0,036	0,018	0,006	0,041
60,5	0,007	0,007	0,008	0,01	0,008	0,016	0,007	0,014	0,007	0,014	0,007	0,015	0,01	0,018	0,036	0,018	0,006	0,041
661	0,007	0,007	0,008	0,01	0,008	0,016	0,007	0,014	0,007	0,014	0,007	0,015	0,01	0,018	0,036	0,018	0,006	0,041
61,5	0,007	0,007	0,008	0,01	0,008	0,016	0,007	0,014	0,007	0,014	0,007	0,015	0,01	0,017	0,036	0,018	0,006	0,04
662	0,007	0,007	0,008	0,01	0,007	0,016	0,007	0,014	0,007	0,014	0,007	0,015	0,01	0,017	0,036	0,018	0,006	0,04
32,5	0,007	0,007	0,008	0,009	0,007	0,016	0,007	0,014	0,007	0,014	0,007	0,014	0,01	0,017	0,036	0,017	0,006	0,04
663	0,007	0,007	0,008	0,009	0,007	0,016	0,007	0,014	0,007	0,014	0,007	0,014	0,01	0,017	0,036	0,017	0,006	0,04
33,5	0,006	0,007	0,008	0,009	0,007	0,016	0,007	0,013	0,007	0,014	0,007	0,014	0,01	0,017	0,036	0,017	0,006	0,04
664	0,006	0,007	0,008	0,009	0,007	0,016	0,007	0,013	0,007	0,014	0,007	0,014	0,01	0,016	0,036	0,017	0,006	0,04
64,5	0,006	0,007	0,008	0,009	0,007	0,016	0,007	0,013	0,007	0,013	0,007	0,014	0,01	0,016	0,036	0,017	0,006	0,039
665	0,006	0,007	0,008	0,009	0,007	0,016	0,007	0,013	0,007	0,013	0,007	0,014	0,01	0,016	0,036	0,016	0,006	0,039
35,5	0,006	0,006	0,007	0,009	0,007	0,016	0,007	0,013	0,007	0,013	0,007	0,014	0,01	0,016	0,036	0,016	0,005	0,039
666	0,006	0,007	0,007	0,009	0,007	0,016	0,007	0,013	0,007	0,013	0,007	0,014	0,01	0,016	0,036	0,016	0,005	0,039
6,5	0,006	0,006	0,007	0,009	0,007	0,016	0,007	0,013	0,006	0,013	0,007	0,014	0,01	0,016	0,036	0,016	0,005	0,038
667	0,006	0,006	0,007	0,009	0,007	0,015	0,007	0,013	0,006	0,013	0,006	0,013	0,01	0,016	0,036	0,016	0,005	0,038
67,5	0,006	0,006	0,007	0,009	0,007	0,015	0,006	0,013	0,006	0,013	0,006	0,013	0,01	0,016	0,036	0,016	0,005	0,038
668	0,006	0,006	0,007	0,009	0,007	0,015	0,006	0,012	0,006	0,013	0,006	0,013	0,009	0,015	0,036	0,016	0,005	0,038
58,5	0,006	0,006	0,007	0,009	0,007	0,015	0,006	0,012	0,006	0,012	0,006	0,013	0,009	0,015	0,036	0,015	0,005	0,038
669	0,006	0,006	0,007	0,009	0,007	0,015	0,006	0,012	0,006	0,012	0,006	0,013	0,009	0,015	0,036	0,015	0,005	0,038
69,5	0,006	0,006	0,007	0,009	0,007	0,015	0,006	0,012	0,006	0,012	0,006	0,013	0,009	0,015	0,036	0,015	0,005	0,037
670	0,006	0,006	0,007	0,009	0,007	0,015	0,006	0,012	0,006	0,012	0,006	0,013	0,009	0,015	0,036	0,015	0,005	0,037
0,5	0,006	0,006	0,007	0,009	0,007	0,015	0,006	0,012	0,006	0,012	0,006	0,013	0,009	0,015	0,036	0,015	0,005	0,037
671	0,006	0,006	0,007	0,008	0,007	0,015	0,006	0,012	0,006	0,012	0,006	0,013	0,009	0,015	0,036	0,015	0,005	0,037
71,5	0,006	0,006	0,007	0,008	0,007	0,015	0,006	0,012	0,006	0,012	0,006	0,012	0,009	0,014	0,036	0,015	0,005	0,037
672	0,006	0,006	0,007	0,008	0,007	0,015	0,006	0,012	0,006	0,012	0,006	0,012	0,009	0,014	0,036	0,014	0,005	0,036

672,5	0,006	0,006	0,007	0,008	0,007	0,015	0,006	0,011	0,006	0,012	0,006	0,012	0,009	0,014	0,037	0,014	0,005	0,036
673	0,005	0,006	0,007	0,008	0,006	0,013	0,006	0,011	0,006	0,012	0,006	0,012	0,009	0,014	0,037	0,014	0,005	0,036
673,5	0,005	0,006	0,007	0,008	0,006	0,014	0,006	0,011	0,005	0,011	0,006	0,012	0,009	0,014	0,037	0,014	0,005	0,036
674	0,005	0,006	0,007	0,008	0,006	0,014	0,006	0,011	0,005	0,011	0,005	0,012	0,009	0,014	0,037	0,014	0,005	0,036
574,5	0,005	0,006	0,007	0,008	0,006	0,014	0,006	0,011	0,005	0,011	0,005	0,012	0,009	0,014	0,037	0,014	0.005	0,036
675	0,005	0,006	0,006	0,008	0,006	0,014	0,005	0,011	0,005	0,011	0,005	0,012	0,009	0,014	0,037	0,014	0.004	0,035
75,5	0,005	0,006	0,006	0,008	0,006	0,014	0,005	0,011	0,005	0,011	0,005	0,012	0,009	0,013	0,036	0,013	0,004	0,035
676	0,005	0,006	0,006	0,008	0,006	0,014	0,005	0,01	0,005	0,011	0,005	0,011	0,009	0,013	0,037	0,013	0,004	0,035
76,5	0,005	0,006	0,006	0,008	0,006	0,014	0,005	0,01	0,005	0,011	0,005	0,011	0,009	0,013	0,037	0,013	0.004	0,035
677	0,005	0,006	0,006	0,008	0,006	0,014	0,005	0,01	0,005	0,011	0,005	0,011	0,009	0,013	0,037	0,013	0.004	0,035
77,5	0,005	0,006	0,006	0,008	0,006	0,014	0,005	0,01	0,005	0,01	0,005	0,011	0,009	0,013	0,037	0,013	0.004	0,035
678	0,005	0,006	0,006	0,008	0,006	0,014	0,005	0,01	0,005	0,01	0,005	0,011	0,009	0,013	0,037	0,013	0,004	0,034
78,5	0,005	0,006	0,006	0,008	0,006	0,014	0,005	0,01	0,005	0,01	0,005	0,011	0,009	0,013	0,037	0,013	0.004	0,034
679	0,005	0,006	0,006	0,008	0,006	0,014	0,005	0,01	0,005	0,01	0,005	0,011	0,009	0,013	0,037	0,013	0.004	0,034
79,5	0.005	0,005	0.006	0,008	0,006	0,014	0,005	0,01	0,005	0,01	0,005	0,011	0.009	0,013	0,037	0,013	0.004	0.034
680	0,005	0,005	0,006	0,008	0,006	0,014	0,005	0,01	0,005	0,01	0,005	0,011	0,009	0,013	0,037	0,013	0.004	0,034
80,5	0,005	0,005	0,006	0,008	0,006	0,014	0,005	0,01	0,005	0,01	0,005	0,011	0,009	0,012	0,037	0,013	0,004	0,034
681	0,005	0,005	0,006	0,008	0,006	0,013	0,005	0,01	0,005	0,01	0,005	0,011	0,009	0,012	0,037	0,013	0.004	0,033
B1,5	0,005	0,005	0,006	0,008	0,006	0,013	0,005	0,01	0,005	0,01	0,005	0,011	0,009	0,012	0,037	0,012	0.004	0,033
682	0,005	0,005	0,006	0,008	0,006	0,013	0,005	0.01	0.005	0,01	0,005	0,011	0.008	0,012	0,037	0,012	0.004	0,033
82,5	0,005	0,005	0,006	0,008	0,006	0,013	0,005	0,009	0,005	0,01	0,005	0,011	0,009	0,012	0,037	0,012	0.004	0,033
683	0,005	0,005	0,006	0,008	0,006	0,013	0,005	0,009	0,005	0,01	0,005	0,011	0,009	0,012	0,037	0,012	0,004	0,033
83,5	0,005	0,005	0,006	0,008	0,006	0,013	0,005	0,009	0,005	0,009	0,005	0,011	0,009	0,012	0,037	0,012	0,004	0,033
684	0,005	0,005	0,006	0,008	0,006	0,013	0,005	0,009	0,005	0,009	0,005	0,01	0,009	0,012	0,037	0,012	0.004	0,033
84,5	0,005	0,005	0,006	0,008	0,006	0,013	0,005	0,009	0,005	0,009	0,005	0,01	0,008	0,012	0,036	0,012	0.004	0,033
685	0,005	0,005	0,006	0,008	0,006	0,013	0,005	0,009	0,004	0,009	0,004	0.01	0,008	0,012	0,036	0,012	0.004	0,033
85,5	0,005	0,005	0,006	0,008	0,006	0,013	0,005	0,009	0,004	0,009	0,004	0,01	0,008	0,012	0,036	0,012	0.004	0,033
686	0,005	0,005	0,006	0,008	0,006	0,013	0,004	0,009	0,004	0,009	0,004	0,01	0,008	0,012	0,036	0,012	0,004	0,033
86,5	0,005	0,005	0,006	0,008	0,006	0,013	0,004	0,009	0,004	0,009	0,004	0,01	0,008	0,012	0,036	0,012	0.004	0,033
687	0,005	0,005	0,006	0,008	0,006	0,013	0,004	0,009	0,004	0,009	0,004	0,01	0,008	0,011	0,036	0,011	0.004	0,033
87,5	0,005	0,005	0,006	0,008	0,006	0,013	0,004	0,009	0,004	0.009	0,004	0,01	0,008	0,011	0,036	0,011	0.004	0,033
688	0,005	0,005	0,006	0,008	0,006	0,013	0,004	0,009	0,004	0,009	0,004	0,01	0,008	0,011	0,036	0,011	0,004	0,033
88,5	0,005	0,005	0,006	0,008	0,006	0,013	0,004	0.008	0,004	0,008	0,004	0,01	0,008	0,011	0,036	0,011	0.004	0,033
689	0,005	0,005	0,006	0,007	0,006	0,013	0,004	0,008	0,004	0,008	0,004	0,01	0,008	0,011	0,036	0,011	0.003	0,032
89,5	0,005	0,005	0,006	0,007	0,006	0,013	0,004	0,008	0,004	0,008	0,004	0,01	0,008	0,011	0,036	0,011	0.003	0,033
690	0.005	0,005	0,006	0,007	0,006	0,013	0.004	0,008	0,004	0,008	0,004	0,01	0.008	0,011	0,036	0,011	0.003	0,032
90,5	0.005	0,005	0.006	0,007	0,006	0,013	0.004	0.008	0,004	0,008	0,004	0,01	0,008	0,011	0,036	0,011	0.003	0,032
691	0,005	0,005	0,006	0,007	0,006	0,013	0,004	0,008	0,004	0,008	0,004	0,01	0,008	0,011	0,036	0,011	0,003	0,032
91,5	0,005	0,005	0,006	0,007	0,006	0,013	0,004	0,008	0,004	0,008	0,004	0,01	0,008	0,011	0,036	0,011	0,003	0,032
692	0,005	0,004	0,006	0,007	0,006	0,013	0,004	0,008	0,004	0,008	0,004	0,009	0,008	0,011	0,036	0,011	0,003	0,032
92,5	0,005	0,005	0,006	0,007	0,006	0,013	0,004	0,008	0,004	0,008	0,004	0,009	0,008	0,011	0,036	0,011	0,003	0,032
693	0,005	0,005	0,006	0,007	0,006	0,012	0,004	0,008	0,004	0,008	0,004	0,009	0,008	0,01	0,036	0,01	0,003	0,032
93,5	0,004	0,004	0,006	0,007	0,006	0,012	0,004	0,008	0,004	0,008	0,004	0,009	0,008	0,01	0,036	0,01	0,003	0,032

694	0,004	0,004	0,005	0,007	0,006	0,012	0,004	0,008	0,004	0,008	0,004	0,009	0,008	0,01	0,036	0,01	0,003	0,032
694,5	0,004	0,004	0,005	0,007	0,006	0,012	0,004	0,007	0,004	0,007	0,004	0,009	0,008	0,01	0,036	0,01	0,003	0,032
695	0,004	0,004	0,005	0,007	0,006	0,012	0,004	0,007	0,004	0,007	0,004	0,009	0,008	0,01	0,036	0,01	0,003	0,032
695,5	0,004	0,004	0,005	0,007	0,006	0,012	0,004	0,007	0,004	0,007	0,004	0,009	0,008	0,01	0,036	0,01	0,003	0,031
696	0,004	0,004	0,005	0,007	0,006	0,012	0,004	0,007	0,004	0,007	0,004	0,009	0,008	0,01	0,036	0,01	0,003	0,031
696,5	0,004	0,004	0,005	0,007	0,006	0,012	0,004	0,007	0,004	0,007	0,004	0,009	0,008	0,01	0,036	0,01	0,003	0,031
697	0,004	0,004	0,005	0,007	0,006	0,012	0,004	0,007	0,004	0,007	0,004	0,009	0,008	0,01	0,036	0,01	0,003	0,031
697,5	0,004	0,004	0,005	0,007	0,006	0,012	0,004	0,007	0,004	0,007	0,004	0,009	0,008	0,01	0,036	0,01	0,003	0,031
698	0,004	0,004	0,005	0,007	0,006	0,012	0,004	0,007	0,003	0,007	0,003	0,009	0,008	0,01	0,036	0,01	0,003	0,031
698,5	0,004	0,004	0,005	0,007	0,006	0,012	0,004	0,007	0,003	0,007	0,004	0,009	0,008	0,01	0,036	0,01	0,003	0,031
699	0,004	0,004	0,005	0,007	0,006	0,012	0,004	0,007	0,003	0,007	0,004	0,009	0,008	0,01	0,036	0,01	0,003	0,031
699,5	0,004	0,004	0,005	0,007	0,006	0,012	0,004	0,007	0,003	0,007	0,003	0,009	0,008	0,01	0,036	0,01	0,003	0,031
700	0,004	0,004	0,005	0,007	0,006	0,012	0,004	0,007	0,003	0,007	0,003	0,009	0,008	0,01	0,036	0,009	0,003	0,03





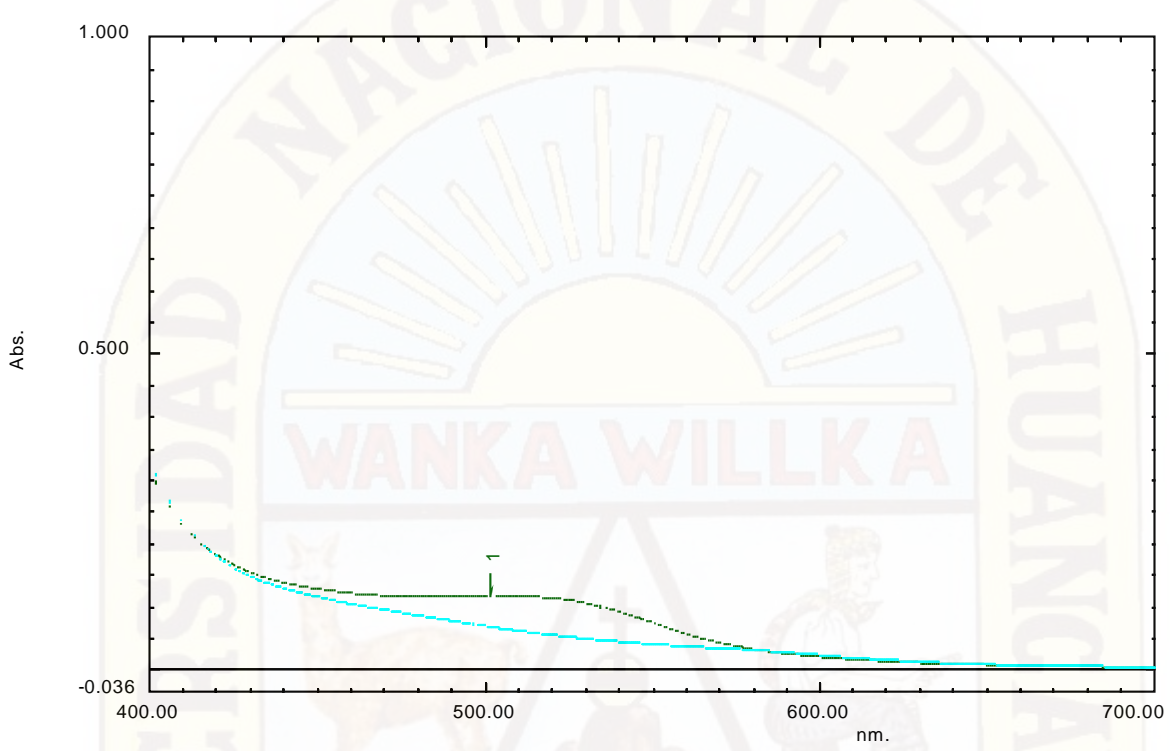


Figura 6. Barrido espectral Muestra M1-Repetición 1 (M1.1) (Curva superior: pH 1, Curva inferior: pH 4.5)

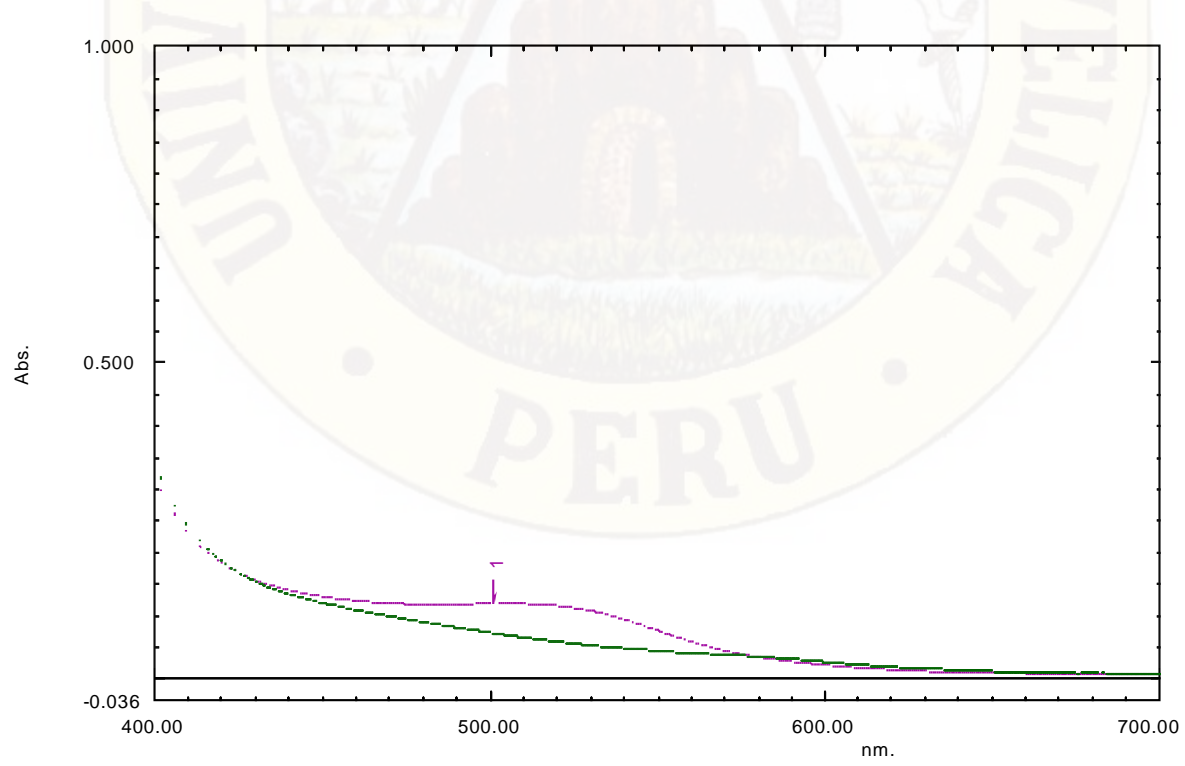


Figura 7. Barrido espectral Muestra M1-Repetición 2 (M1.2) (Curva superior: pH 1, Curva inferior: pH 4.5)

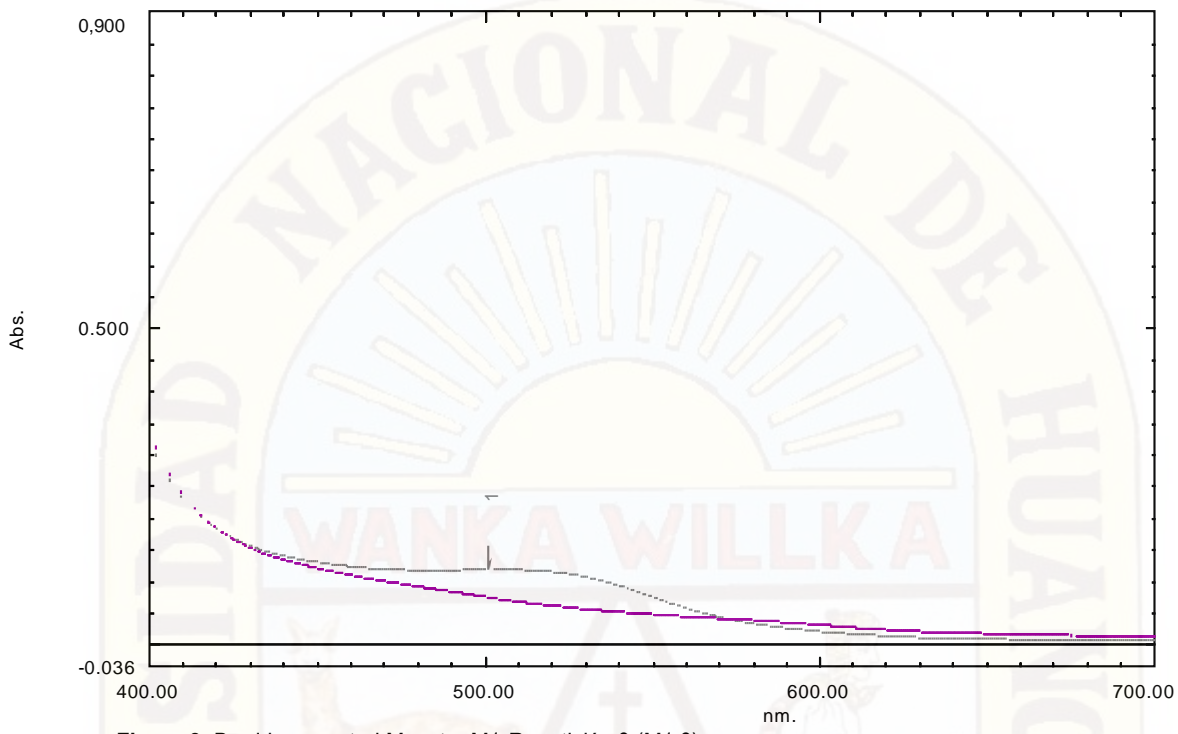
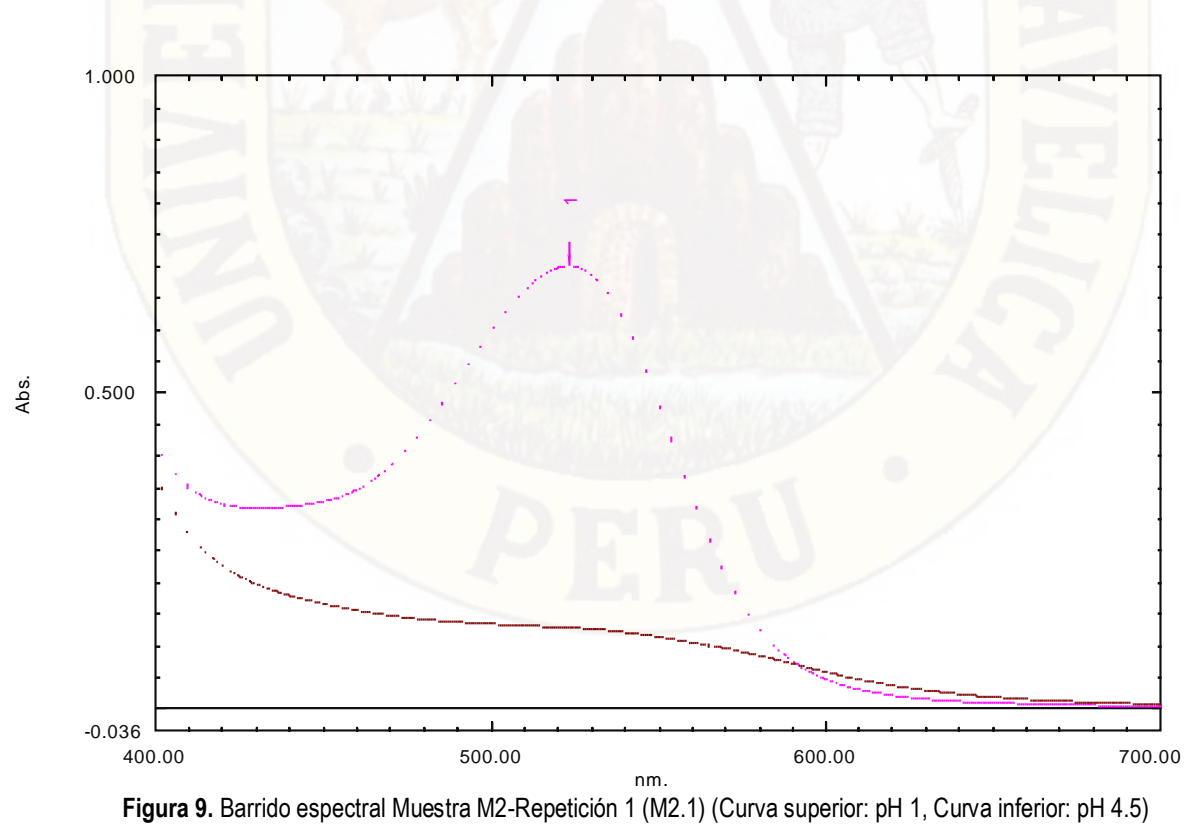
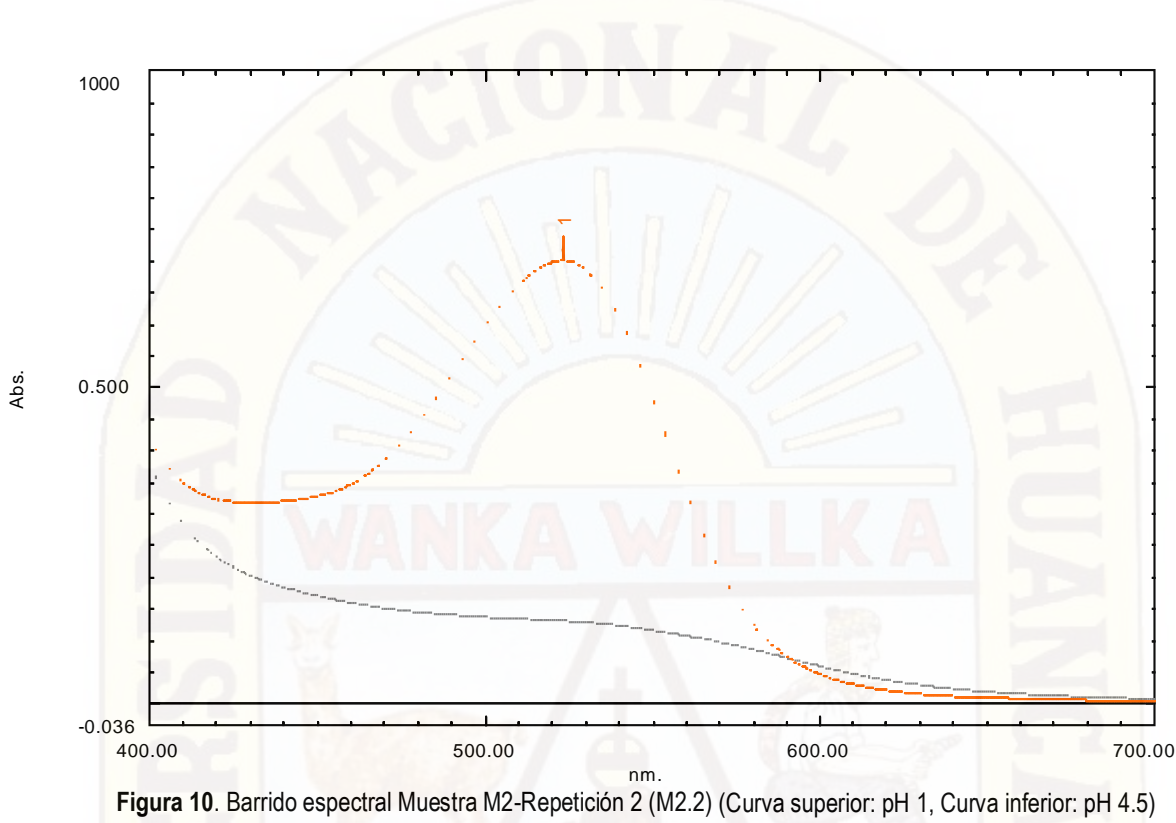
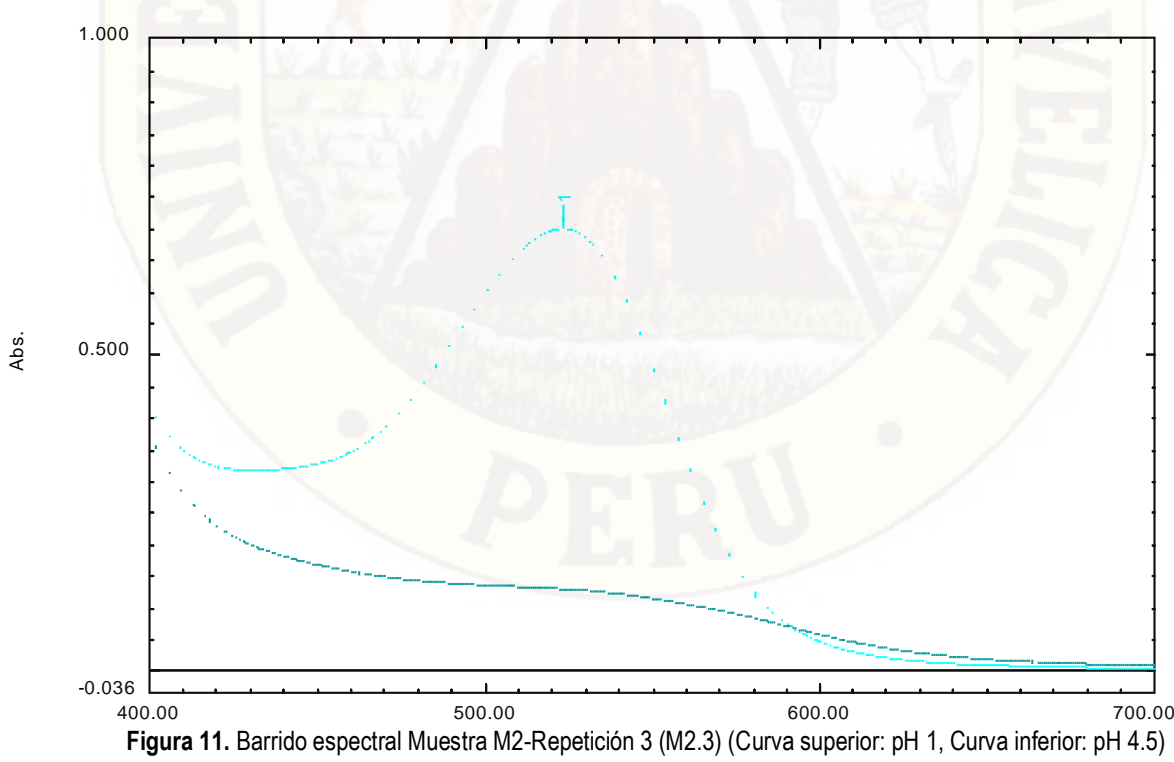
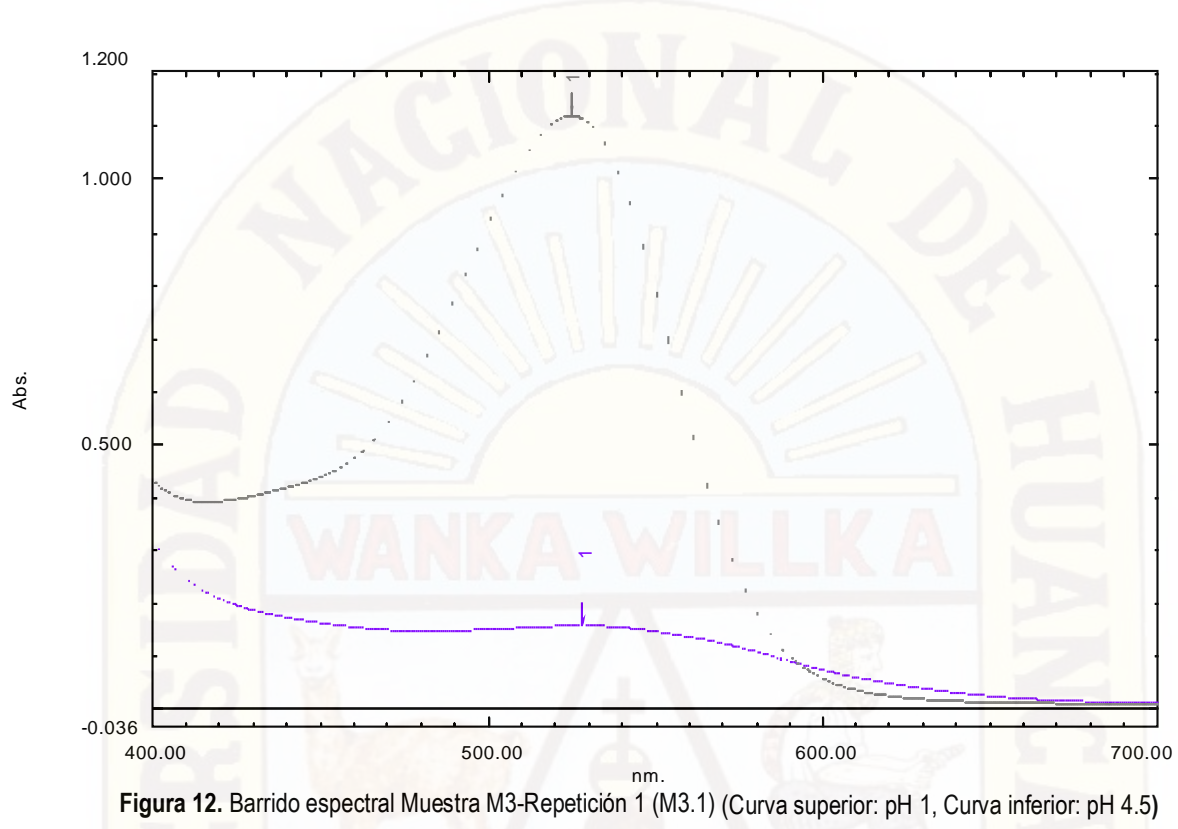


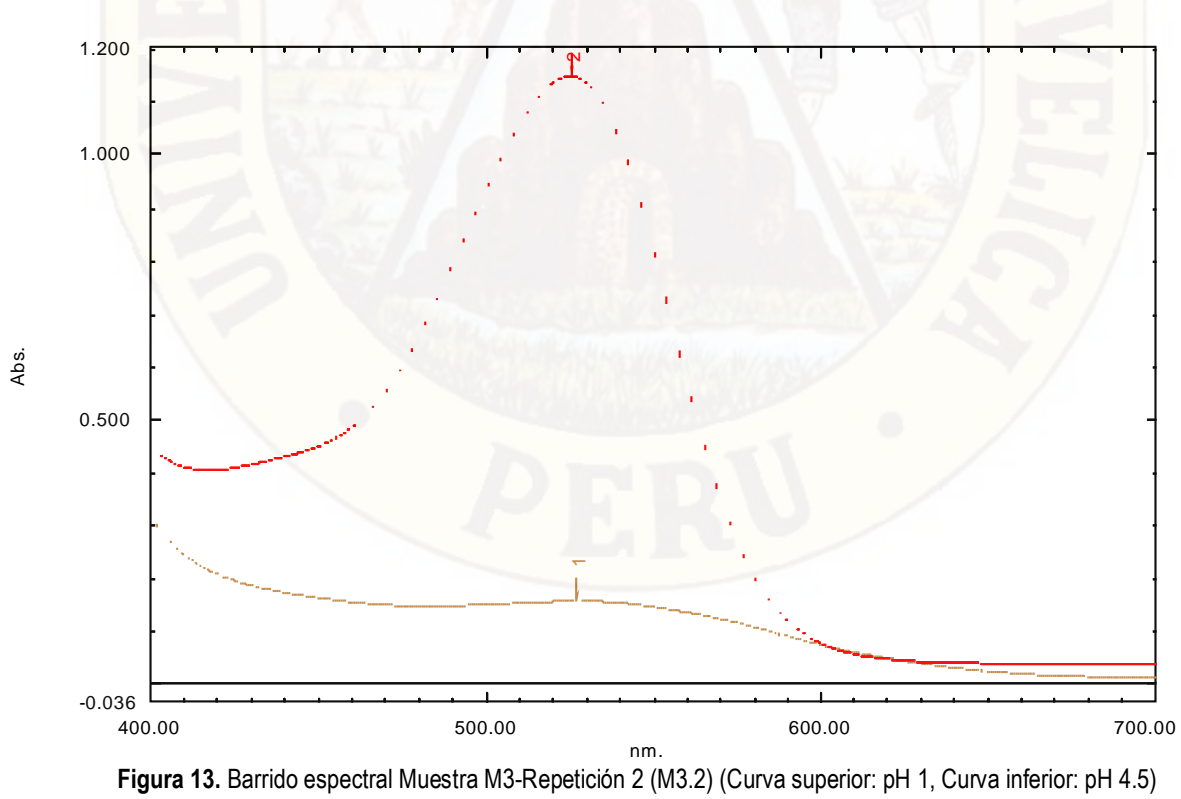
Figura 8. Barrido espectral Muestra M1-Repetición 3 (M1.3) (Curva superior: pH 1, Curva inferior: pH 4.5)











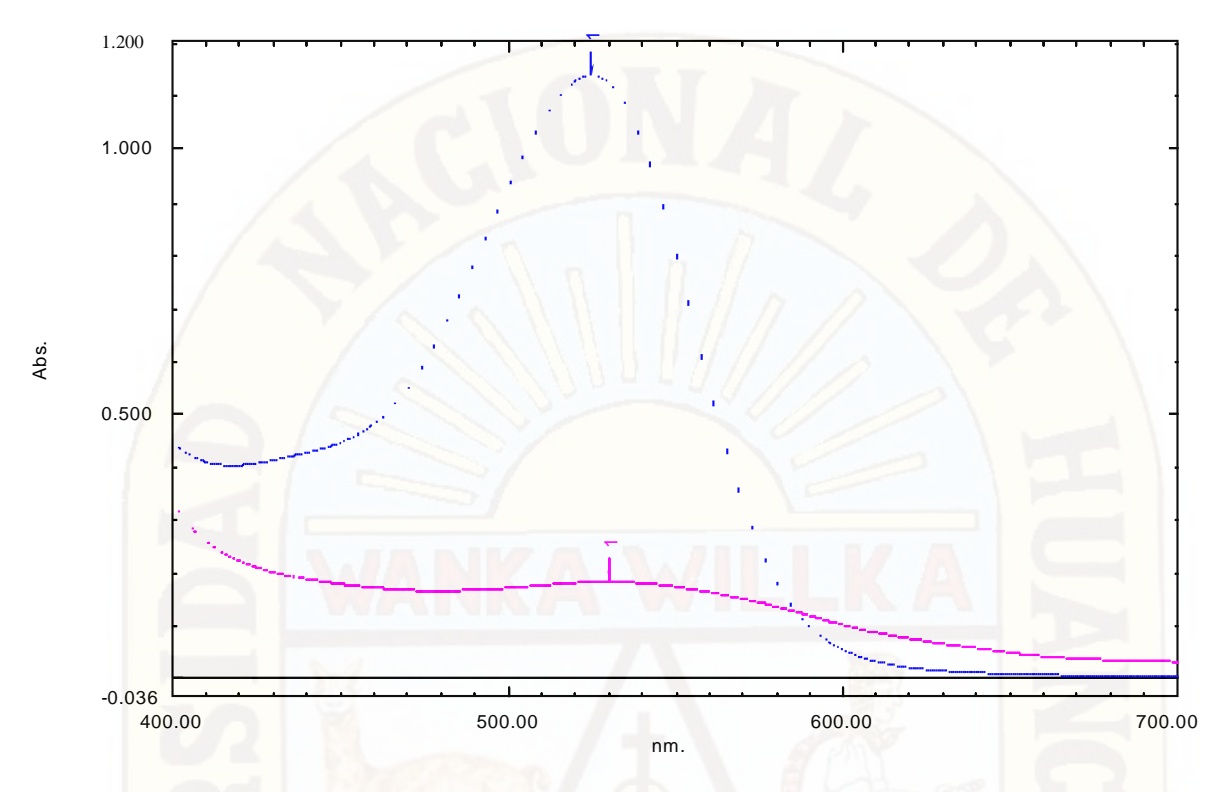


Figura 14. Barrido espectral Muestra M3-Repetición 3 (M3.3) (Curva superior: pH 1, Curva inferior: pH 4.5)

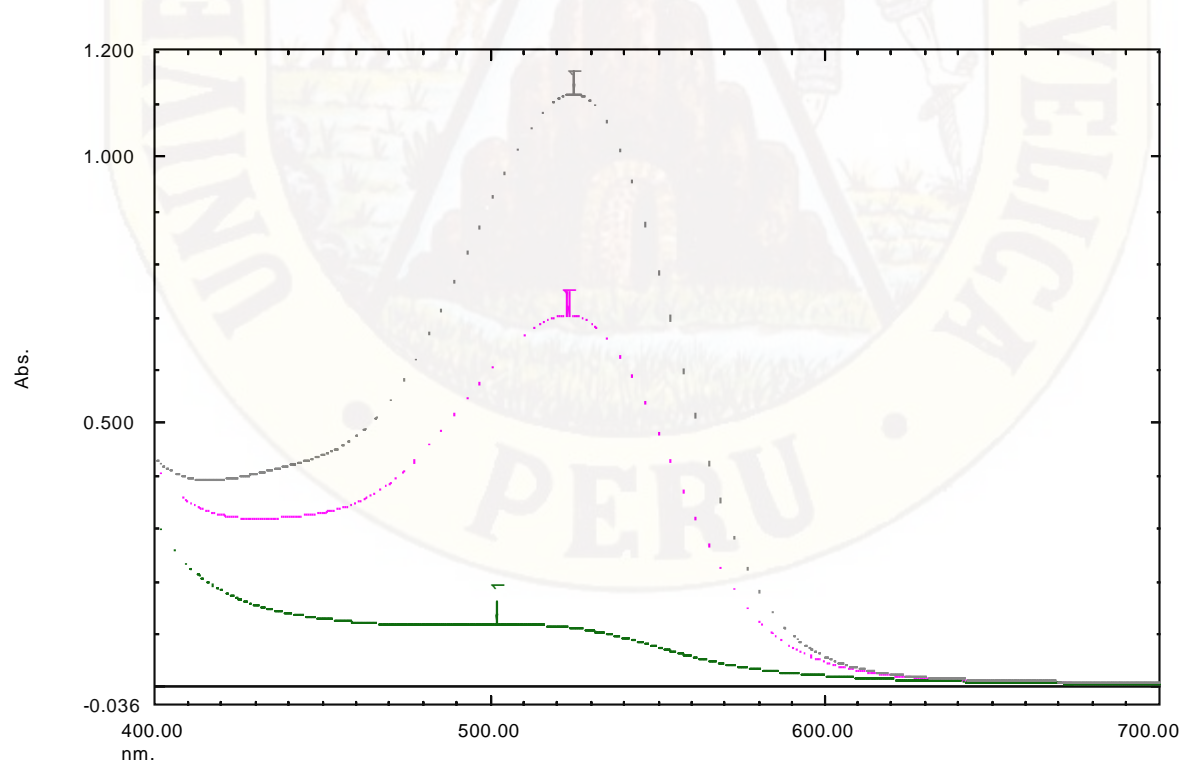


Figura 15. Barrido espectral comparativo de las muestrasM1, M2 y M3 a pH 1 (Curva superior: M3, Curva intermedia: M2, Curva inferior: M1)

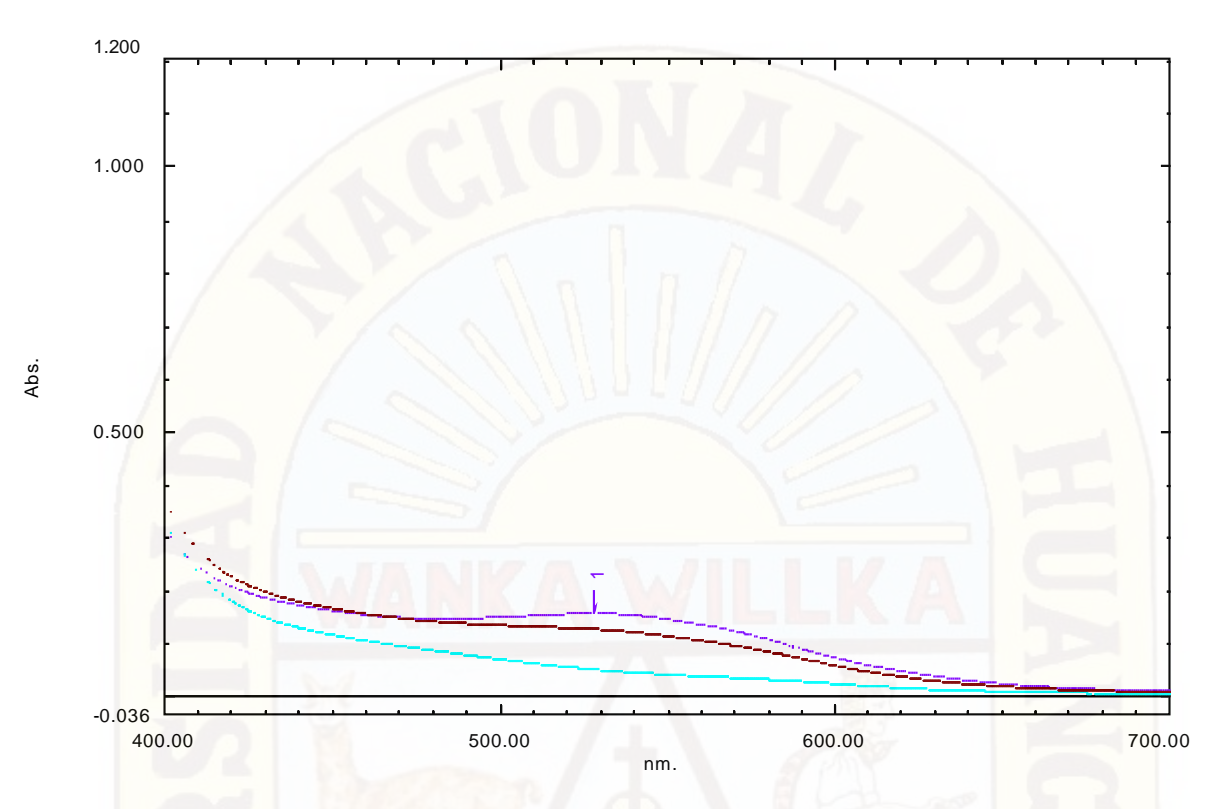


Figura 16. Barrido espectral comparativo de las muestras M1, M2 y M3 a pH 4.5 (Curva superior: M3, Curva intermedia: M2, Curva inferior: M1)



DETERMINACIÓN DE HUMEDAD (MÉTODO DE LA AOAC)

Consiste en secar la muestra en la estufa a una temperatura de 100 – 105 °C hasta un peso constante, el secado tiene una duración de 3 – 4 horas.

Procedimiento:

- ✓ Regula la temperatura de la estufa (100 °C 105 °C.)
- ✓ Pesar el crisol y anotar el peso.
- ✓ Pesar 1 10 g de muestra directamente en el crisol de porcelana previamente tarado (anotar el peso del crisol y la muestra), repartir uniformemente en su base.
- ✓ Colocar el crisol en la estufa a 103 °C por un lapso de 3 4 horas.
- ✓ Saque el crisol de la estufa y colocar en el desecador, para enfriar a temperatura ambiente.
- ✓ Pesar el crisol con todo el contenido.

Cálculos.

$$\%H = \frac{P2 - P3}{P2 - P1} * 100$$

Donde:

%H = Porcentaje de humedad

P1 = Peso del crisol (g)

P2 = Peso del crisol + muestra (g)

P3 = Peso del crisol + muestra incinerada (g)

DETERMINACIÓN DE PROTEÍNA (MÉTODO DE LA AOAC)

Sometiendo a un calentamiento y digestión una muestra problema con ácido sulfúrico concentrado, los hidratos de carbono y las grasas se destruyen hasta formar CO₂ y agua, la proteína se descompone con la formación de amoníaco, el cual interviene en la reacción con el ácido sulfúrico y forma el sulfato de amonio este sulfato en medio ácido es resistente y su destrucción con desprendimiento de amoniaco sucede solamente en medio básico; luego de la formación de la sal de amonio actúa una base fuerte al 50% y se desprende el nitrógeno en forma de amoníaco, este amoníaco es retenido en una solución de ácido bórico al 2.5% y titulado con HCl al 0,1 N.

Procedimiento:

- ✓ Pesar exactamente alrededor de 40 mg de muestra e introducirla en el balón de digestión Kjeldhal.
- ✓ Anadir: 1,5 g de Sulfato de Potasio o Sulfato de Sodio, 40 mg de HgO y 3 mL de Acido Sulfúrico concentrado procurando no manchar las paredes del mismo.
- ✓ Colocar el balón en el digestor y calentar hasta obtener un liquido transparente
- ✓ Enfriar el balón y a su contenido, adicionar 4 mL de agua destilada para disolver el contenido que al enfriarse se solidifica.
- ✓ Verter lo anterior en el balón de destilación del equipo, adicionando otros 4 mL de agua destilada para enjuagar el balón.
- ✓ Cerrar la llave y añadir 8 mL de Hidróxido de Sodio al 40% y 2 mL de Tiosulfato de Sodio al 5% dejando pasar lentamente al balón de destilación.
- ✓ Recibir el destilado en un vaso conteniendo 6 mL de Acido Borico 4%, al que se le añade una o dos gotas de indicador mixto rojo de metilo y Bromocresol (400 mg de rojo de metilo mas 250 mg de verde de Bromocresol, disuelto en 250 mL de Etanol al 95%)
- ✓ El tubo de salida del destilador debe estar sumergido en el vaso que contiene los reactivos.
- ✓ Destilar hasta obtener unos 15 mL de destilado.
- ✓ Titular el destilado con HCl N/10
- ✓ La determinación debe hacerse por duplicado

Cálculos:

$$\%P = (1,40)(F)[(V1 \times N1)/m]$$

Donde:

%P = Contenido de proteína en porcentaje de masa

F = Factor para transformar el % N₂ en proteína, que es especifico para cada alimento

V1 = Volumen de HCl N/10 empleado para titular la muestra en mL

N1 = Normalidad del HCl

Proteína en Base Seca:

$$\%PBS = \frac{100 \times \%PB}{\%MS}$$

Donde:

%PBS = Porcentaje de Proteína en Base Seca.

%PB = Porcentaje de Proteína Bruta

%MS = Porcentaje de Materia Seca

DETERMINACIÓN DE CENIZAS

Se lleva a cabo por medio de incineración seca y consiste en quemar la sustancia orgánica de la muestra problema en la mufla a una temperatura de 550 °C ± 25 °C, con esto la sustancia orgánica se combustiona y se forma el CO₂, agua y la sustancia inorgánica (sales minerales) se queda en forma de residuos, la incineración se lleva a cabo hasta obtener una ceniza color gris o gris claro.

Procedimiento:

- ✓ Colocar la cápsula en la mufla y calentarla durante 550 °C ± 25 °C; transferirle al desecador para enfriamiento y pesarla con aproximación al 0,1 mg.
- ✓ Pesar en la cápsula, 10 g de muestra con aproximación al 0,1 mg y colocar sobre la fuente calórica a 150 °C ± 25 °C para evaporación.
- ✓ Adicionar gotas de aceite de oliva y continuar el calentamiento hasta que cese el borboteo.
- ✓ Colocar la capsula con su contenido en la mufla a 550 °C ± 25 °C, hasta obtener cenizas blancas las cuales deben humedecerse con gotas de agua destilada.
- ✓ Evaporar sobre la fuente calórica y proceder a calcinar nuevamente en la mufla a 550 °C ± 25 °C por un tiempo de 4 horas como mínimo, hasta obtener cenizas blancas. Después de este tiempo se saca al desecador por 30 minutos.

Cálculos

$$%C = \frac{m2 - m}{m1 - m} * 100$$

Donde:

%C = Porcentaje de ceniza

m = Peso de la cápsula vacía (g).

m1 = Peso de la cápsula con la muestra antes de la incineración (g).

m2 = Peso de la cápsula con las cenizas después de la incineración (g).

DETERMINACIÓN DE LA FIBRA TOTAL

Se basa en la sucesiva separación de la ceniza, proteína, grasa y sustancia extraída libre de nitrógeno; la separación de estas sustancias se logra mediante el tratamiento con una solución débil de ácido sulfúrico y álcalis, agua caliente y acetona. El ácido sulfúrico hidroliza a los carbohidratos insolubles (almidón y parte de hemicelulosa), los álcalis transforman en estado soluble a las sustancias albuminosas, separan la grasa, disuelven parte de la hemicelulosa y lignina, el éter o acetona extraen las resinas, colorantes, residuos de grasa y eliminan el agua. Después de todo este tratamiento el residuo que queda es la fibra bruta.

Procedimiento:

- ✓ Se pesa 1 g de la muestra problema por adición en un papel aluminio y se registra este peso. (W1)
- ✓ Se coloca la muestra en el vaso y se pesa el papel con el sobrante y se anota este peso. (W2). A cada vaso con la muestra se coloca 200 mL de HS0₄ al 7% mas 2 mL de alcohol n-amílico; estos vasos colocamos en las hornillas del digestor levantando lentamente haciendo coincidir los vasos con los bulbos refrigerantes.
- ✓ Se deja por el tiempo de 25 minutos regulando la T° de la perilla en 7, también controlando que el reflujo de agua) entre funcionando adecuadamente (etapa de digestión ácida).
- ✓ A los 25 minutos se baja la temperatura de la posición 7 a 2,5 y se añade 20 mL de NaOH al 22% manejando los vasos con sumo cuidado y se deja por unos 30 minutos exactos. Los tiempos se toman desde que empieza la ebullición.
- ✓ Una vez terminada la digestión alcalina se arma el equipo de bomba de vacío, preparando además los crisoles de Gooch con su respectiva lana de vidrio para proceder a la filtración, colocar los crisoles en la bomba, filtrando de esta manera el contenido de los vasos realizando su lavado con agua destilada caliente.
- ✓ En las paredes del vaso se raspa con el policía los residuos que están adheridos para enjuagar posteriormente. El lavado se realiza con 200 mL de agua, se debe tratar con cuidado la filtración para evitar que se derrame por las paredes del crisol.

- ✓ Luego se coloca los crisoles en una caja petri y sobre la sustancia retenida en la lana de vidrio se añade acetona hasta cubrir el contenido en el crisol para eliminar agua, pigmentos y materia orgánica. Posteriormente se pasa los crisoles con toda la caja petri a la estufa por el lapso de 8 horas para secar a una temperatura de 105 °C.
- ✓ Se saca a1 desecador y se rea1iza el primer peso registrando en primera instancia. (W3).
- ✓ Una vez pesados son llevados hasta la mufla a una temperatura de 600 °C por un tiempo de 4 horas como mínimo una vez que la mufla ha alcanzado la temperatura indicada.
- ✓ Terminado este tiempo los crisoles son sacados de la mufla al desecador por un tiempo de 30 minutos para finalmente realizar el segundo peso del crisol más las cenizas. (W4)
- ✓ Finalmente por diferencia de pesos se realiza el cálculo de la fibra bruta.

Cálculos:

$$\%FT = \frac{W3 - W4}{W2 - W1} \times 100$$

Donde:

F = Fibra

W1 = Peso del papel solo

W2 = Peso del papel más muestra húmeda

W3 = Peso del crisol más muestra seca

W4 = Peso del crisol más cenizas

ANEXO 12 REGISTRO FOTOGRÁFICO



Fotografía 1.Fruto de planta "Macha macha".



Fotografía 2. Muestra fresca pulverizada con el molino criogénico.



Fotografía 3. Secado de muestras en horno eléctrico para cálculo de la humedad. (Secado a 40°C, 2 semanas)



Fotografía 4. Obtención del extracto metanólico con ultrasonido.



Fotografía 5. Concentración del extracto metanólico con rotavapor.



Fotografía 6. Extractos metanólicos de las muestras.



Fotografía 7. Equipo uv-visible para la determinación de antocianinas por el método de pH diferencial y capacidad antioxidante por el método DPPH

